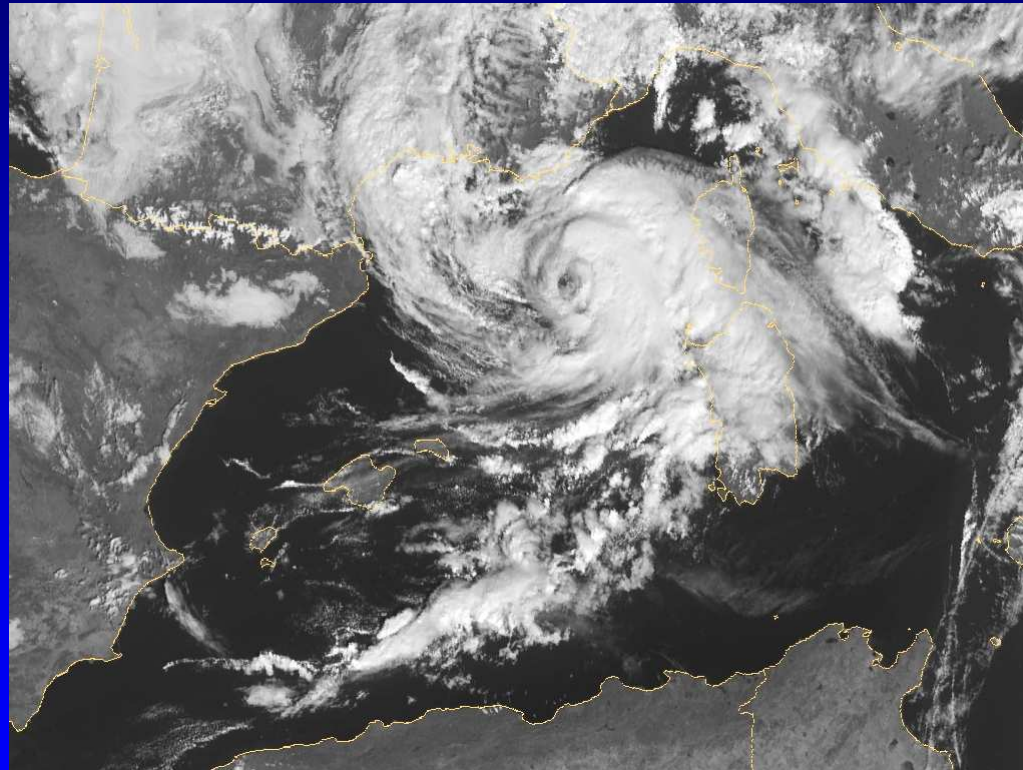


Els huracans mediterranis



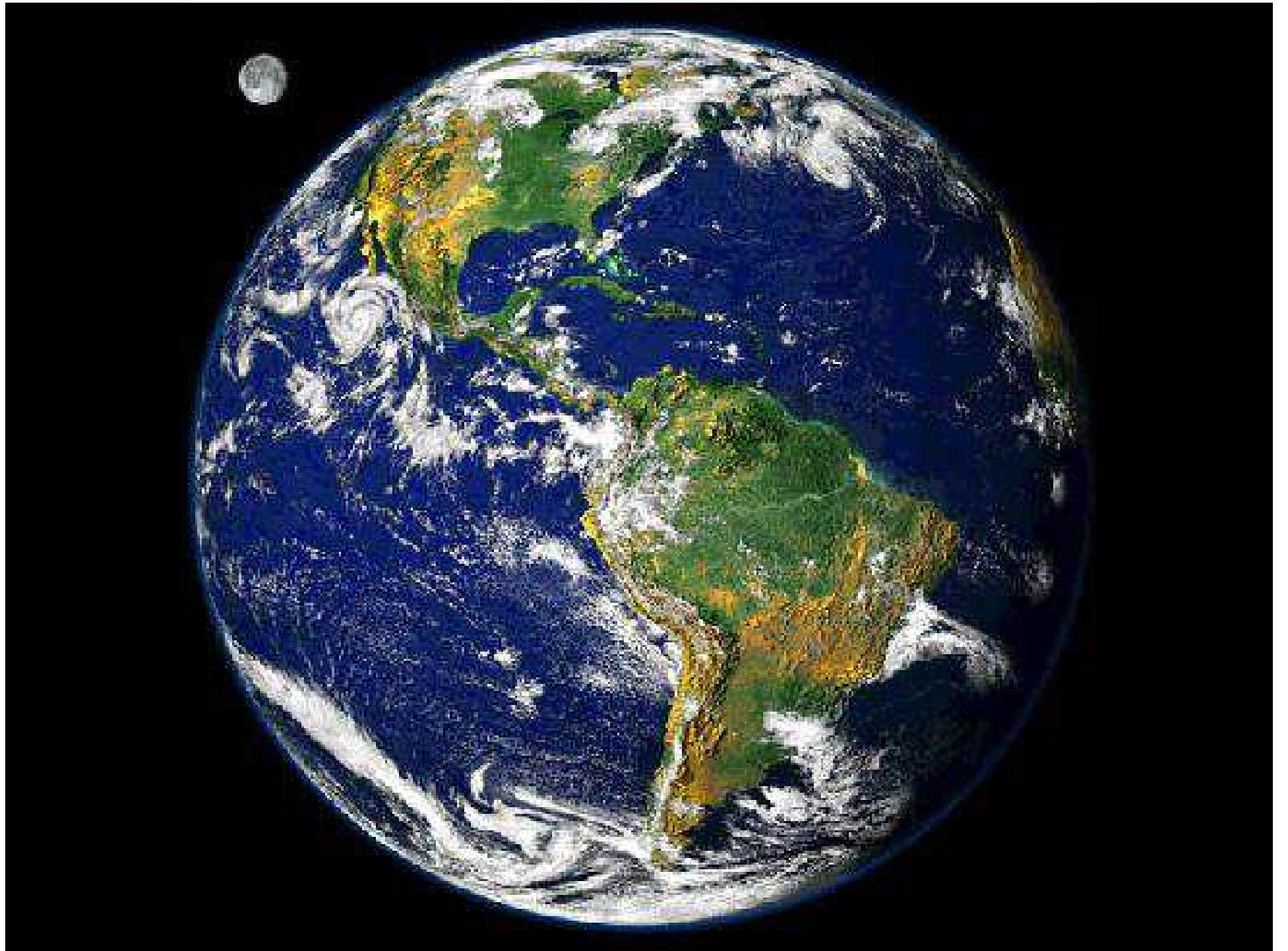
Romu Romero, Grup de Meteorologia (UIB)

Curs d'Estiu 2016 "La meteorologia i el clima de les Illes Balears"

ÍNDEX

- **Ciclons Tropicals: Una Mica de Física**
- **Medicanes: Observacions i Simulacions**
- **Medicanes: Efectes del Canvi Climàtic ?**

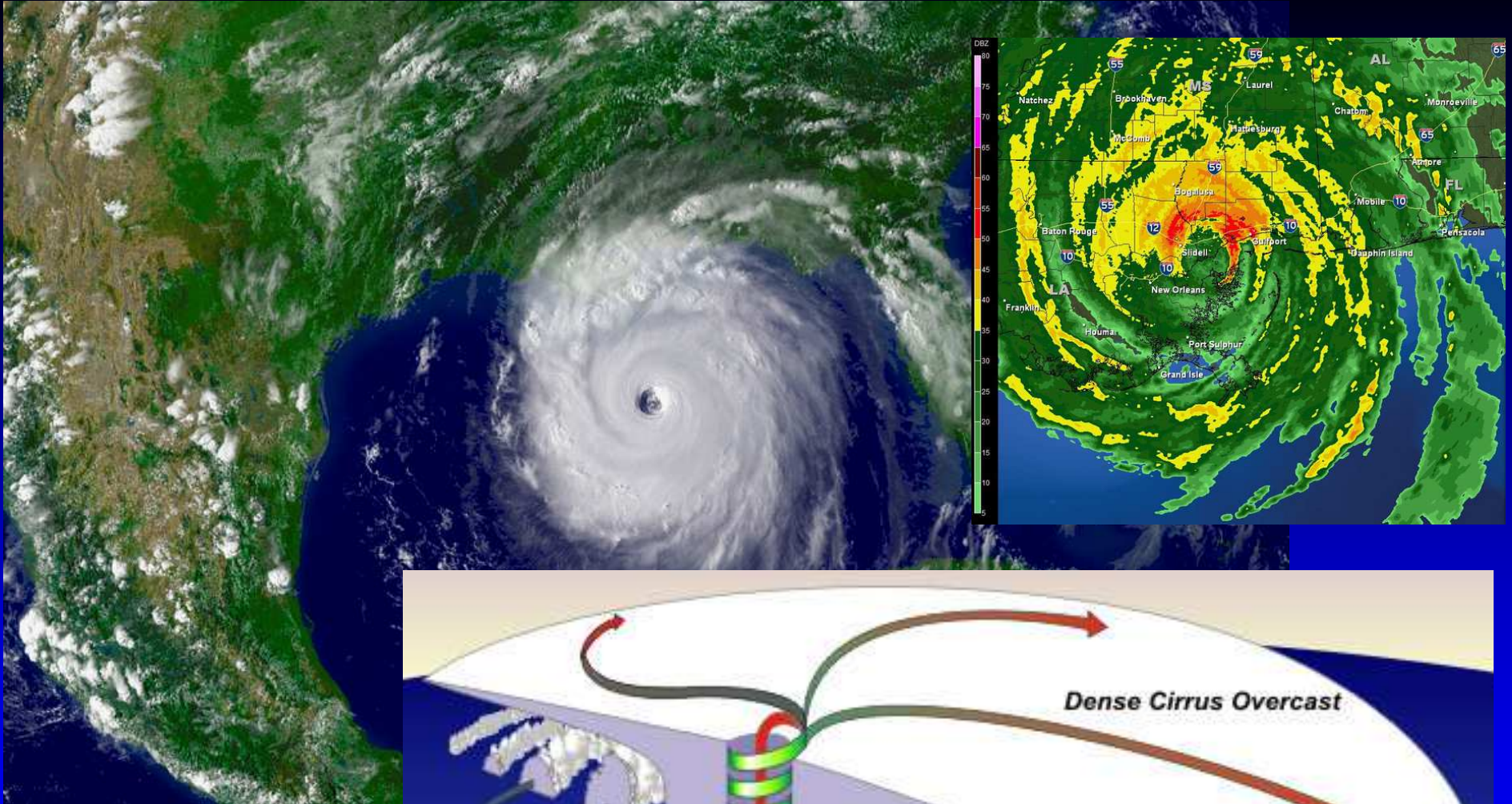
**CICLONS TROPICALS:
UNA MICA DE FÍSICA**



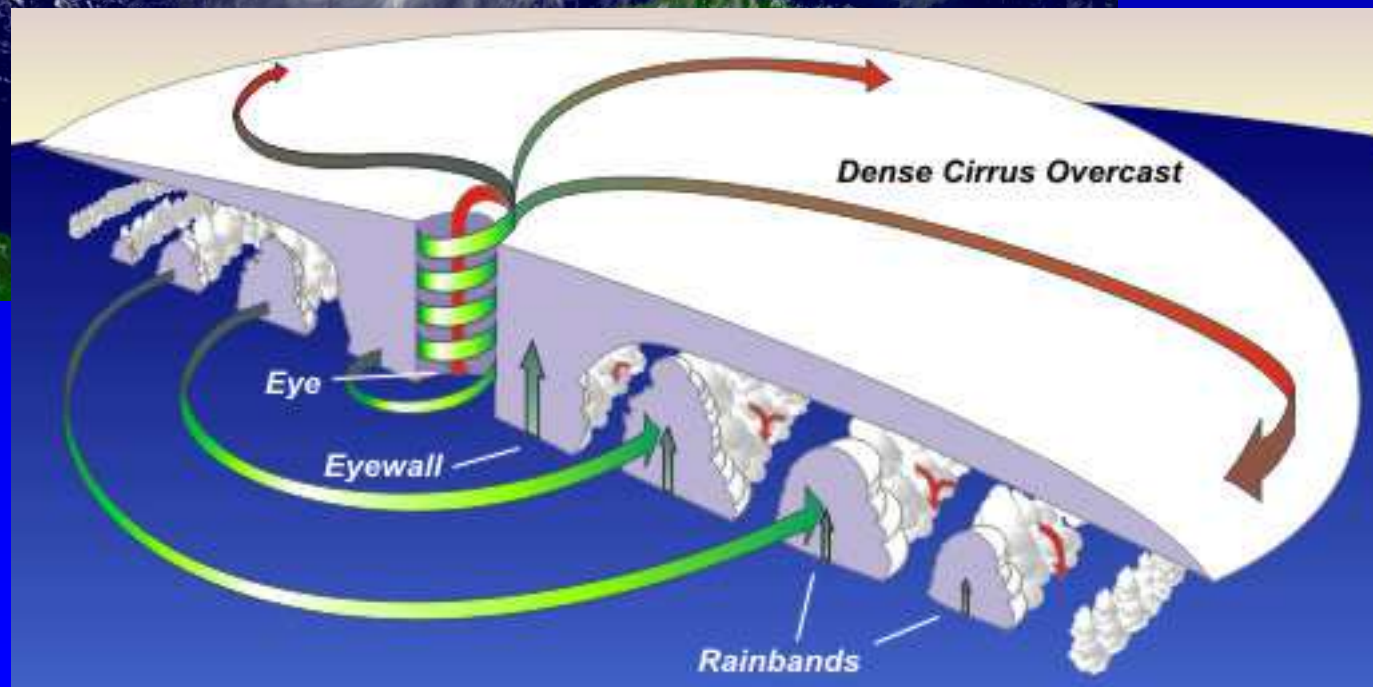
Tropical Cyclones



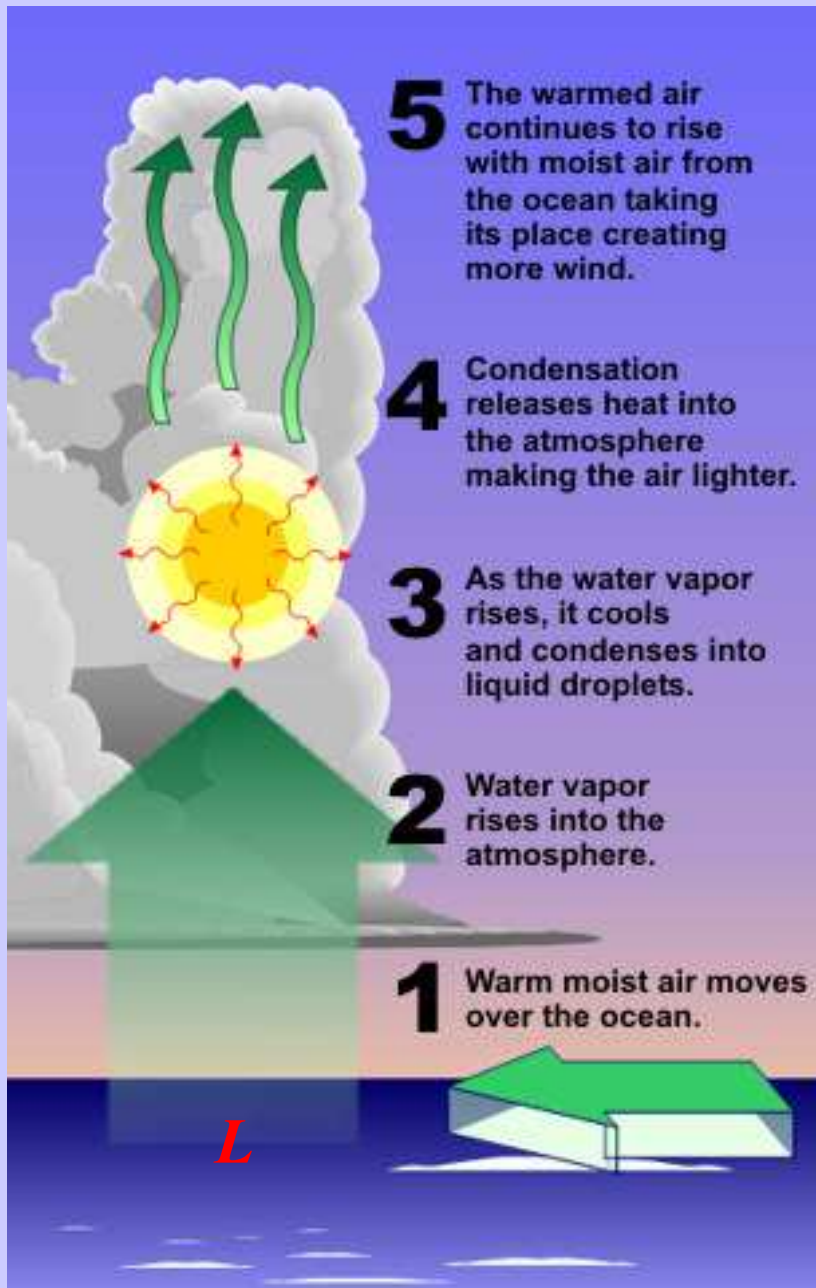
**Huracán Sandy
(Octubre 2012)**



**Huracán Katrina
(Agosto 2005)**



Mecanismo Físico



Saffir–Simpson hurricane wind scale

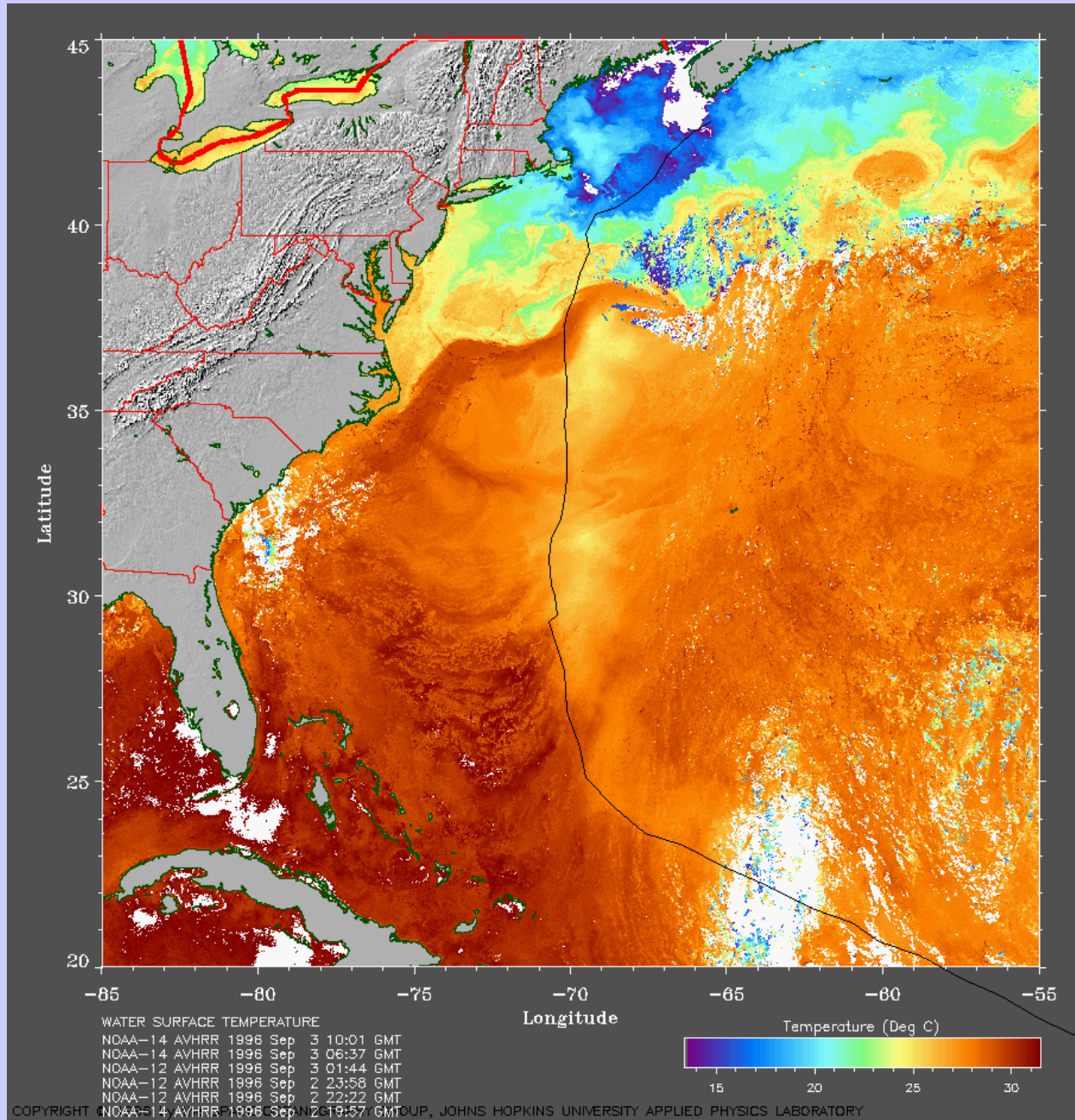
Category	Wind speeds
Five	≥70 m/s, ≥137 knots ≥157 mph, ≥252 km/h
Four	58–70 m/s, 113–136 knots 130–156 mph, 209–251 km/h
Three	50–58 m/s, 96–112 knots 111–129 mph, 178–208 km/h
Two	43–49 m/s, 83–95 knots 96–110 mph, 154–177 km/h
One	33–42 m/s, 64–82 knots 74–95 mph, 119–153 km/h

Related classifications

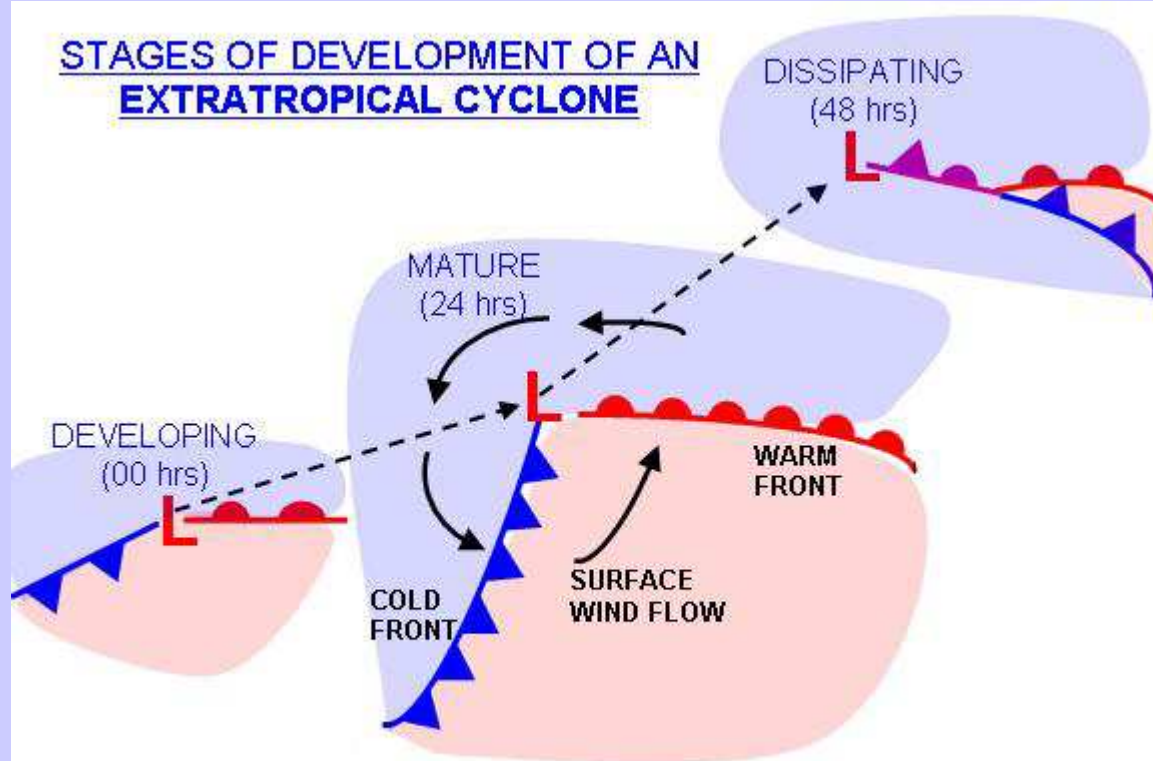
Tropical storm	18–32 m/s, 34–63 knots 39–73 mph, 63–118 km/h
Tropical depression	≤17 m/s, ≤33 knots ≤38 mph, ≤62 km/h



Redistribución de Calor en la VERTICAL



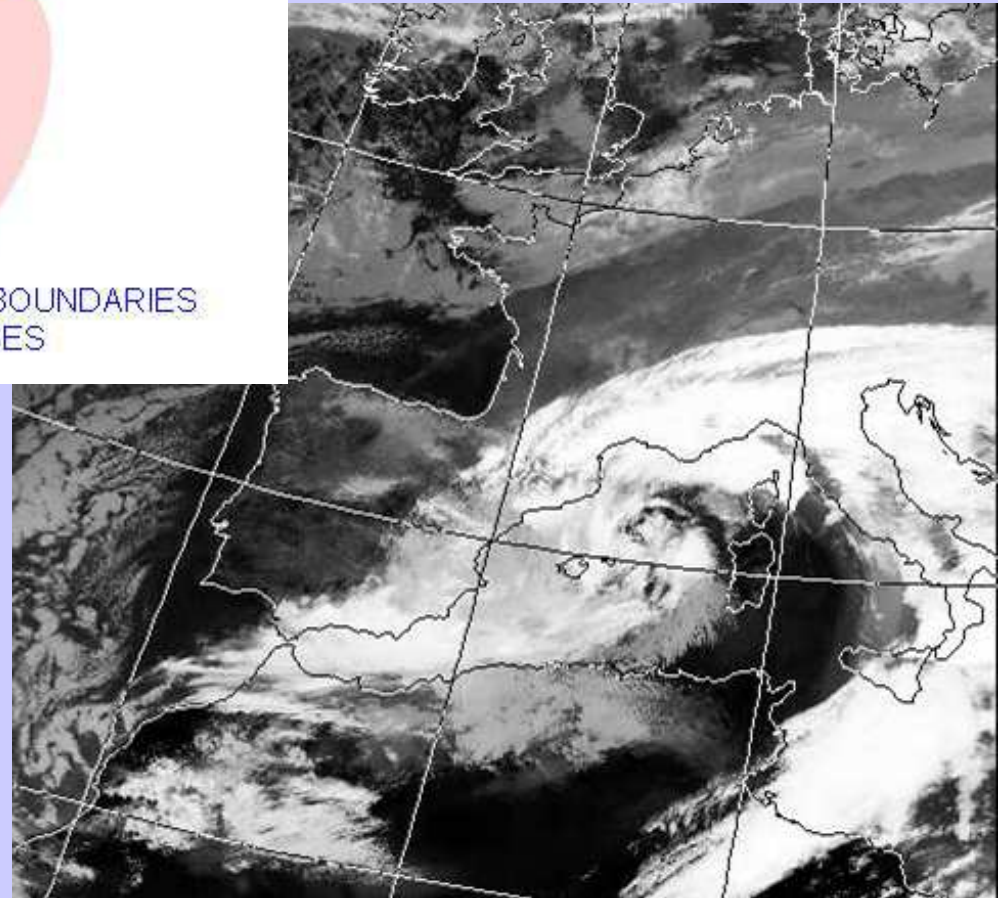
STAGES OF DEVELOPMENT OF AN EXTRATROPICAL CYCLONE



EXTRATROPICAL CYCLONES FORM ALONG THE BOUNDARIES BETWEEN COOL AND WARM AIR MASSES

**Redistribución
de Calor en la
HORIZONTAL**

**Ciclones
Extratropicales**



TEORÍA: Ciclón Tropical actúa como una Máquina Térmica (Ciclo de Carnot)

$$\rightarrow |V_{\max}|^2 \cong \frac{C}{C_D} \frac{k_s - T_o}{T_o} \left(k_0^* - k \right)$$

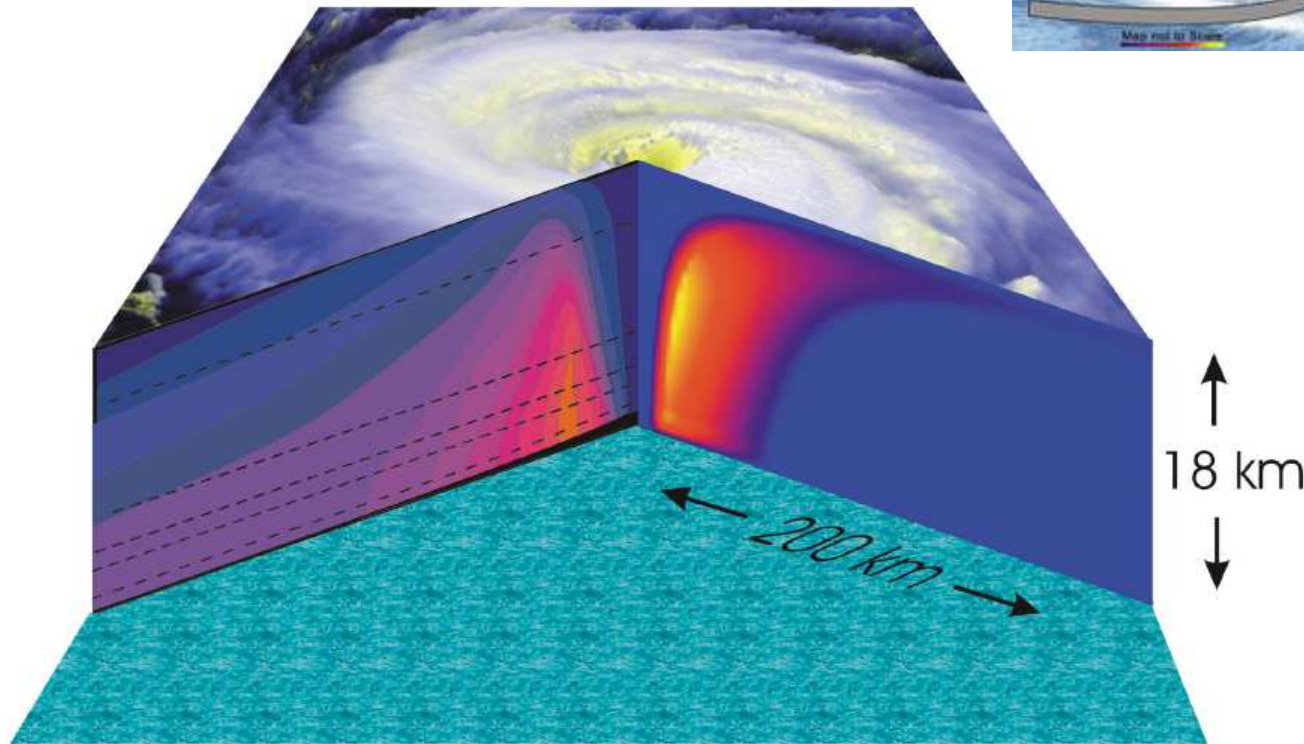
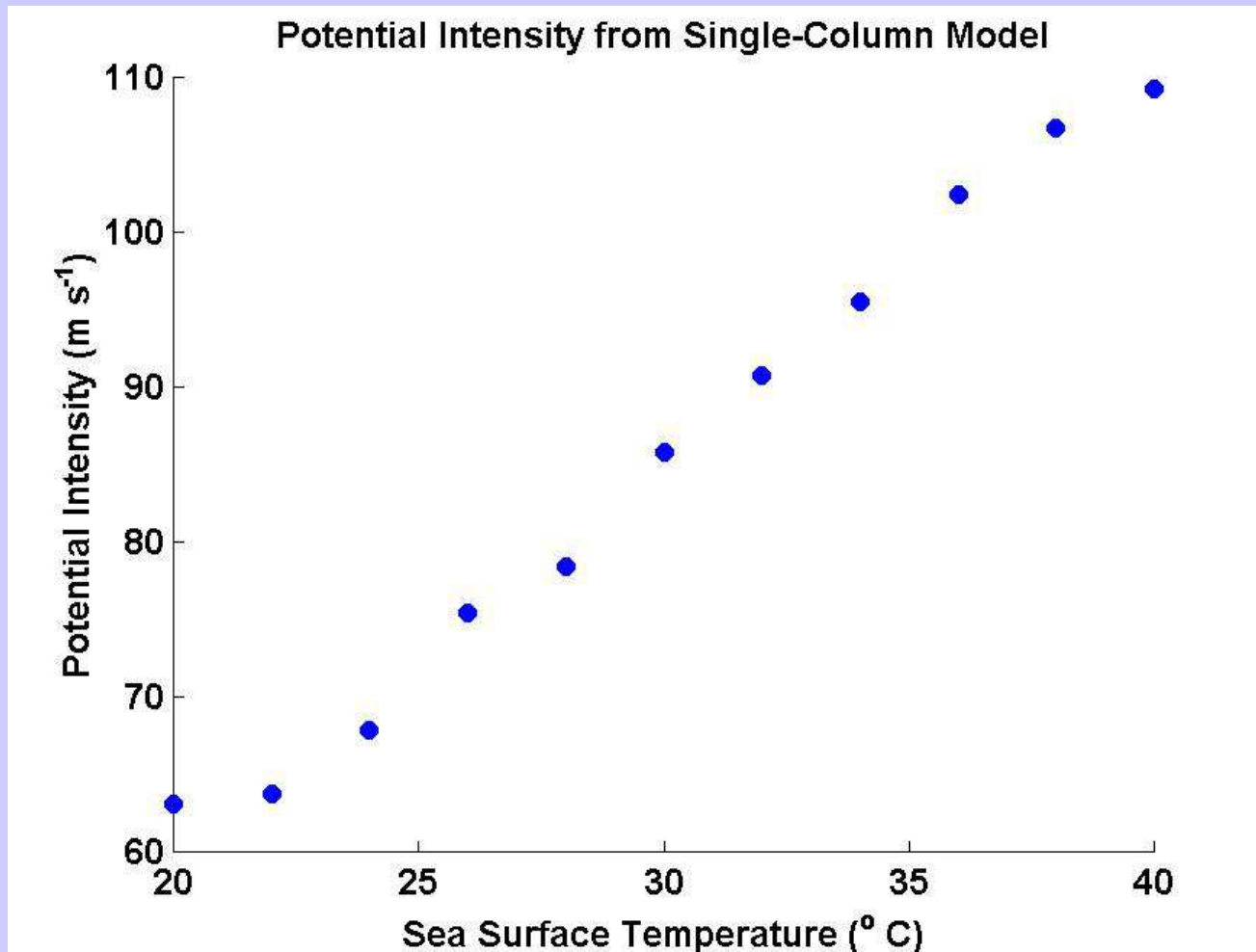


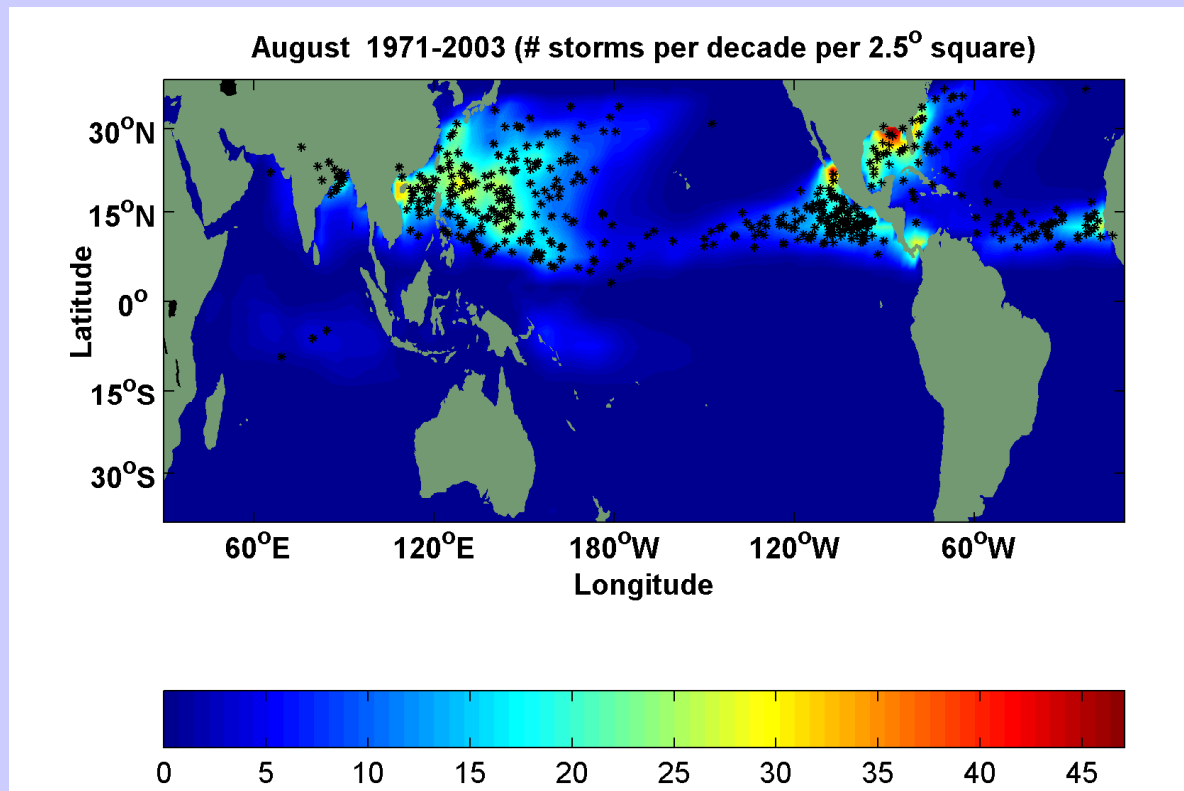
Figure 3 Cutaway view of the structure of a tropical cyclone. The top of the storm is based on a satellite photograph of the cloud structure of Hurricane Fran of 1996. The right-hand cut shows the vertical component of velocity, from a numerical simulation of a hurricane using the model of Emanuel (1995a); maximum values (yellow) are approximately 8 ms^{-1} . The left-hand cut shows the magnitude of the tangential wind component measured in Hurricane Inez of 1966 by aircraft flying at levels indicated by the black dashed lines; from Hawkins & Imbembo (1976). Maximum values are approximately 50 ms^{-1} .

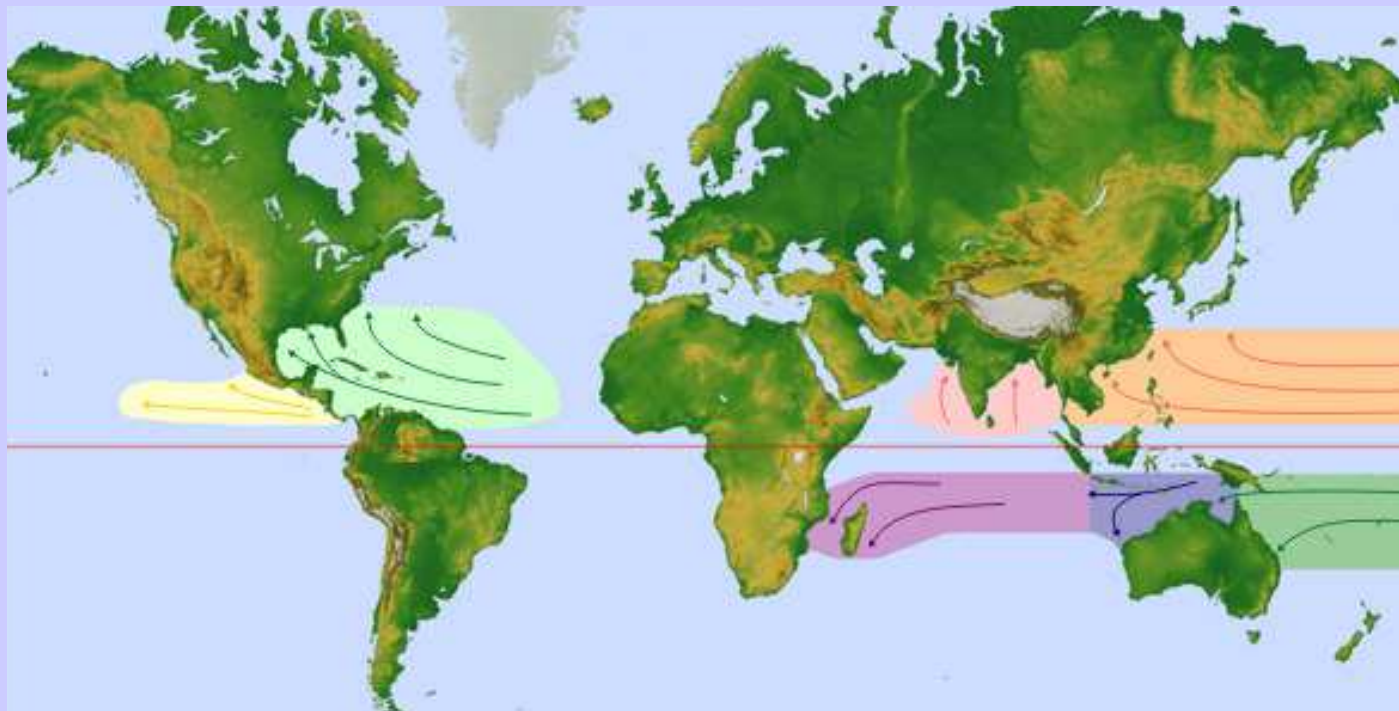
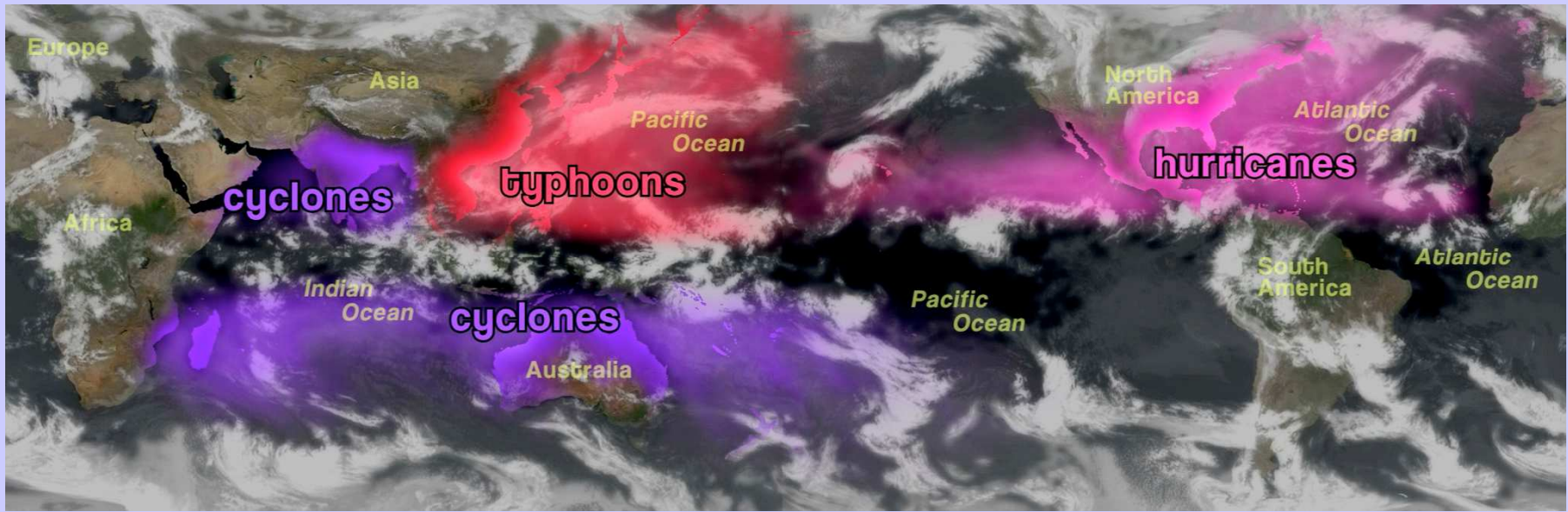
TEORÍA: La Intensidad Potencial Aumenta con la SST (Emanuel, 1987)



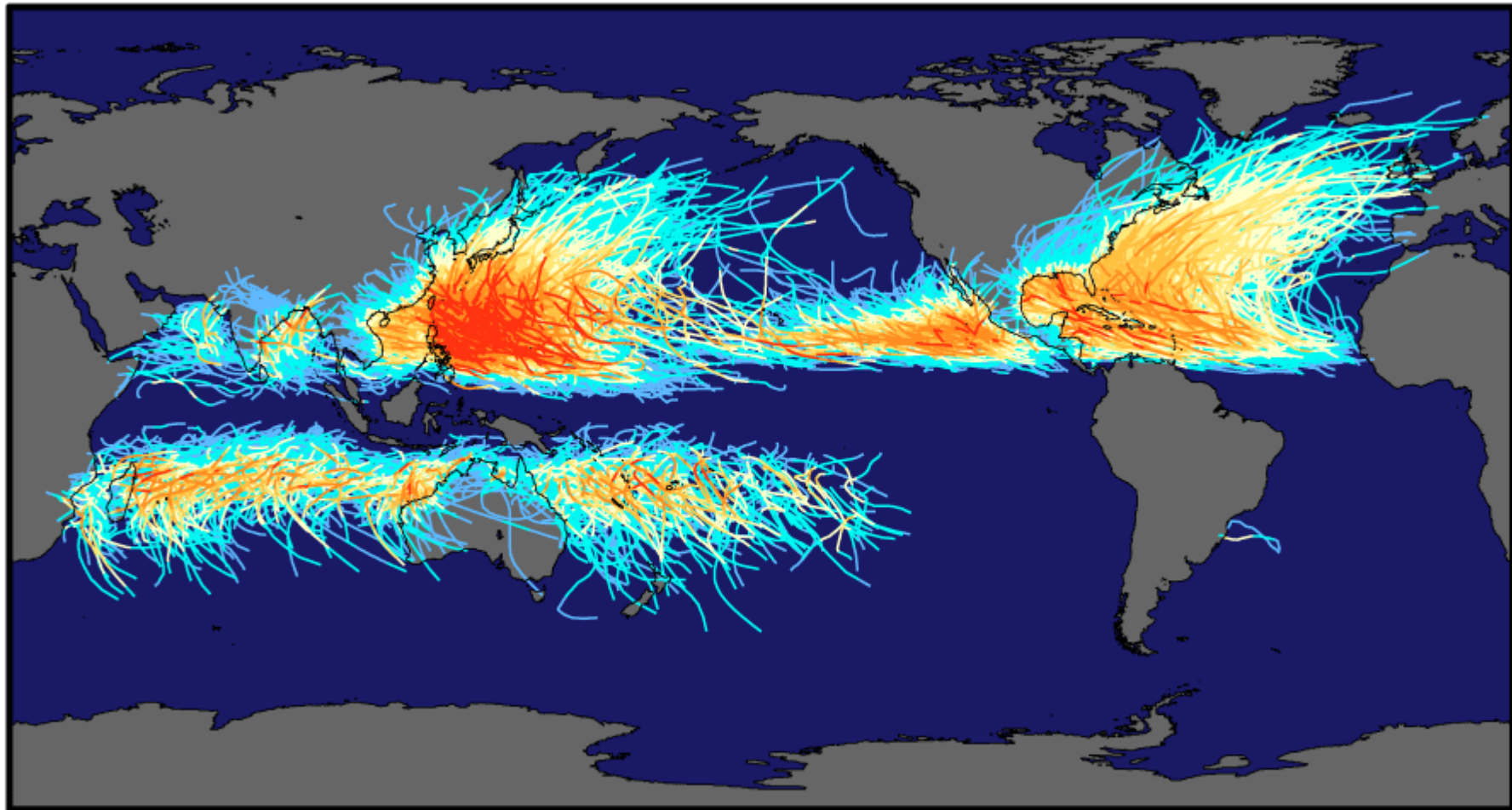
Índice Empírico de Génesis

$$I = \left| 10^5 \eta \right|^{3/2} \left(\frac{H}{50} \right)^3 \left(\frac{V_{pot}}{70} \right)^3 \left(1 + 0.1 V_{shear} \right)^{-2},$$



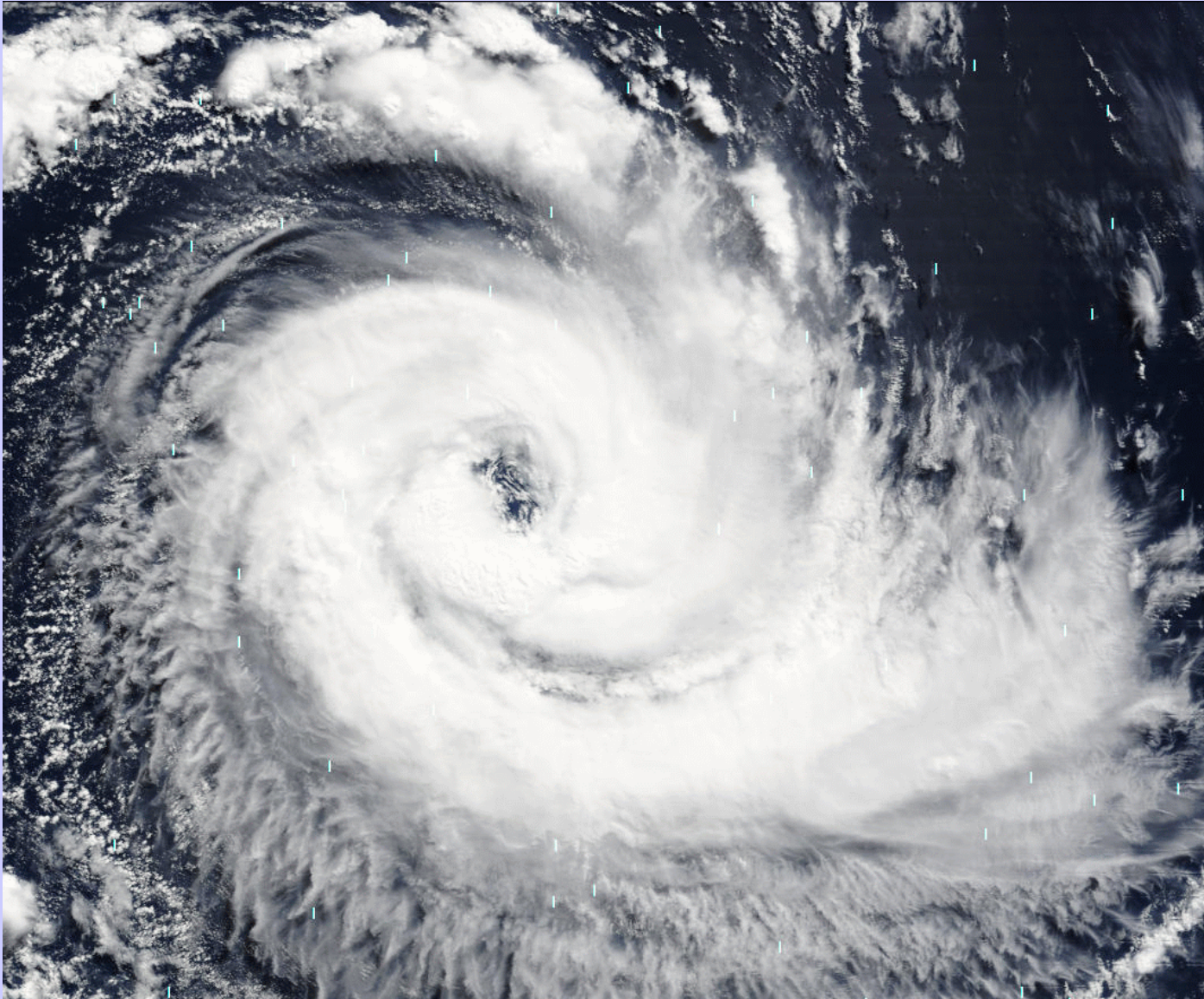


Tracks and Intensity of All Tropical Storms

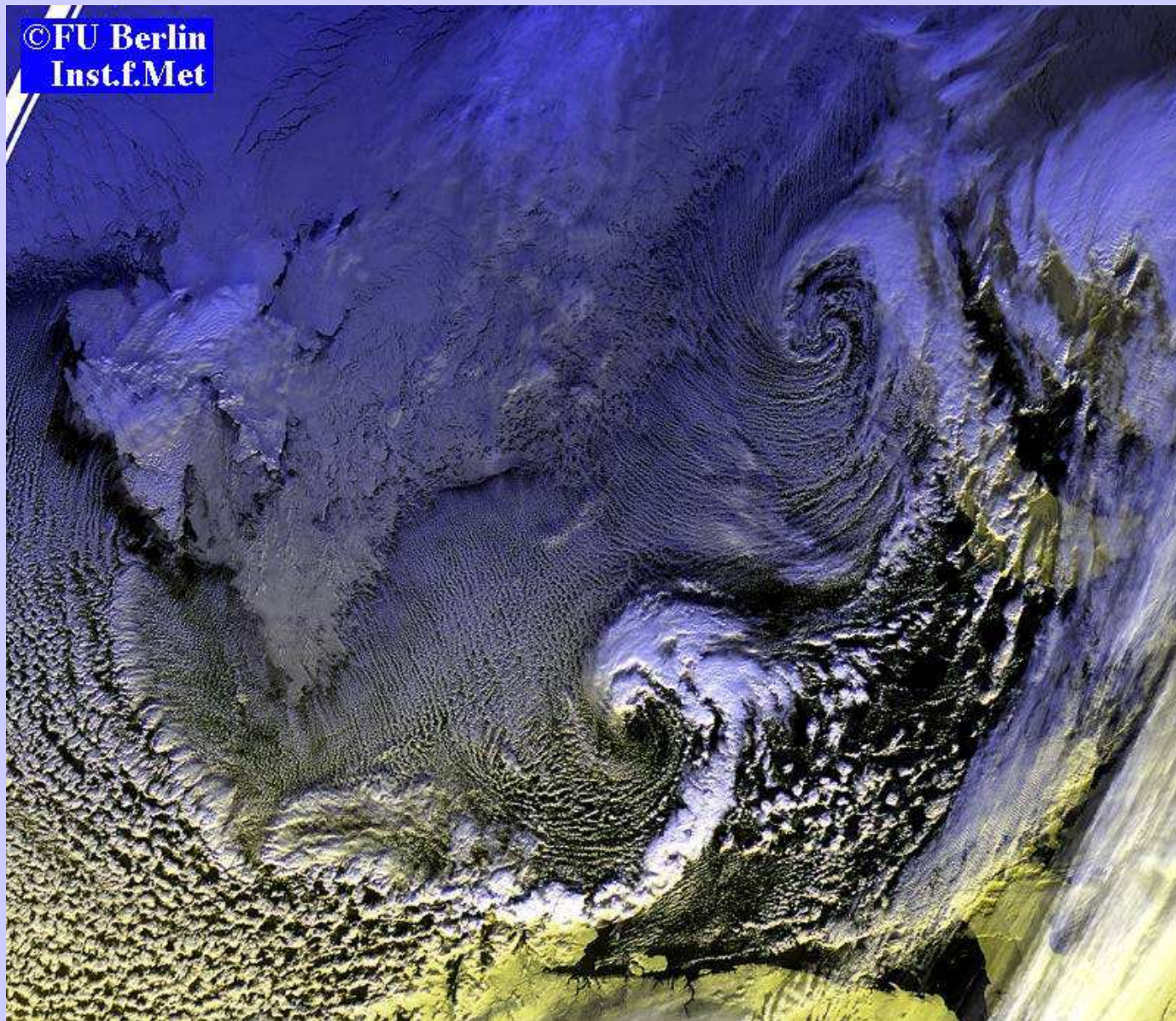


Saffir-Simpson Hurricane Intensity Scale

**Huracán Catalina (Brasil, marzo 2004),
formado a partir de una depresión fría en altura**



Bajas Polares

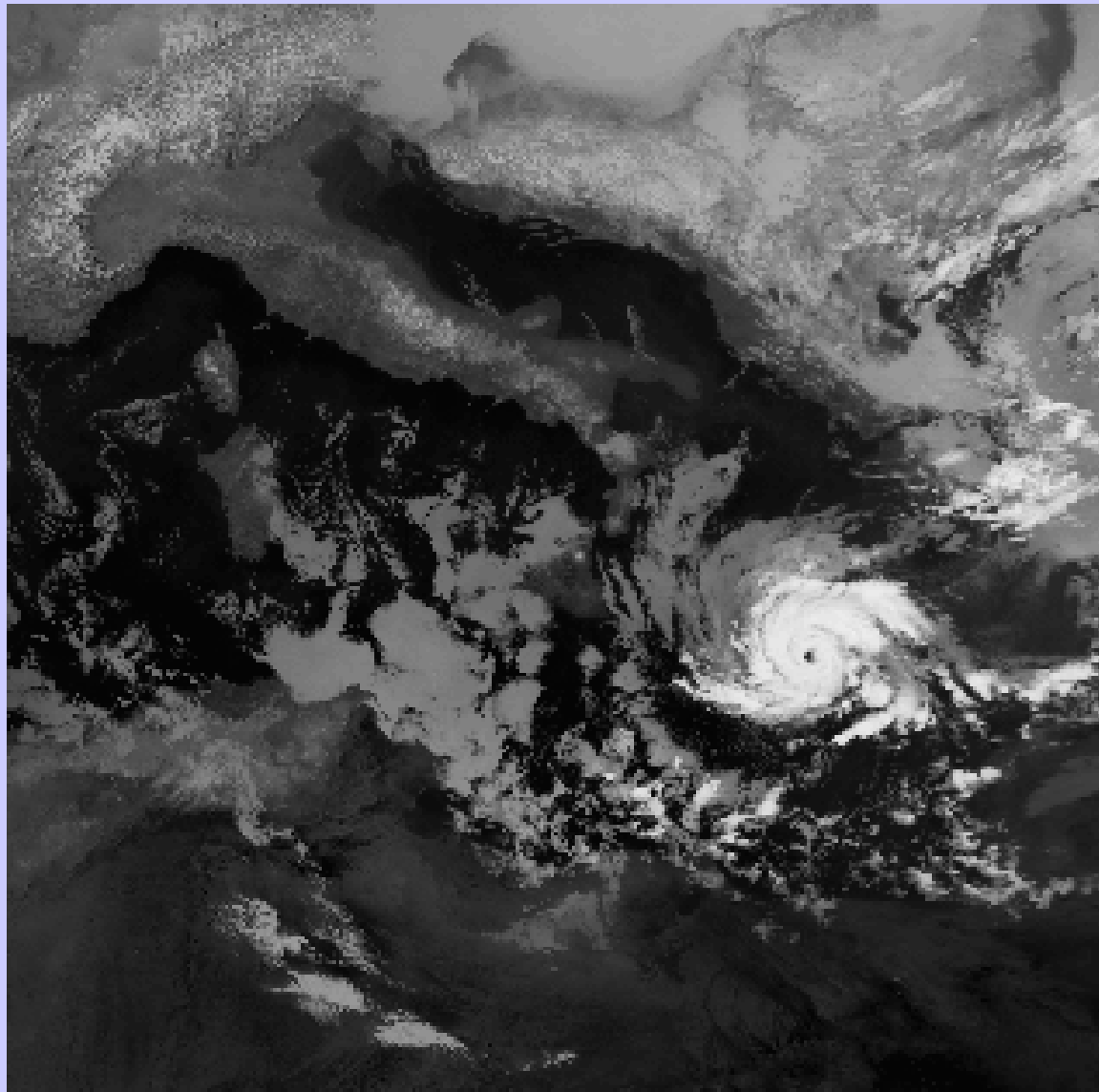


MEDICANES

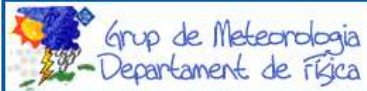
(miniciclones, ciclones cuasi/sub-tropicales ...)

- ~**1-2 por año** en el conjunto de la cuenca mediterránea, rara vez alcanzando la categoría de huracán (120 km/h).
- Típicamente, se forman bajo el efecto de una **depresión fría y aislada** en los niveles medio-altos de la troposfera.
- Se sustentan en el elevado desequilibrio termodinámico **aire-mar** propiciado por la perturbación primaria. Son más frecuentes en **otoño**.

Medicane del 15-17 Enero 1995



**MEDICANES (locals):
OBSERVACIONS I SIMULACIONS**



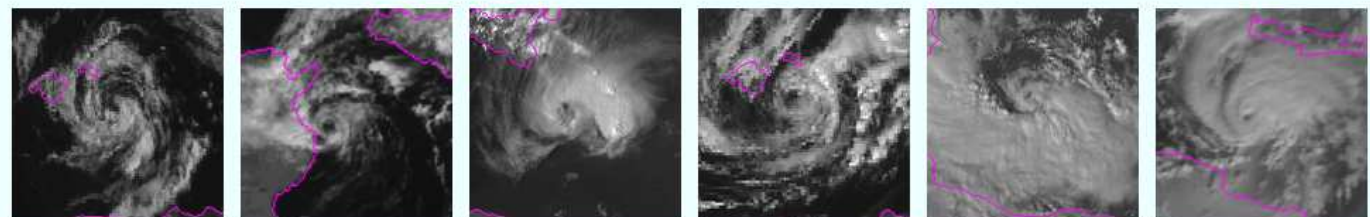
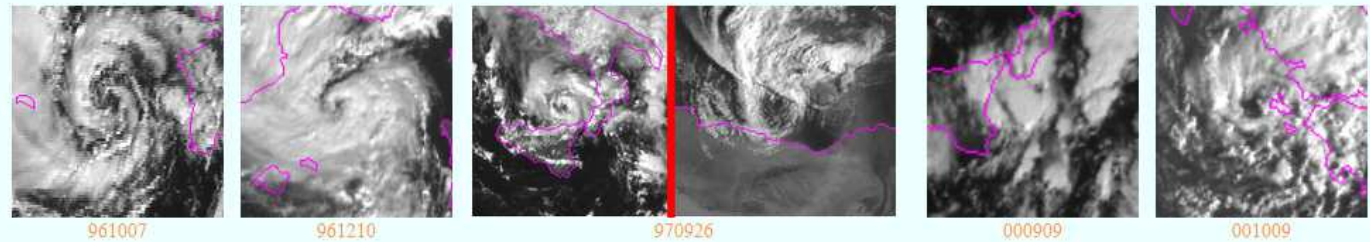
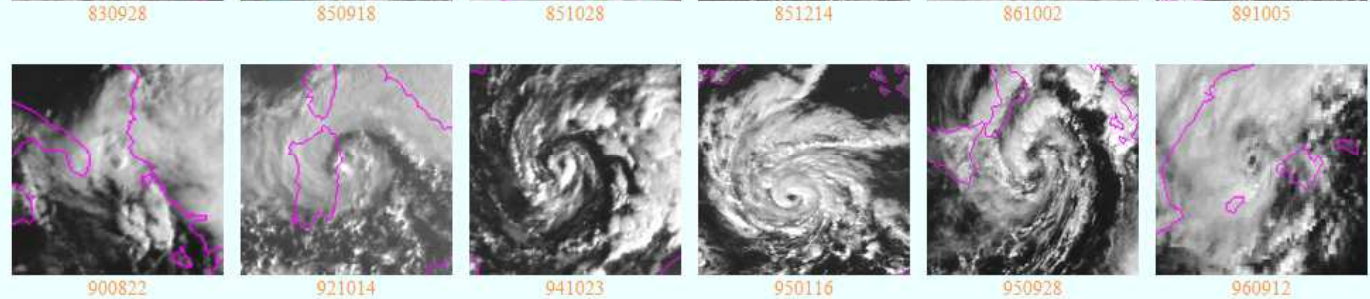
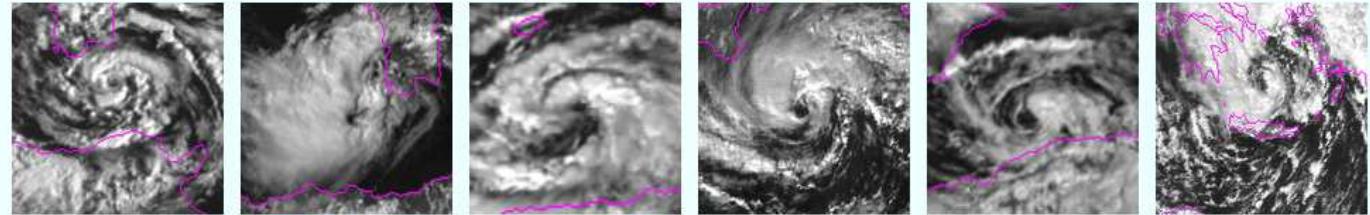
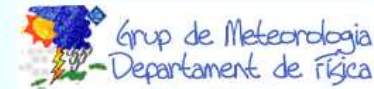
MEDICANES: Mediterranean tropical-like storms
Lluís Fita @

- Introduction
- Medicanes & Hurricanes
 - Dynamical evolutions
- Schemes
 - Evolution
 - Air-sea mechanism
- Cases
 - List of cases

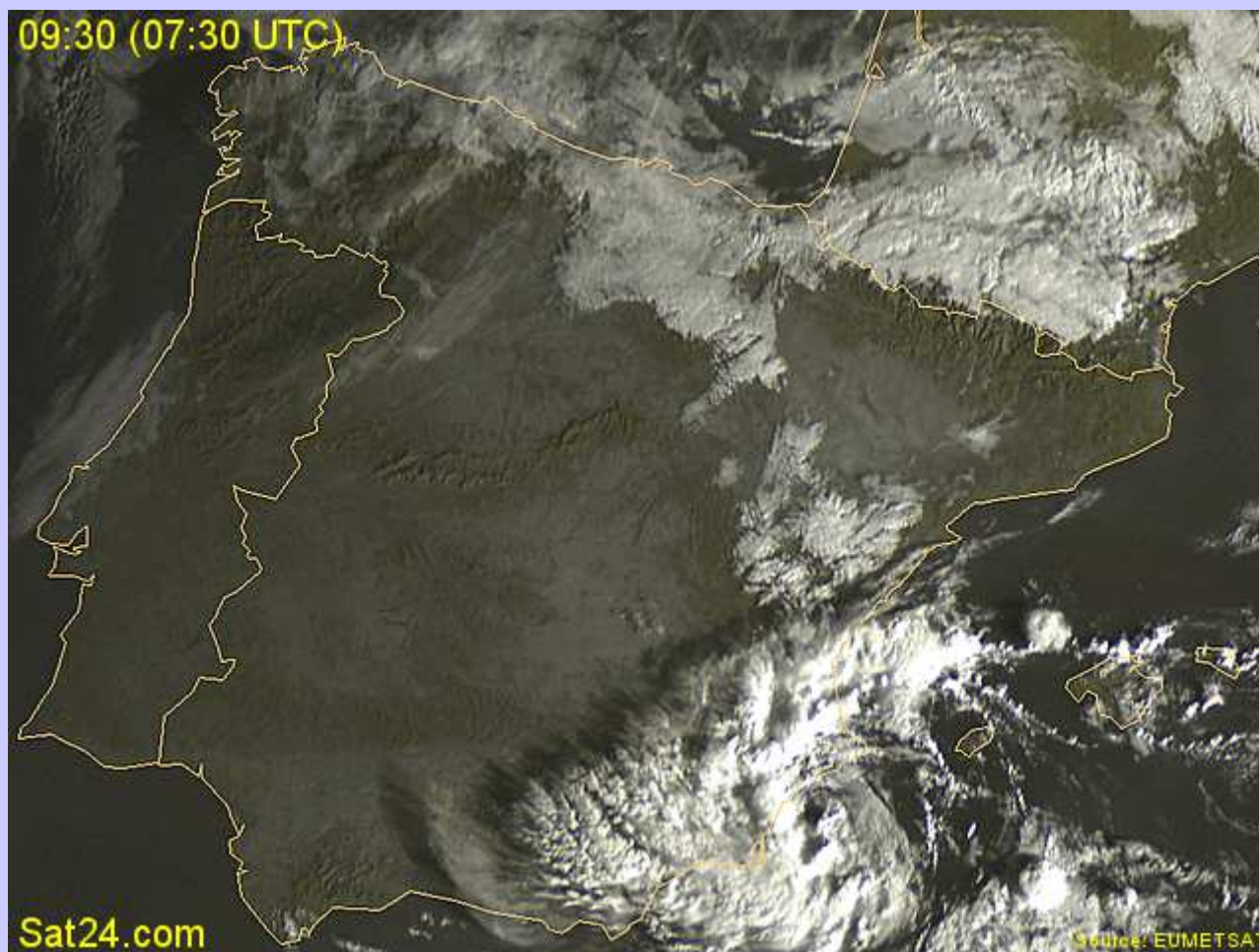
References

All images with a Eumetsat: (c)
Synoptic analyses are derived from ECMWF analyses

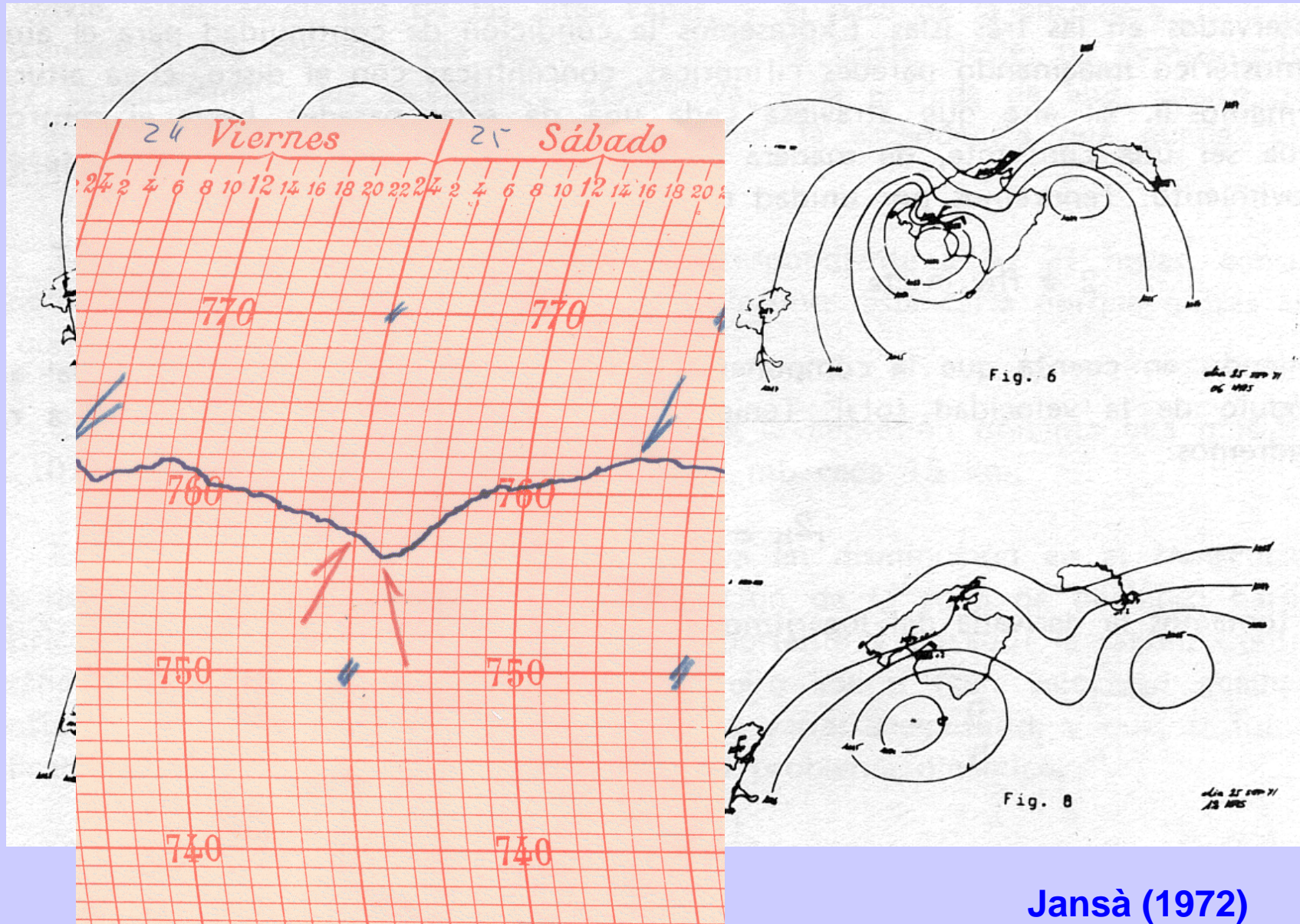
* Satellite images thanks to:
Angel Luque
* List of cases thanks to:
D. Bianchino, K. Emanuel, Iuka Milevoj and Wikipedia
* Schematic-animations thanks to:
Lorena Garcies
* Barographs thanks to:
INM-Centre Meteorològic a les Illes Balears
* QuickScat winds thanks to:
Remote Sensing Systems
* Synoptic environment thanks to:
European Centre for Medium-Range Weather Forecasts (ECMWF)



Medicane del 18 Octubre 2007



Medicane del 24-25 Septiembre 1971 ???



Medicane del 2 Octubre 1986

Diario de Ma

Palma, viernes 5 de octubre de 1986

Año XXXIV - N.º 16.661 - Precio 50 Ptas. - V.A. incluido - Editora Relsar, S.A. - Calle 1.ª - Tel. 716.443 - C.I.

Las pérdidas, aunque no han sido evaluadas, podrían ascender a varios cientos de millones

El ciclón destruyó unos veinte barcos de recreo en el Paseo Marítimo



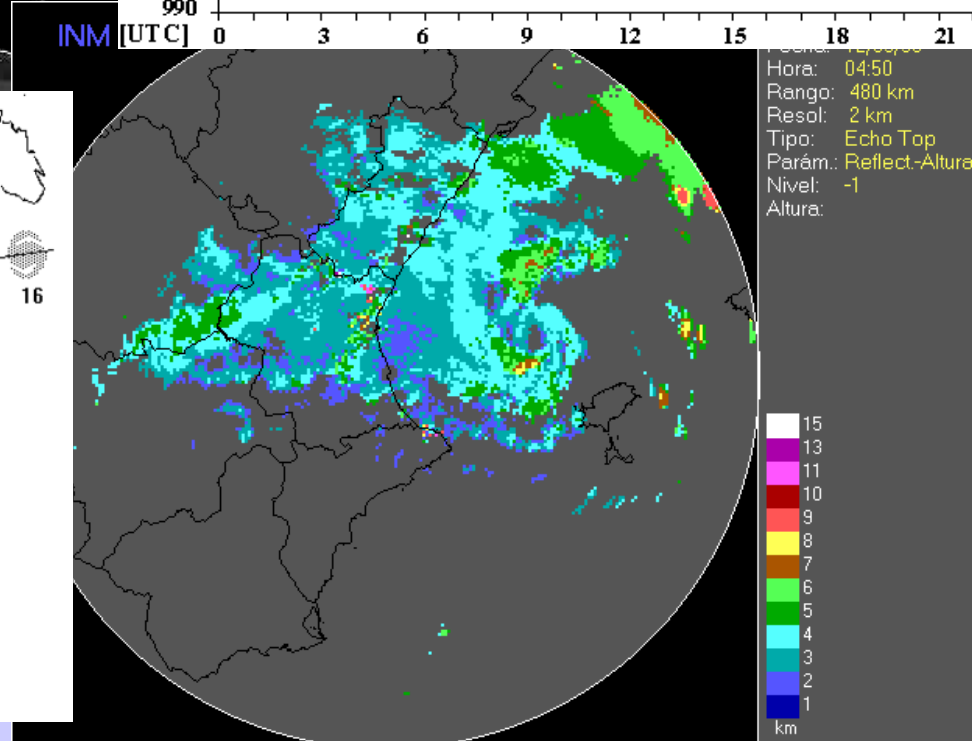
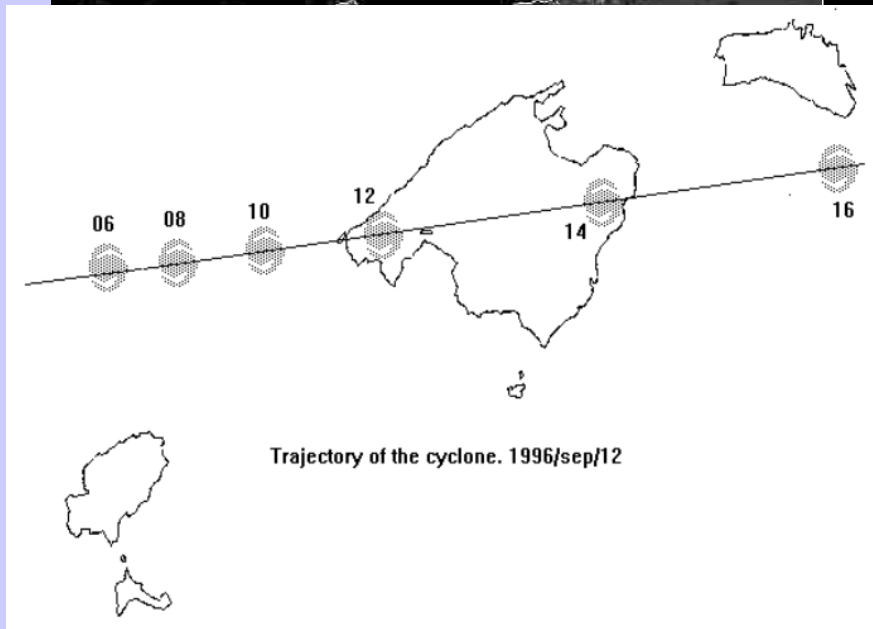
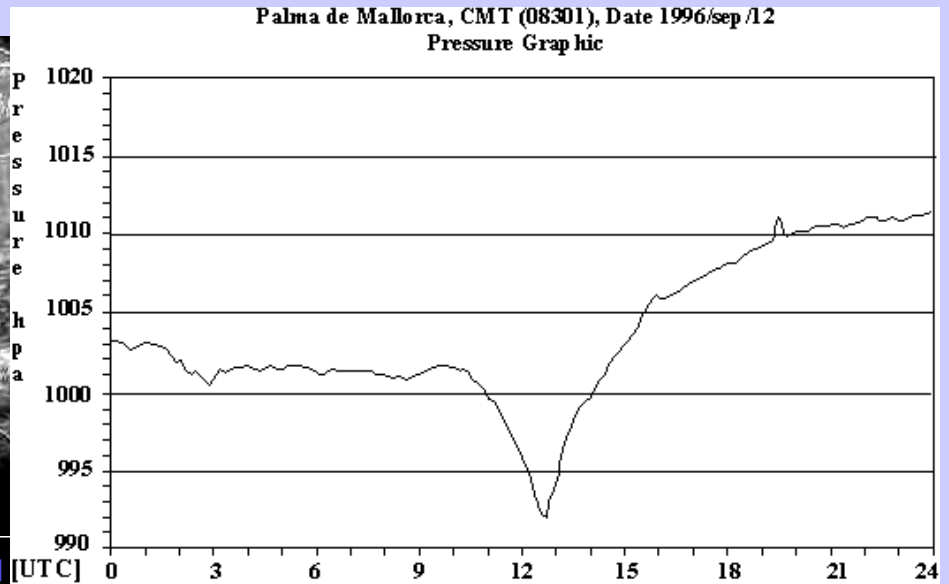
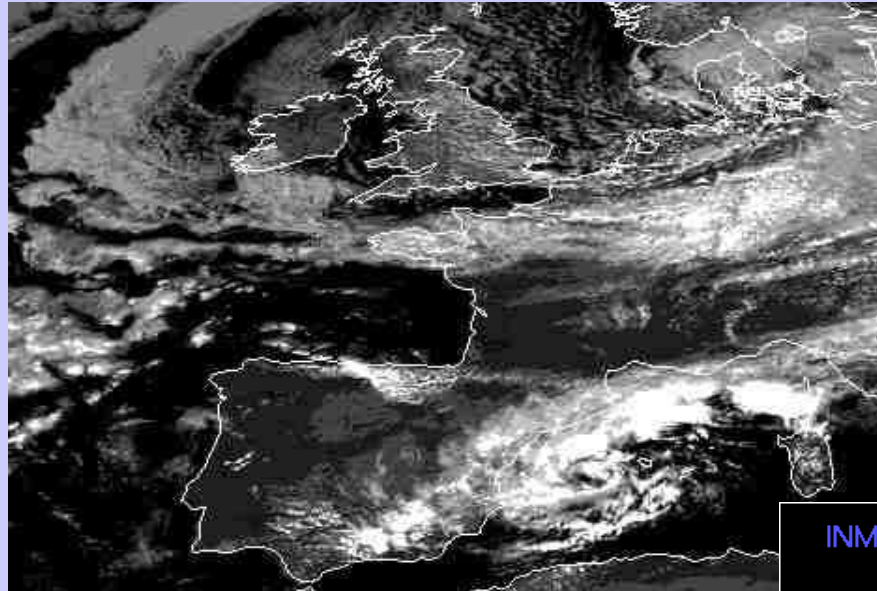
Mallorca se vió ayer sorprendida, a horas de la madrugada, con un viento llo que llegó a alcanzar en ocasiones los 100 kilómetros por hora, y que causó serios estragos en distintos puntos de la isla, afectando especialmente al Paseo Marítimo de Palma, donde se produjeron numerosos daños a una veintena de barcos allí amarrados. El viento comenzó a soplar en la isla alrededor de las 10 horas de la madrugada. Los daños causados pese a haber sido evaluados pueden ascender a varios cientos de millones. El fuerte viento estuvo acompañado de fuertes precipitaciones que alcanzaron a alcanzar en la zona de Sóller los 100 litros por metro cuadrado. Tanto los bomberos de Palma como los efectivos de la Policía Municipal se vieron obligados a llevar a cabo un trabajo desde las tres de la madrugada hasta bien entrada la tarde. Las previsiones de los bomberos como de la Unidad de Inteligencia Inmediata, se vieron desbordadas, a causa del fenómeno climatológico. Dentro de Palma la mayor actividad estuvo motivada por la caída de árboles y postes del tendido eléctrico y teléfono que afectaron a doce turismo aparcados a lo largo del paseo. El impacto de las ramas, según las previsiones del Instituto Nacional de Meteorología, la "gota fría" puede afectar a la isla en las próximas horas.

(Pá)

Destrozos en el puerto. - En el puerto el pequeño ciclón causó estragos en embarcaciones. Algunas se hundieron, otras, a causa de la fuerza del viento, rompieron amarras y sufrieron posteriores y violentas colisiones contra los pantalanes y otros barcos, resultaron seriamente dañadas. Igualmente, se dañaron las instalaciones de "Bañoares Náutica", las cuales quedaron prácticamente desmanteladas. (Foto Lorenzo)



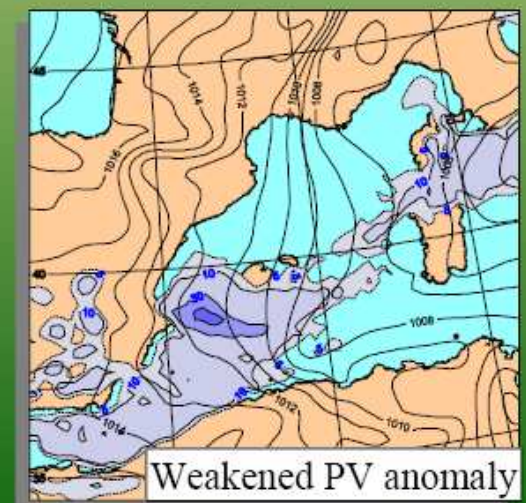
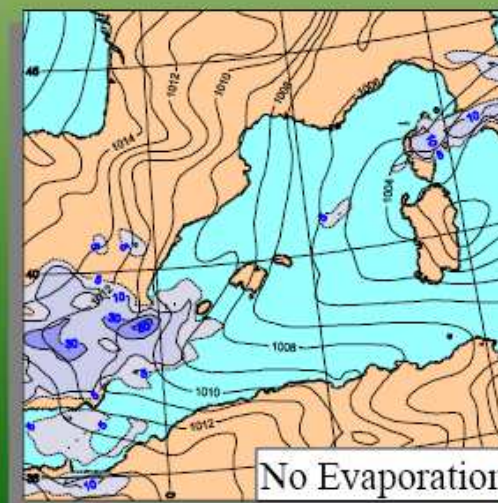
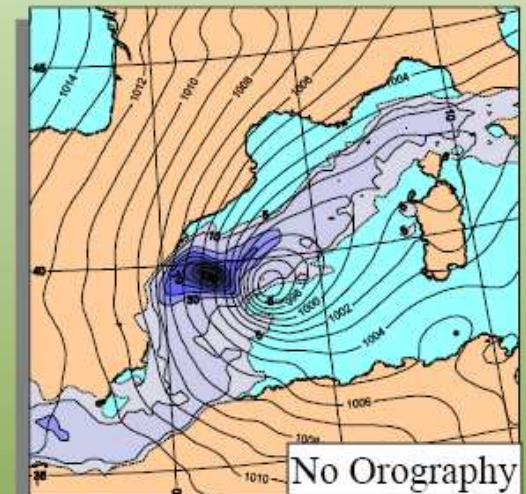
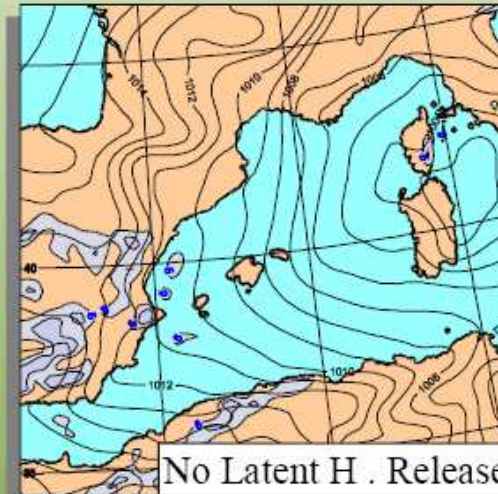
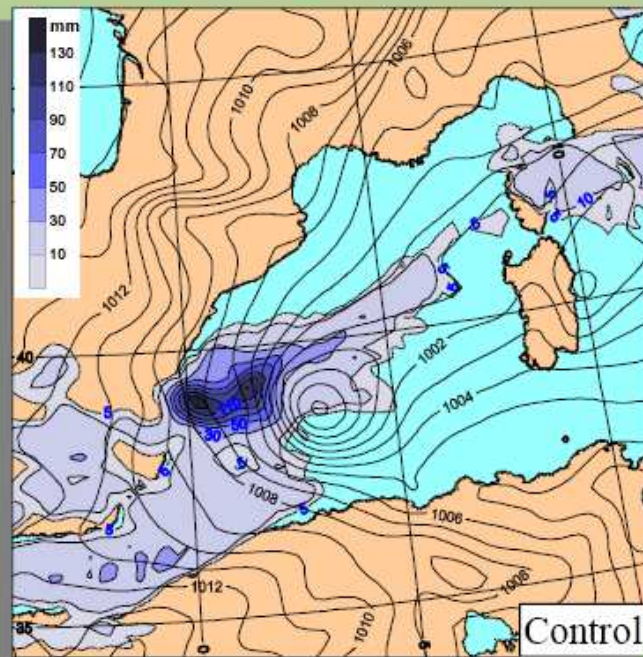
Medicane del 12 de Septiembre 1996



Medicane del 12 de Septiembre 1996

Sensitivity

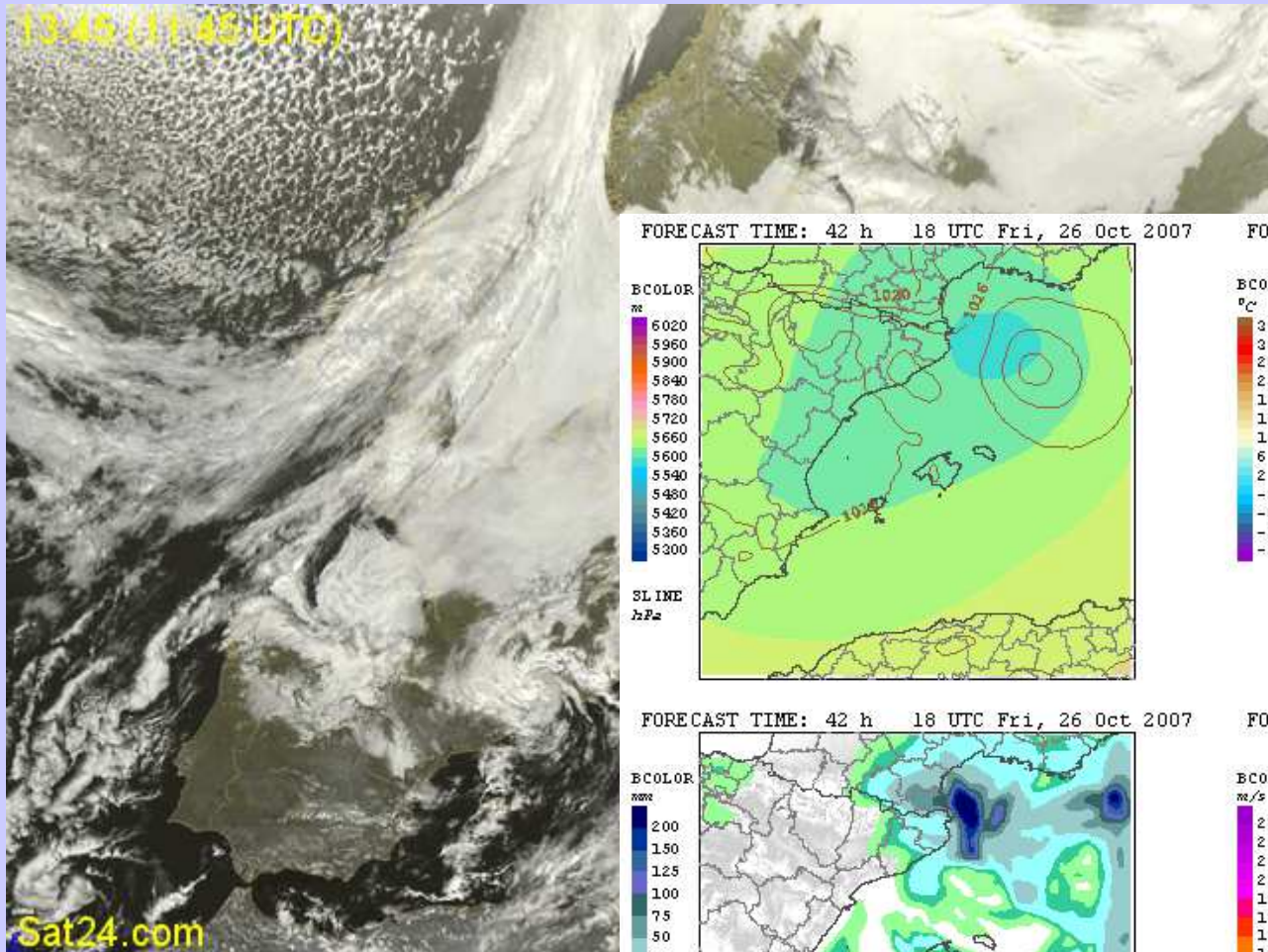
• Results of the sensitivity experiments in terms of surface pressure and accumulated precipitation at 1200 UTC:



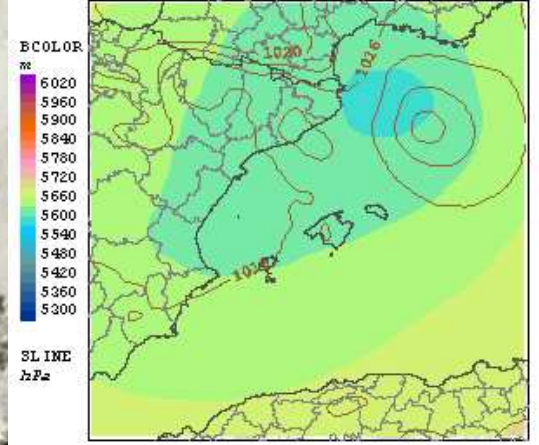
Homar et al.
(2003)

Medicane del 26 Octubre 2007

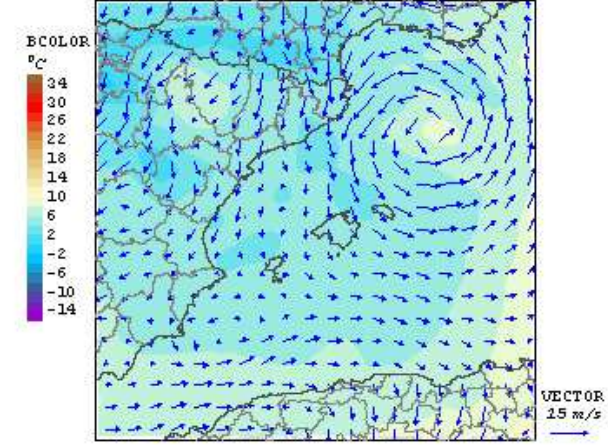
13:45 (11:45 UTC)



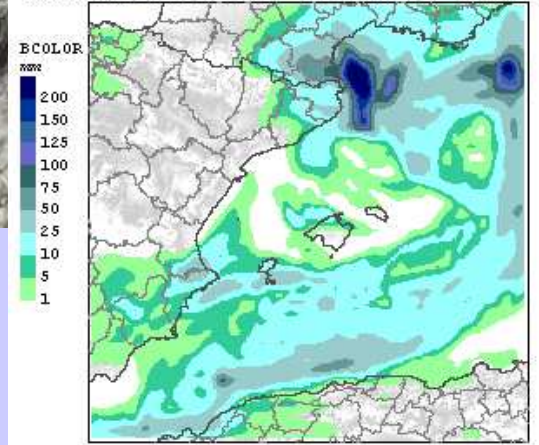
FORECAST TIME: 42 h 18 UTC Fri, 26 Oct 2007



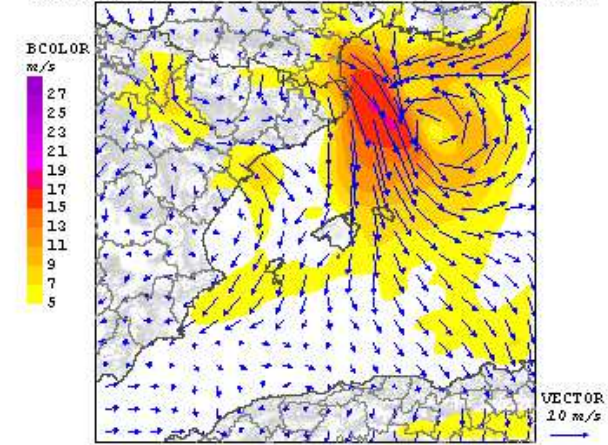
FORECAST TIME: 42 h 18 UTC Fri, 26 Oct 2007



FORECAST TIME: 42 h 18 UTC Fri, 26 Oct 2007

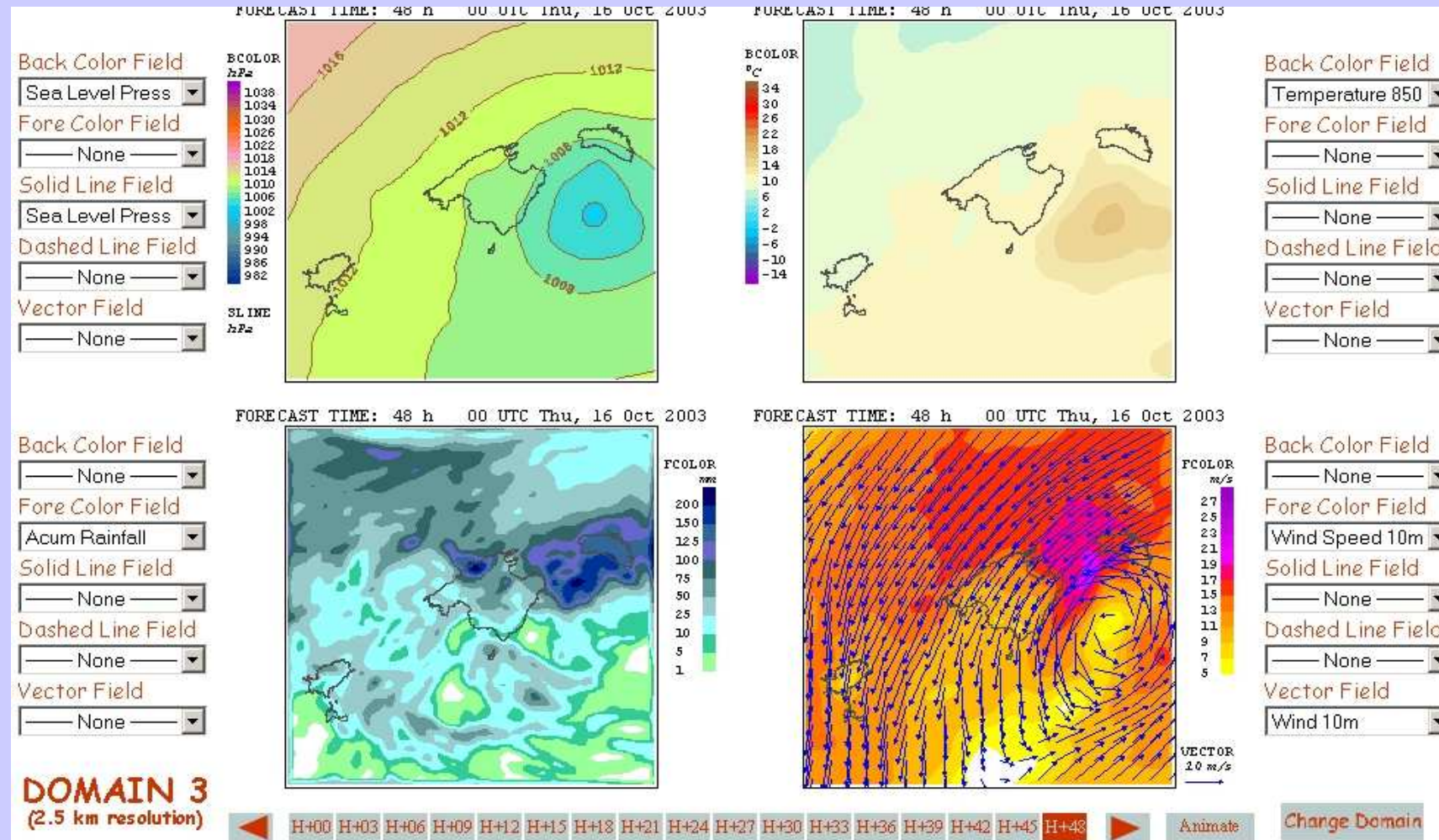


FORECAST TIME: 42 h 18 UTC Fri, 26 Oct 2007

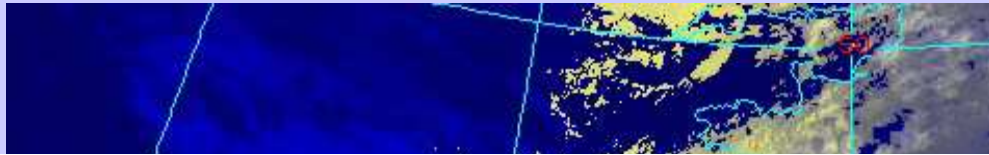


◀ H+00 H+03 H+06 H+09 H+12 H+15 H+18 H+21 H+24 H+27 H+30 H+33 H+36 H+39 H+42 H+45 H+48 ▶ Animate

FALSO Medicane del 16 Octubre 2003

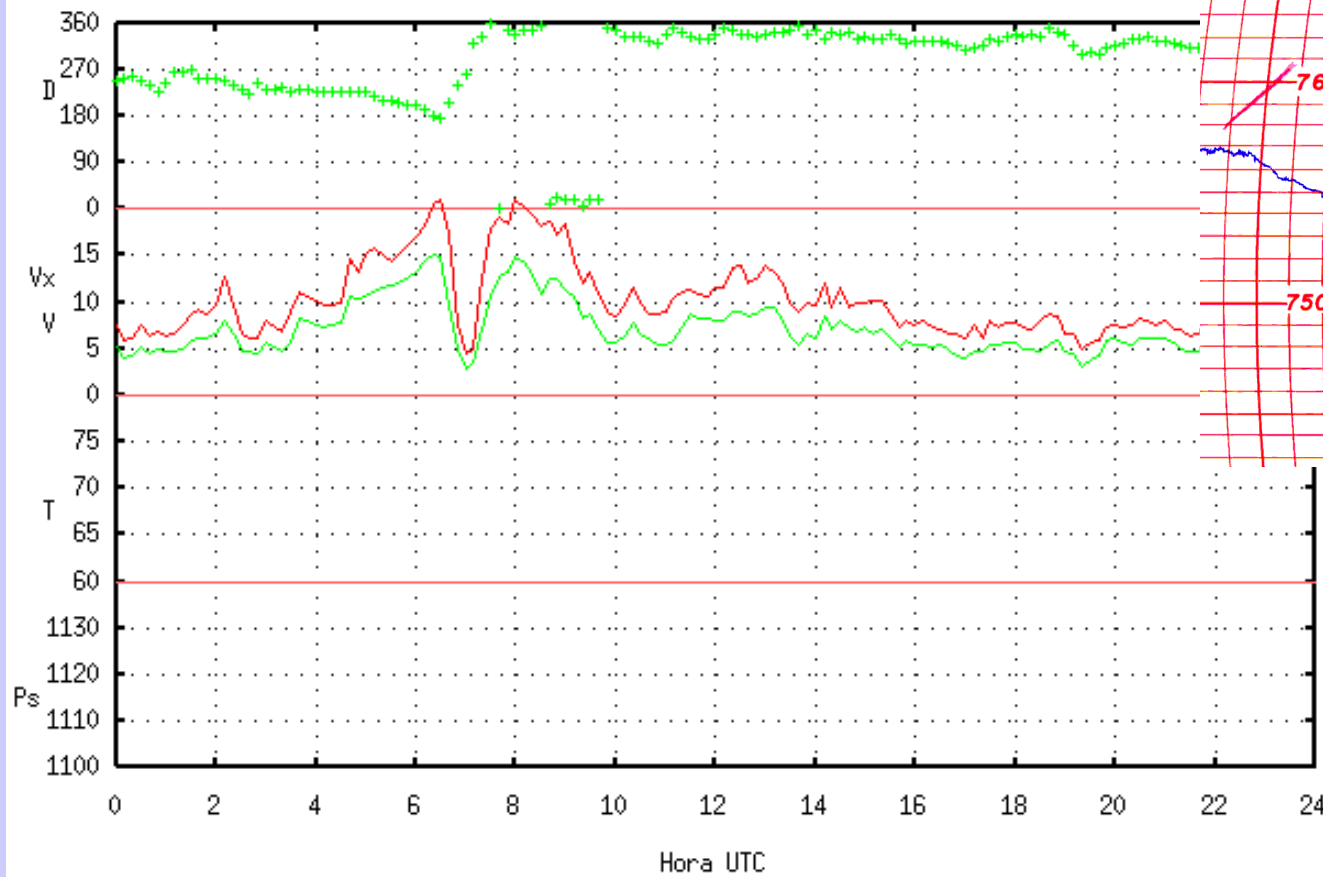


... PERO Medicane el 18 Octubre 2003

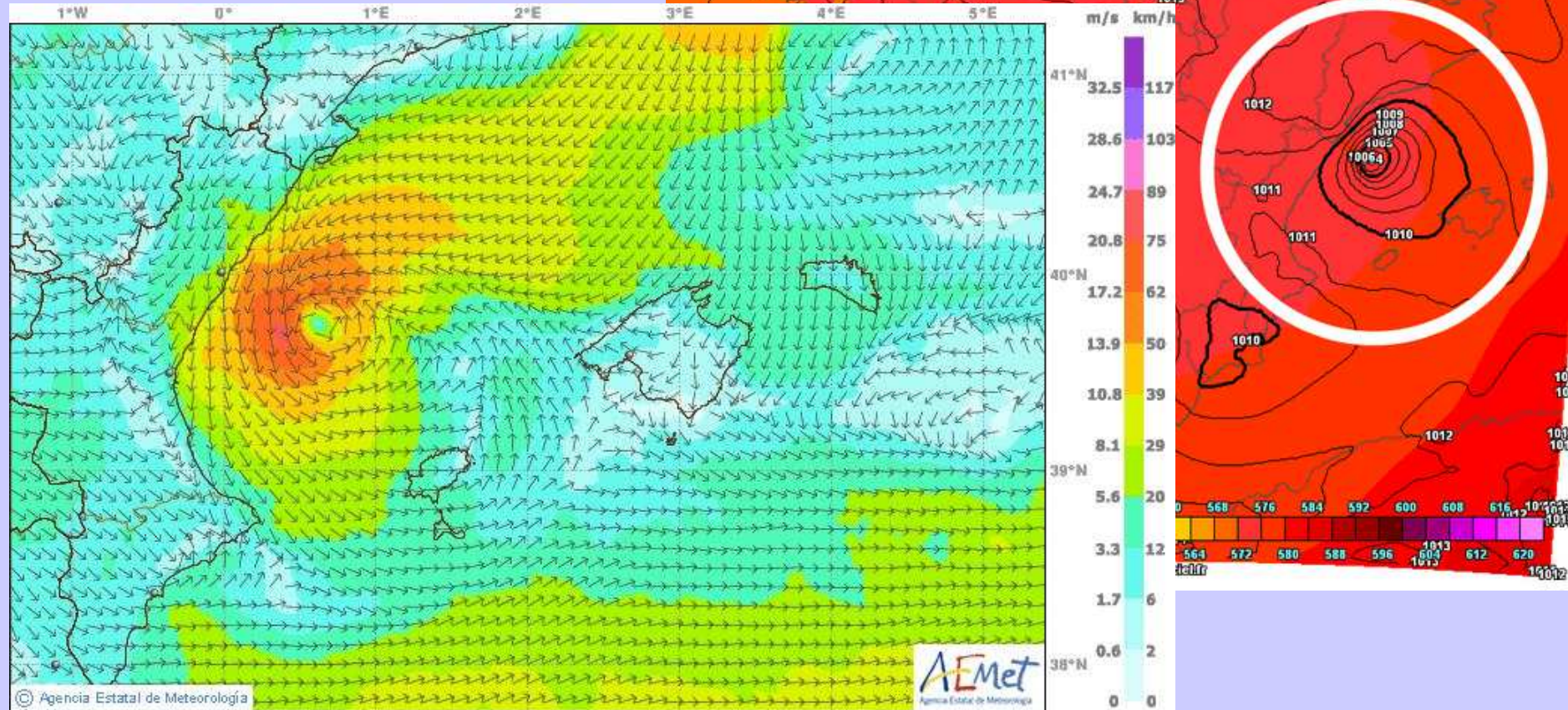
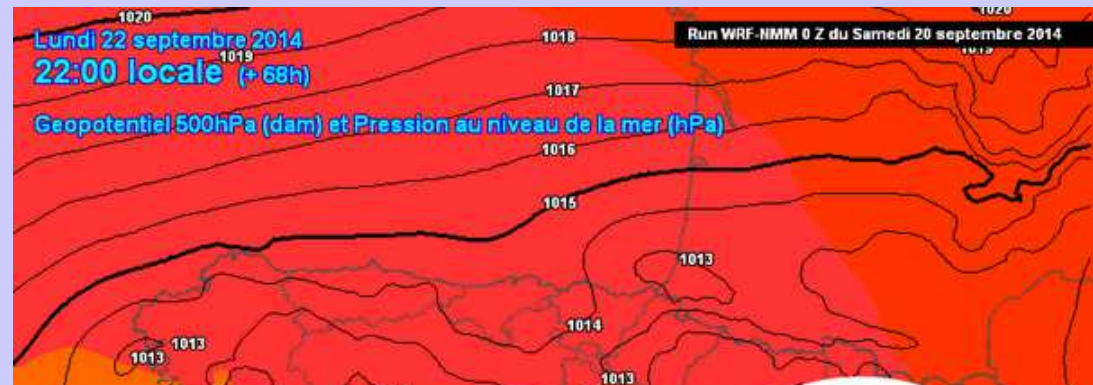


B228d - Palma Dic de l'oest

Dia 18-10-2003



FALSO Medicane del 22-23 Septiembre 2014

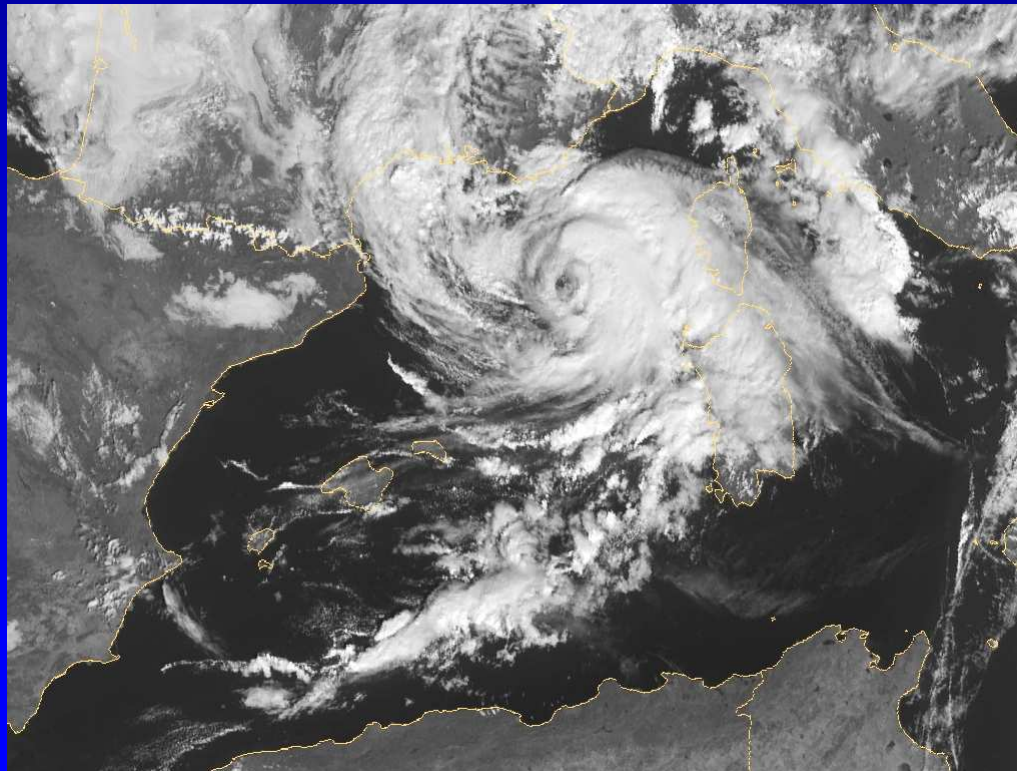


**MEDICANES:
EFECTES DEL CANVI CLIMÀTIC ?**

MOTIVACIÓN

Los **Medicanes** son **tempestades marítimas potencialmente violentas** y que pueden afectar a las **islas y zonas costeras** del Mediterráneo:

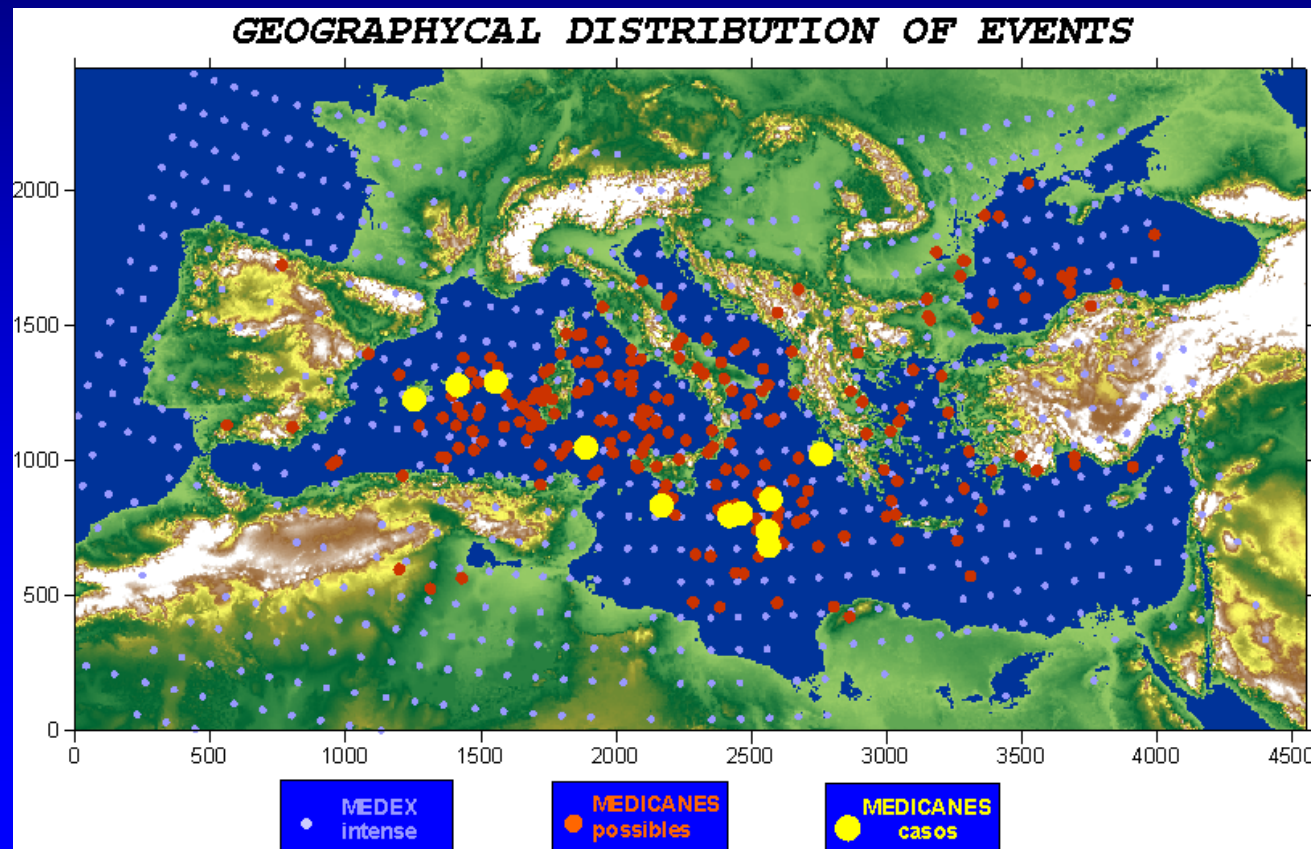
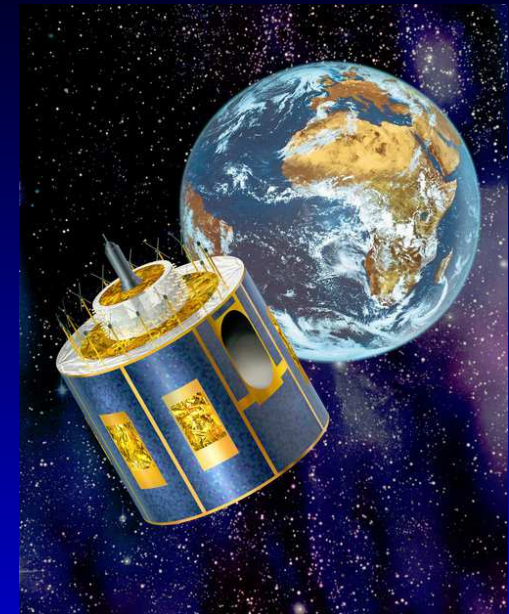
- **Existen zonas preferentes para el desarrollo de medicanes ?**
- **Qué intensidad pueden llegar a alcanzar ?**
- **Cambiará su frecuencia e intensidad con el cambio climático ?**



8 Noviembre 2011
(NOAA: INVEST 01M)

RIESGO DE MEDICANES ???

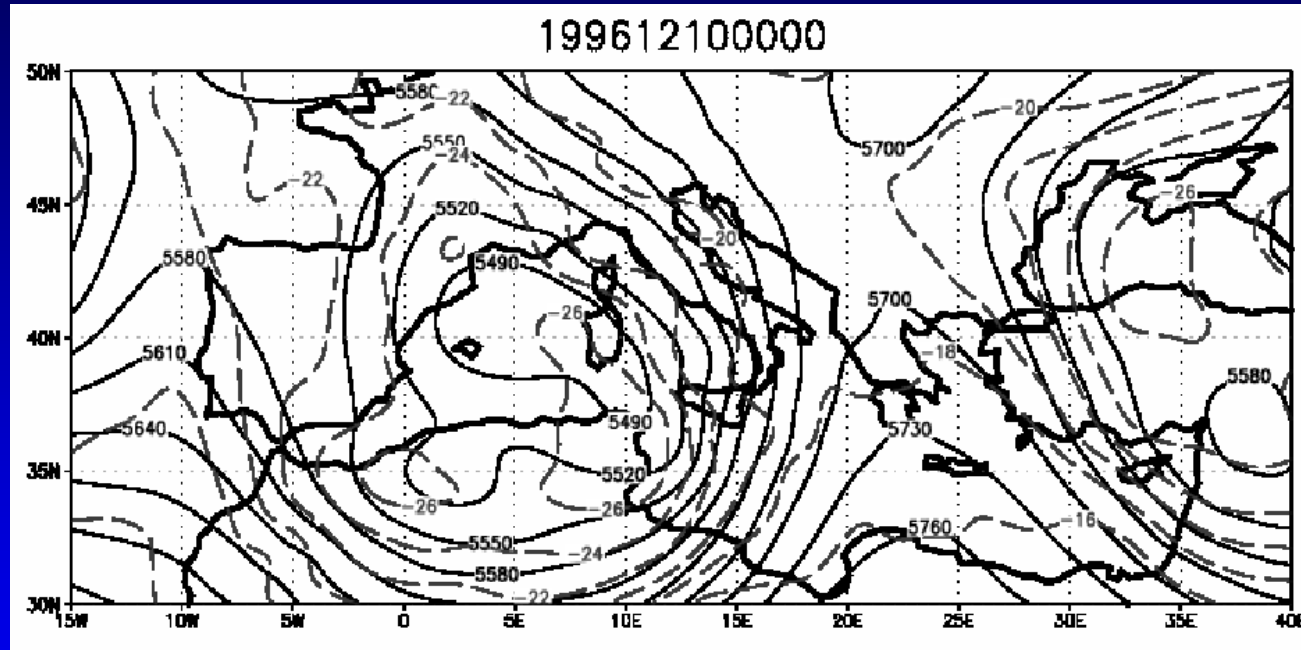
- Solo 1-2 casos por año !!!
- Cuantificación **difícil** con métodos clásicos



Base de datos (satélite)
(Tous and Romero, 2012)

APROXIMACIÓN: Ingredientes de gran escala

- **Bajas aisladas y frías en la media y alta troposfera:**



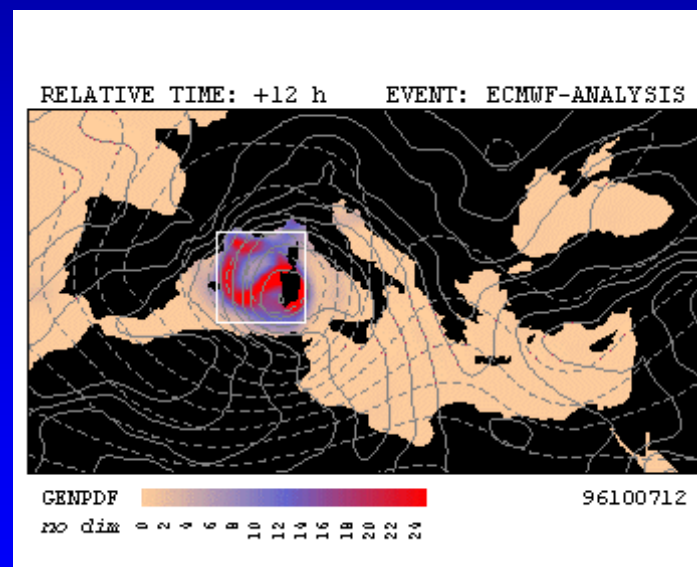
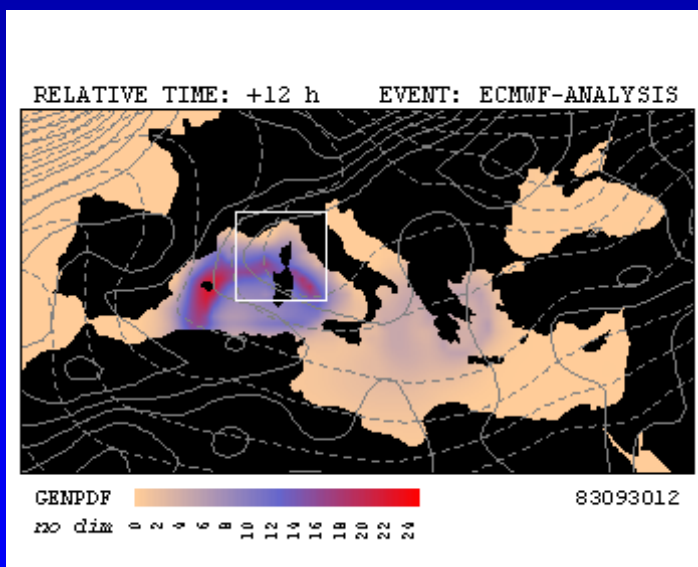
- **Pero** dada la rareza del fenómeno, deben existir **otras condiciones meteorológicas adicionales y muy especiales ...**

APROXIMACIÓN: Ingredientes de gran escala

- Aplicación del **índice empírico de génesis**:

$$I = \left| 10^5 \eta \right|^{3/2} \left(\frac{H}{50} \right)^3 \left(\frac{V_{pot}}{70} \right)^3 \left(1 + 0.1 \frac{V_{shear}}{V_{pot}} \right)^{-2},$$

Parámetro GENIX
(Emanuel and Nolan, 2004)

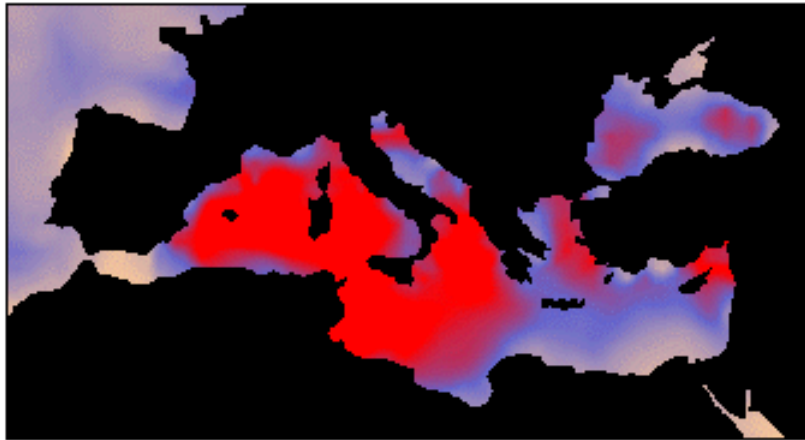


- Ingredientes **necesarios pero no suficientes ...**

APROXIMACIÓN: *Aplicación*

MONTH: Oct

REANALYSIS: ERA-40 1981-2000



GEMPDF

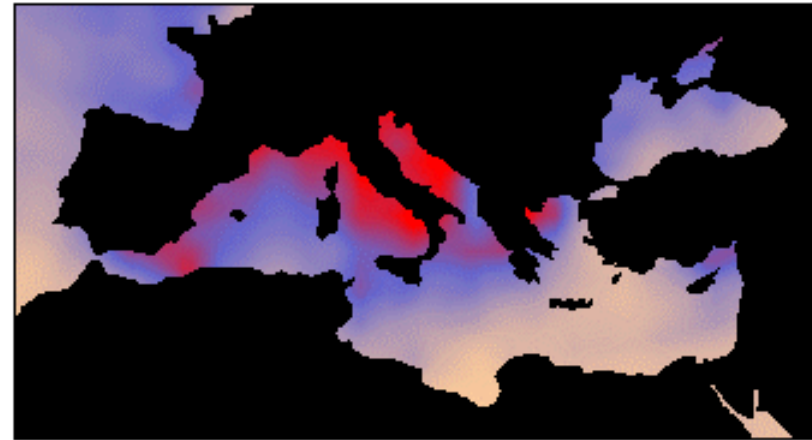
no dim



MEAN

MONTH: Oct

GCM: CSIRO-20C3M 1981-2000



GEMPDF

no dim

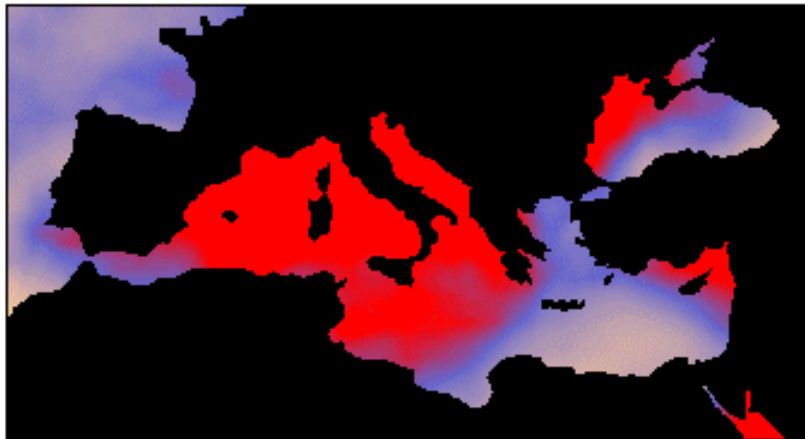


MEAN

GENIX Presente

MONTH: Oct

GCM: ECHAM5-20C3M 1981-2000



GEMPDF

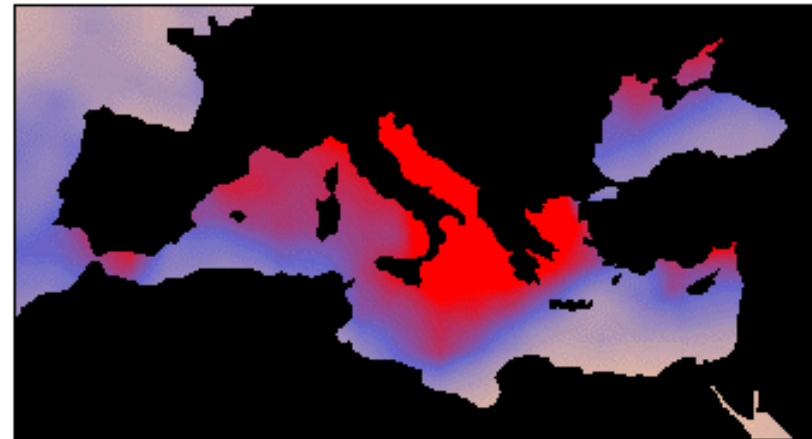
no dim



MEAN

MONTH: Oct

GCM: GFDL-20C3M 1981-2000



GEMPDF

no dim

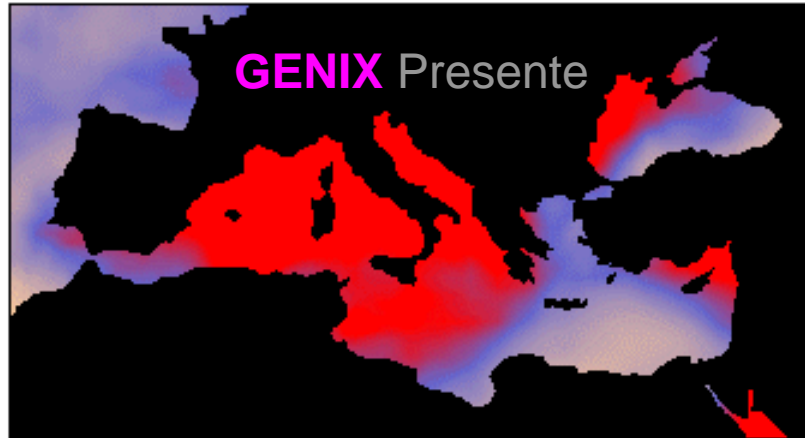


MEAN

APROXIMACIÓN: *Aplicación*

MONTH: Oct

GCM: ECHAM5-20C3M 1981-2000



GENPDF

no dim



MEAN

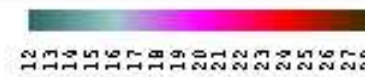
MONTH: Oct

GCM: ECHAM5-20C3M 1981-2000



SST

°C

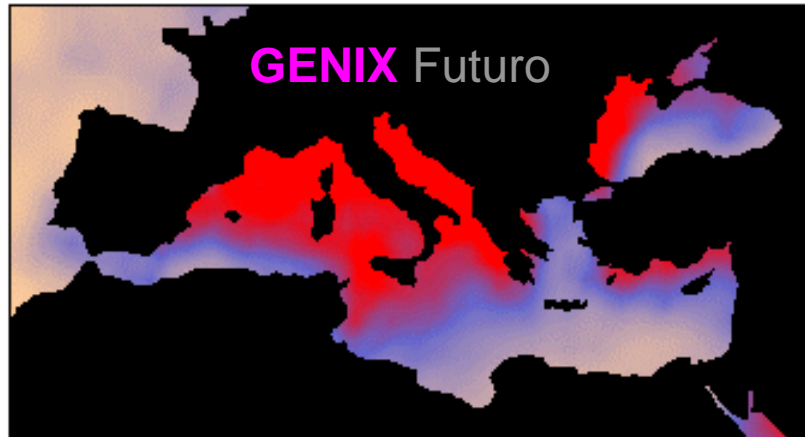


MEAN

↓ + 3 °C

MONTH: Oct

GCM: ECHAM5-SRESA2 2081-2100



GENPDF

no dim



MEAN

MONTH: Oct

GCM: ECHAM5-SRESA2 2081-2100



SST

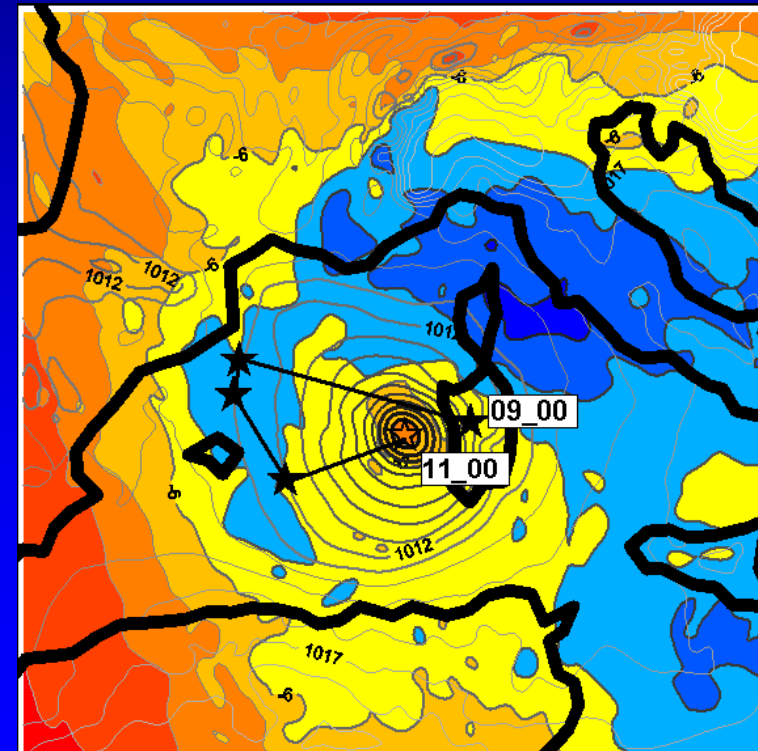
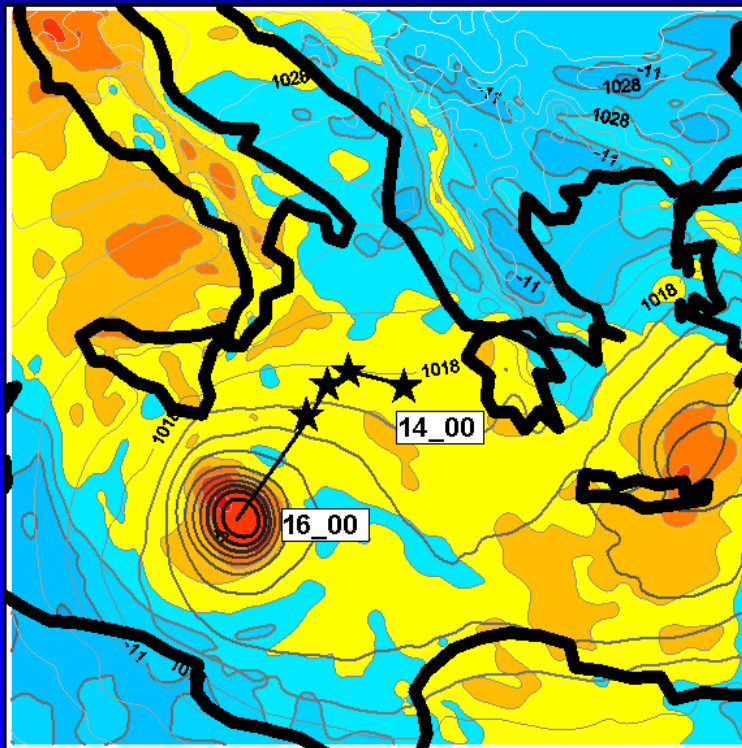
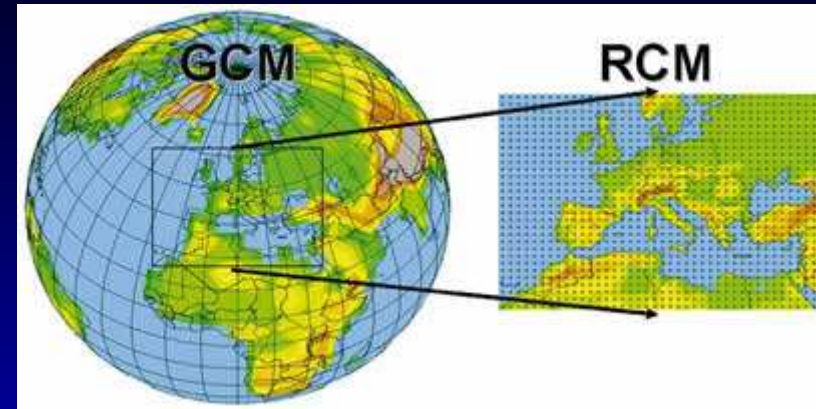
°C



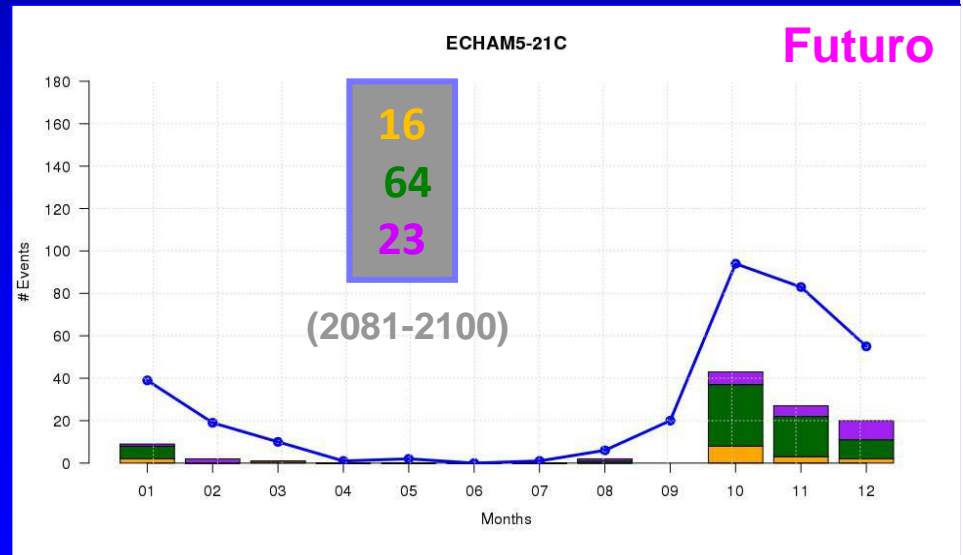
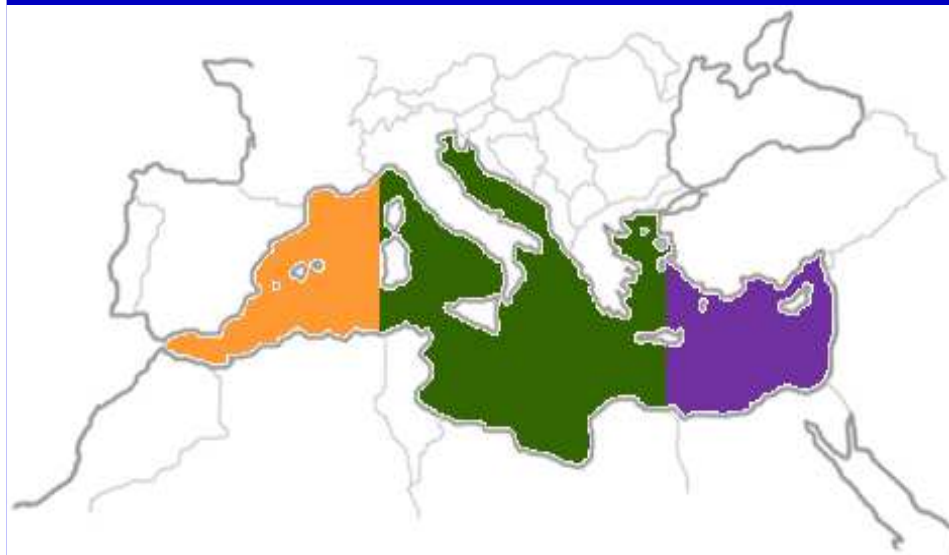
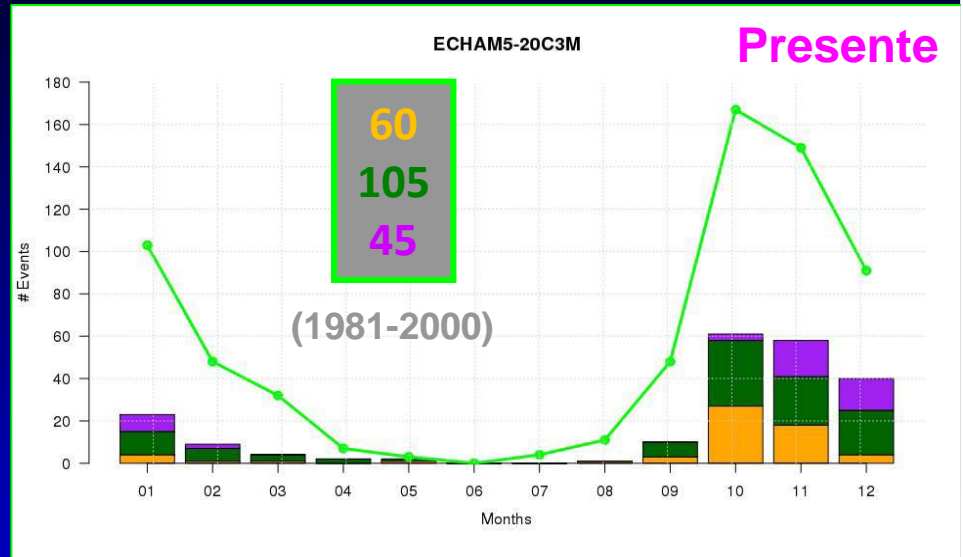
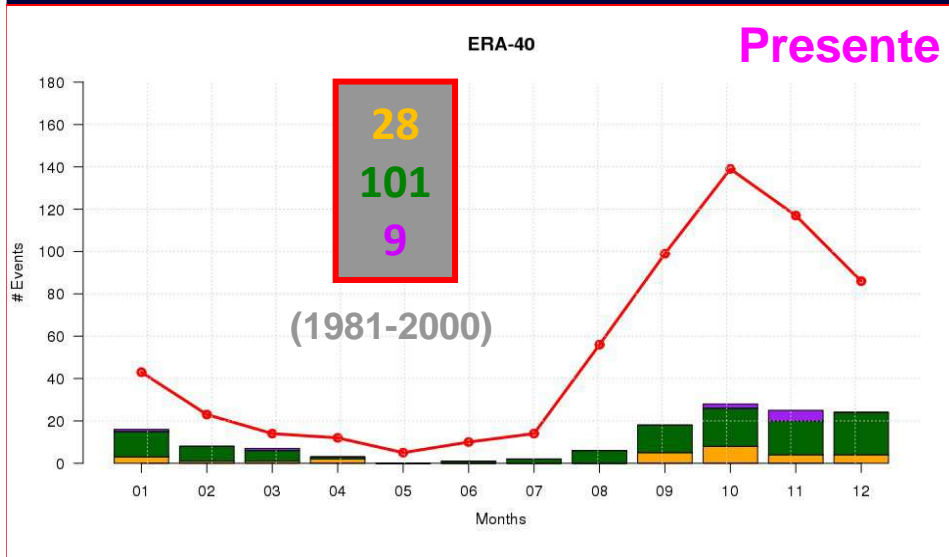
MEAN

PRIMER MÉTODO: Regionalización climática

- **Alto coste computacional !!!**
(incluso para simulaciones guiadas)
- Solo un **número limitado** de casos
(aunque varios GCMs y escenarios)

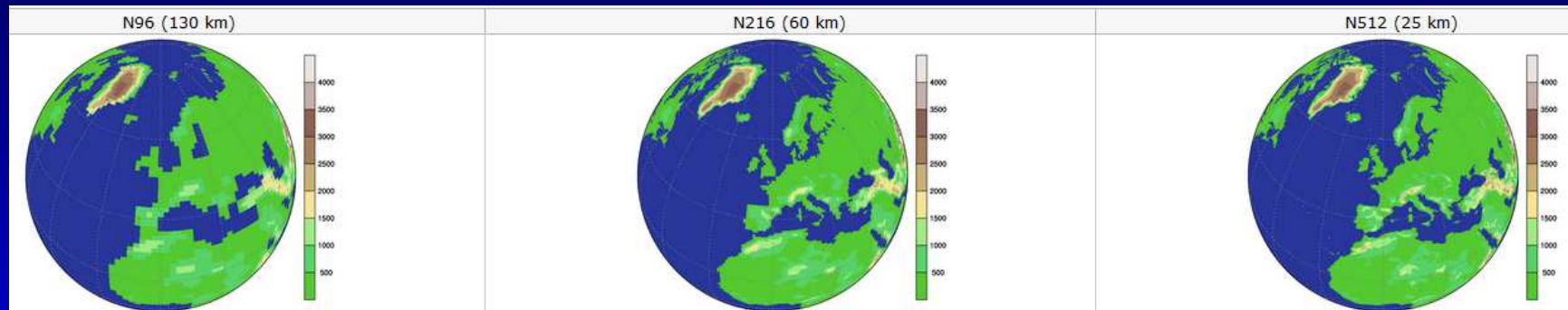


PRIMER MÉTODO: Aplicación

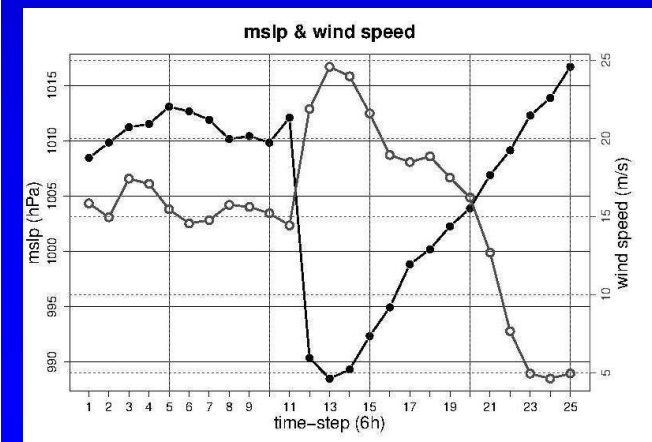
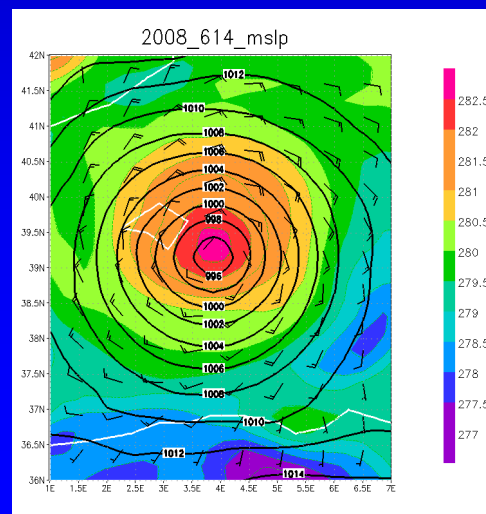
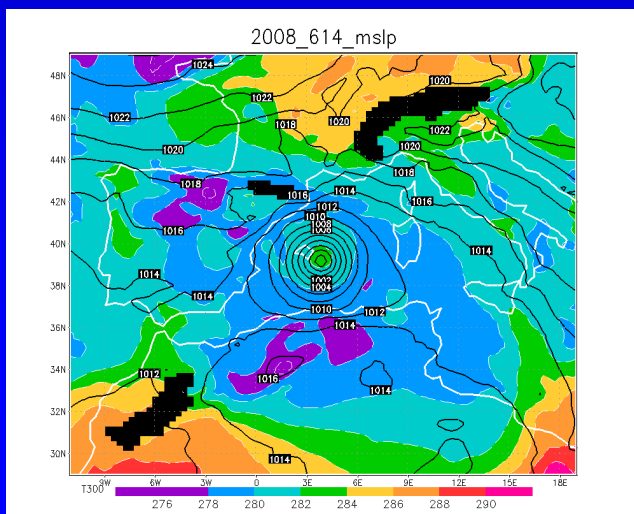


SEGUNDO MÉTODO: Simulaciones climáticas globales (HR)

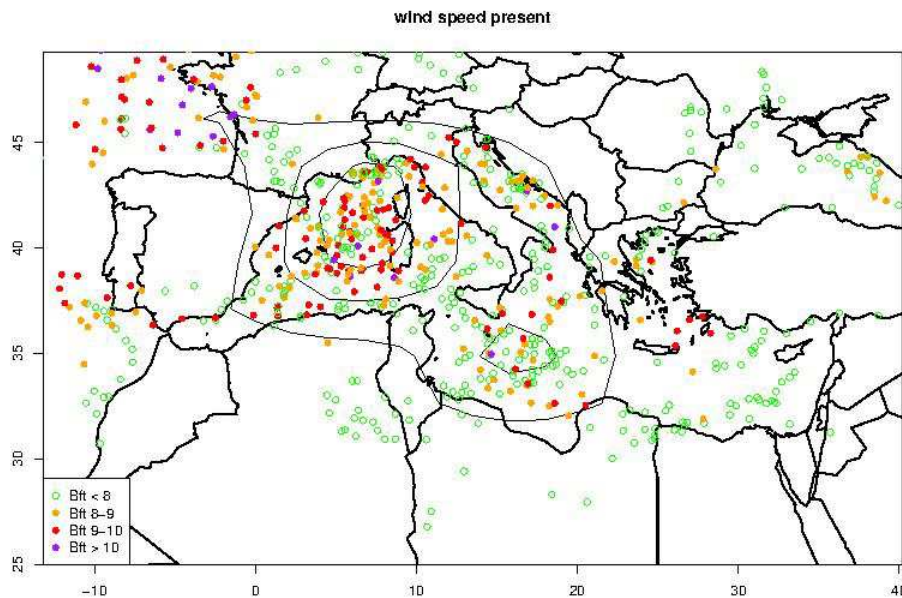
- **Detección** de perturbaciones ciclónicas intensas, simétricas y con núcleo cálido (i.e. **medicanes**) generadas en las simulaciones globales del modelo **HadGEM3 N512 (resolución 25 km)** (proyecto **UPSCALE**)



- A pesar de la **HR**, solo se capturan **medicanes grandes/potentes** ...

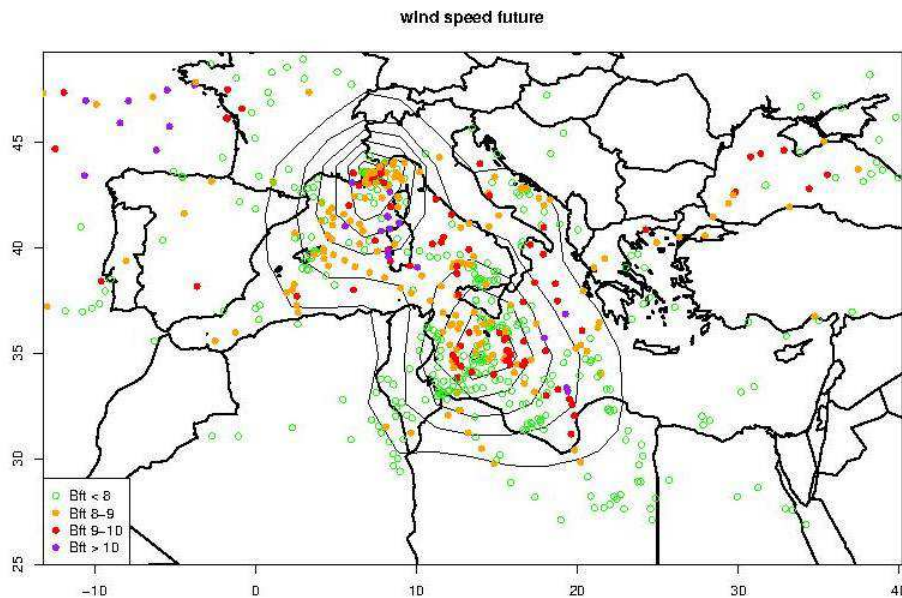


SEGUNDO MÉTODO: *Aplicación*



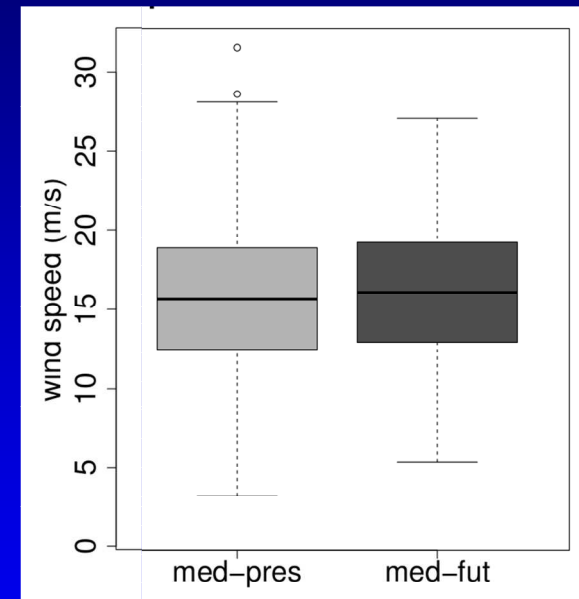
PRESENTE

65 med / 26 yr



FUTURO

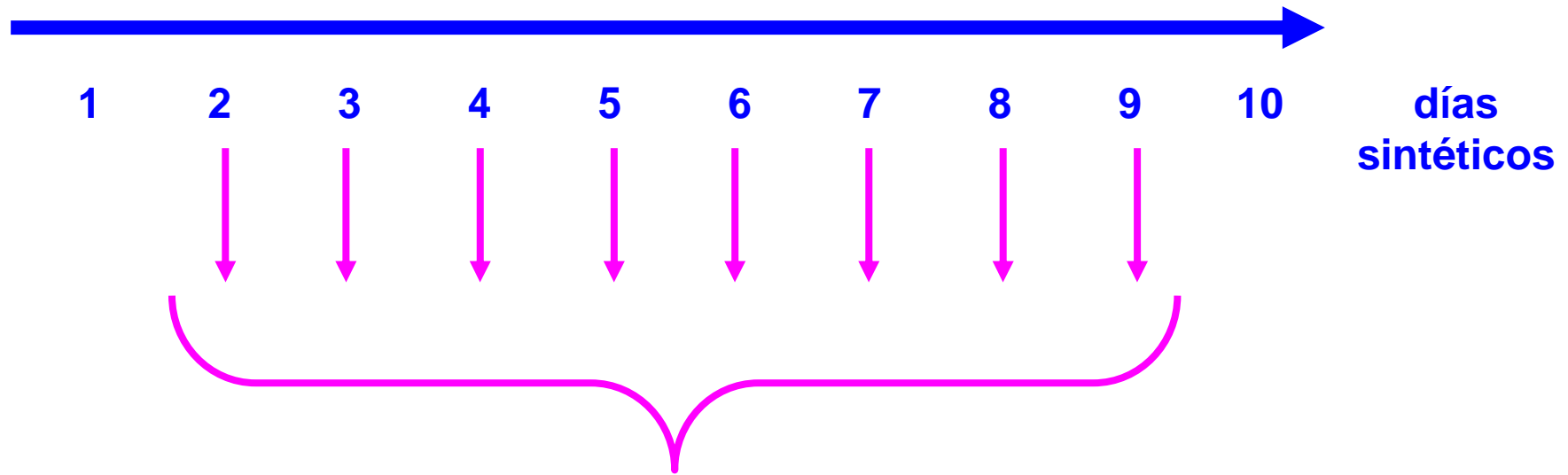
44 med / 26 yr



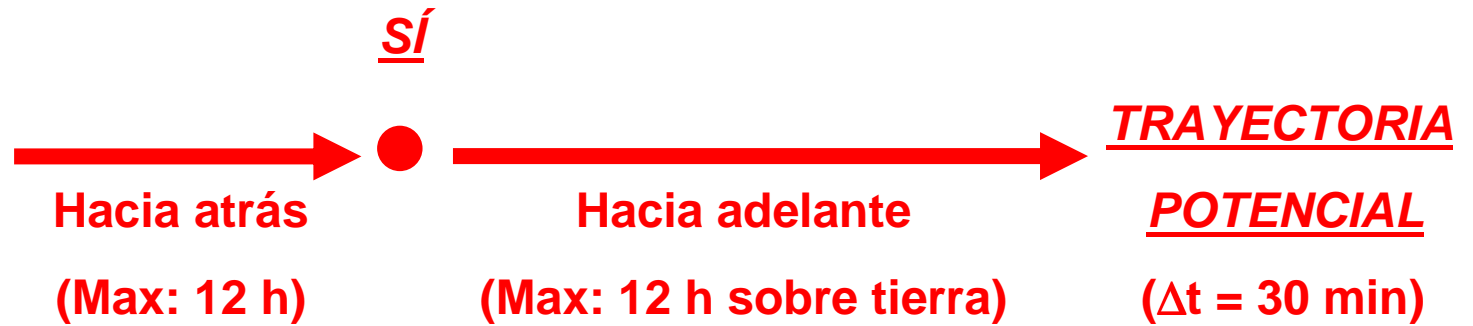
TERCER MÉTODO: Método dinámico-estadístico

- Adaptación del método pionero de **Kerry Emanuel** (MIT, USA)
- Generación de **miles de huracanes sintéticos** a bajo coste !!!
- Evaluación del riesgo con **gran robustez estadística** (p.e. **períodos de retorno** viento extremo)





MAR ABIERTO + MAX DE GENIX > 10 + VOR ABS > 10 unidades ???



$$\begin{cases} u_{track} = \alpha \underline{u}_{850} + (1 - \alpha) \underline{u}_{250} \\ v_{track} = \alpha \underline{v}_{850} + (1 - \alpha) \underline{v}_{250} \end{cases}$$

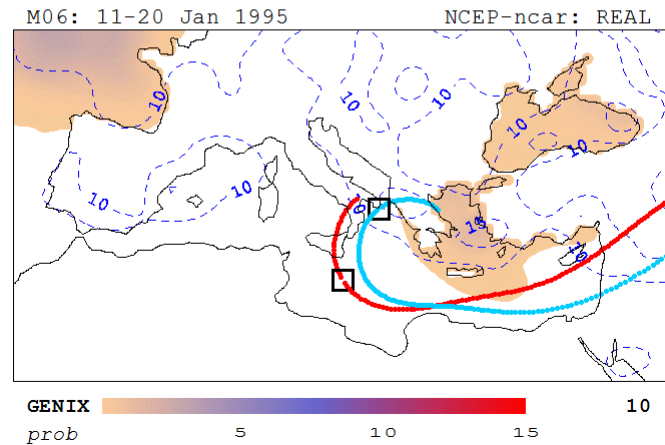
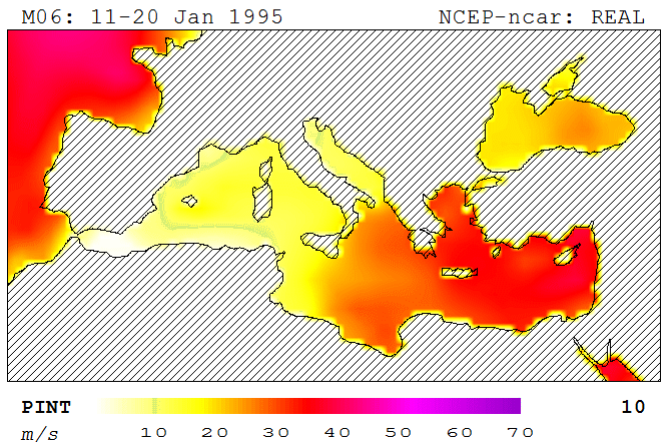
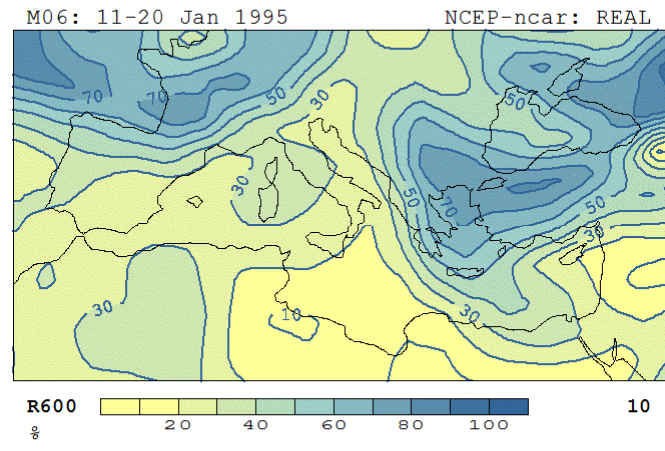
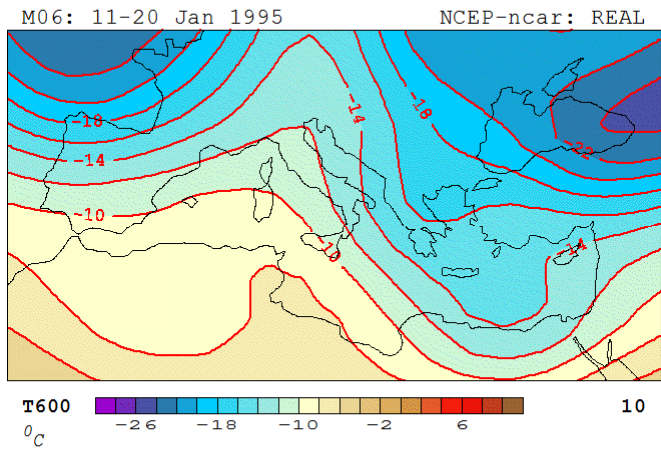
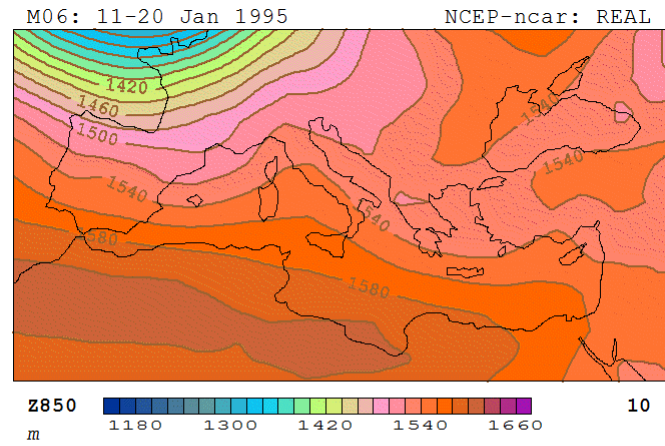
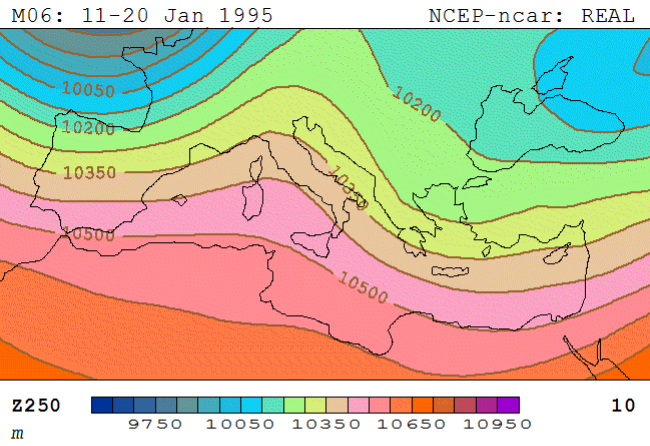
AVG_{time-space}

$\alpha = 0.8$

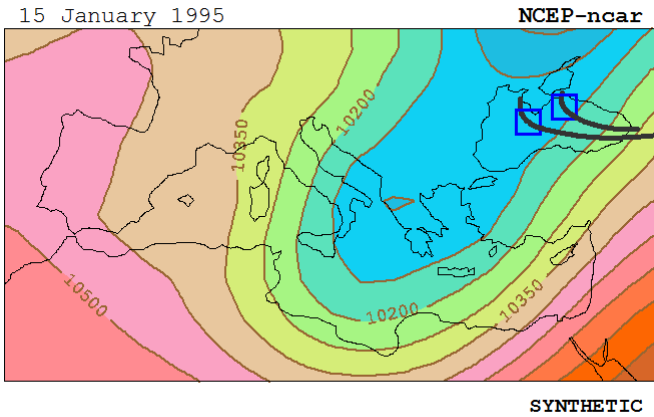
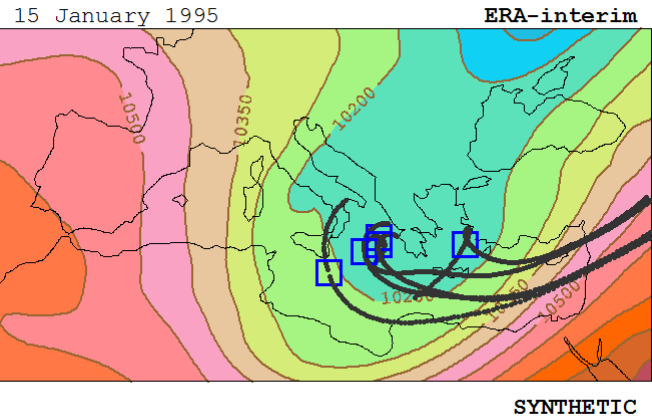
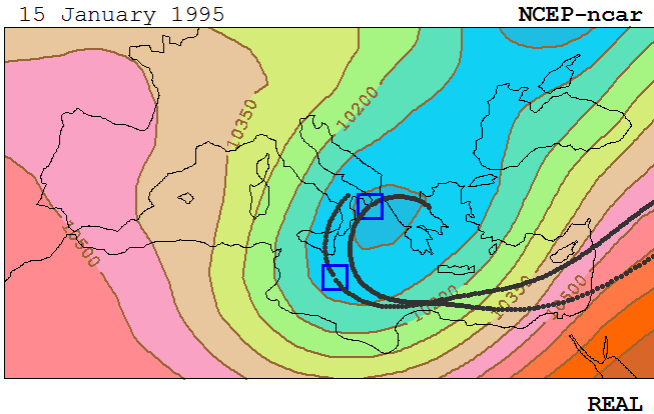
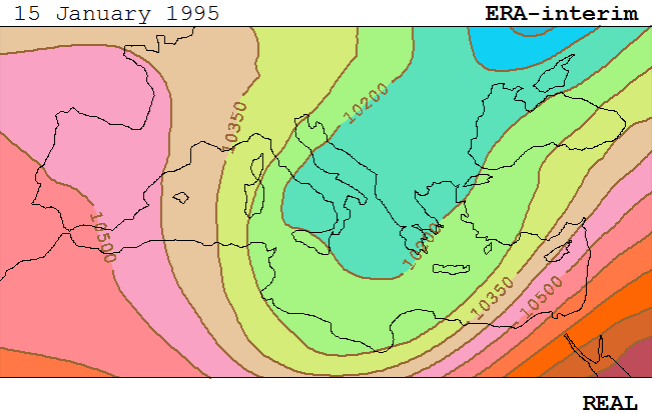
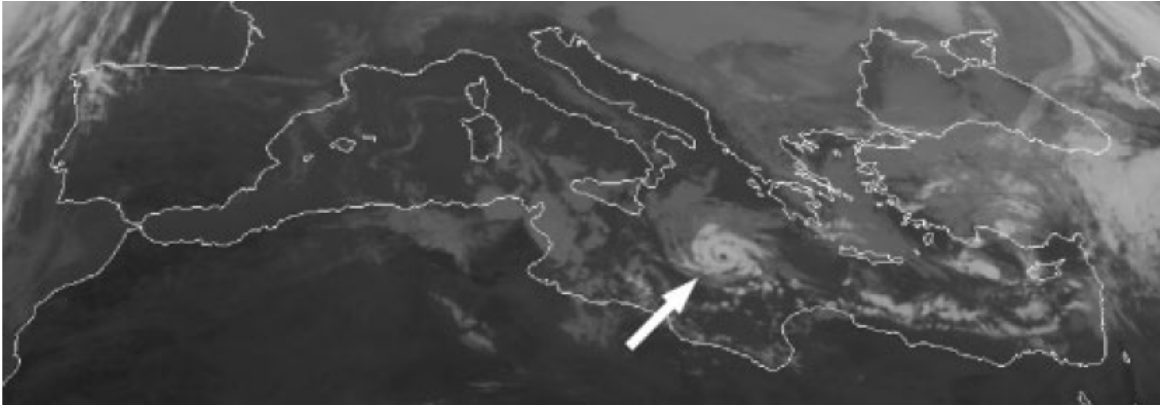
ILLUSTRATIVE EXAMPLE

“LYBIAN” MEDICANE
Central Mediterranean, 15-16 January 1995

TRACKING method



SYNTHETIC analogues



REANALYSES AND CMIP5 MODELS

REANALYSIS 1

ERA-interim

ECMWF
(Europe)

LON 0.75° x LAT 0.75°

REANALYSIS 2

NCEP-ncar

NOAA
(USA)

LON 2.5° x LAT 2.5°

**HISTORICAL
scenario**

1986-2005

<p><u>GCM-01</u> ACCESS1.0 CSIRO and BOM (Australia)</p> <p>LON 1.88° x LAT 1.25°</p>	<p><u>GCM-02</u> ACCESS1.3 CSIRO and BOM (Australia)</p> <p>LON 1.88° x LAT 1.25°</p>	<p><u>GCM-06</u> CanESM2 Cent. Clim. Mod. Anal. (Canada)</p> <p>LON 2.81° x LAT 2.79°</p>	<p><u>GCM-07</u> CCSM4 NCAR (USA)</p> <p>LON 1.25° x LAT 0.94°</p>	<p><u>GCM-11</u> CNRM-CM5 CNRM and CERFACS (France)</p> <p>LON 1.41° x LAT 1.40°</p>	<p><u>GCM-12</u> CSIRO-Mk3.6.0 QCCCE and CSIRO (Australia)</p> <p>LON 1.88° x LAT 1.86°</p>	
<p><u>GCM-03</u> BCC-CSM1.1 Beijing Climate Center (China)</p> <p>LON 2.81° x LAT 2.79°</p>	<p><u>GCM-04</u> BCC-CSM1.1(m) Beijing Climate Center (China)</p> <p>LON 1.13° x LAT 1.12°</p>	<p><u>GCM-08</u> CMCC-CESM Cent. EuroMed C.Clim. (Italy)</p> <p>LON 3.75° x LAT 3.71°</p>	<p><u>GCM-09</u> CMCC-CM Cent. EuroMed C.Clim. (Italy)</p> <p>LON 0.75° x LAT 0.75°</p>	<p><u>GCM-13</u> EC-EARTH EC-Earth Consortium (Europe)</p> <p>LON 1.13° x LAT 1.12°</p>	<p><u>GCM-14</u> FGOALS-g2 LASG-CESS (China)</p> <p>LON 2.81° x LAT 2.81°</p>	
<p><u>GCM-05</u> BNU-ESM Beijing Normal University (China)</p> <p>LON 2.81° x LAT 2.79°</p>	<p>HISTORICAL scenario</p> <p>1986-2005</p>		<p><u>GCM-10</u> CMCC-CMS Cent. EuroMed C.Clim. (Italy)</p> <p>LON 1.88° x LAT 1.86°</p>	<p>RCP85 scenario</p> <p>2081-2100</p>		
<p><u>GCM-15</u> GFDL-CM3 NOAA GFDL (USA)</p> <p>LON 2.50° x LAT 2.00°</p>	<p><u>GCM-16</u> GFDL-ESM2G NOAA GFDL (USA)</p> <p>LON 2.50° x LAT 2.00°</p>	<p><u>GCM-17</u> GFDL-ESM2M NOAA GFDL (USA)</p> <p>LON 2.50° x LAT 2.00°</p>	<p><u>GCM-21</u> IPSL-CM5A-MR IPSL (France)</p> <p>LON 2.50° x LAT 1.27°</p>	<p><u>GCM-22</u> IPSL-CM5B-LR IPSL (France)</p> <p>LON 3.75° x LAT 1.89°</p>	<p><u>GCM-26</u> MPI-ESM-LR Max Planck Int. Meteor. (Germany)</p> <p>LON 1.88° x LAT 1.86°</p>	
<p><u>GCM-27</u> MPI-ESM-MR Max Planck Int. Meteor. (Germany)</p> <p>LON 1.88° x LAT 1.86°</p>	<p><u>GCM-18</u> HadGEM2-CC Met Office Hadley Cent (UK)</p> <p>LON 1.88° x LAT 1.25°</p>	<p><u>GCM-19</u> INM-CM4 Rus. Inst. Num. Math. (Russia)</p> <p>LON 2.00° x LAT 1.50°</p>	<p><u>GCM-23</u> MIROC5 U.Tok-NIES-JAMSTEC (Japan)</p> <p>LON 1.41° x LAT 1.40°</p>	<p><u>GCM-24</u> MIROC-ESM U.Tok-NIES-JAMSTEC (Japan)</p> <p>LON 2.81° x LAT 2.79°</p>	<p><u>GCM-28</u> MRI-CGCM3 Meteor. Res. Inst. (Japan)</p> <p>LON 1.13° x LAT 1.12°</p>	
<p><u>GCM-29</u> MRI-ESM1 Meteor. Res. Inst. (Japan)</p> <p>LON 1.13° x LAT 1.12°</p>	<p><u>GCM-20</u> IPSL-CM5A-LR IPSL (France)</p> <p>LON 3.75° x LAT 1.89°</p>	<p><u>GCM-25</u> MIROC-ESM-CHEM U.Tok-NIES-JAMSTEC (Japan)</p> <p>LON 2.81° x LAT 2.79°</p>	<p><u>GCM-30</u> NorESM1-M Nor. Clim. Cent. (Norway)</p> <p>LON 2.50° x LAT 1.90°</p>			

RESULTS

REANALYSIS 1

ERA-interim

20349 tracks
7918 survivors

200 storms/century

REANALYSIS 2

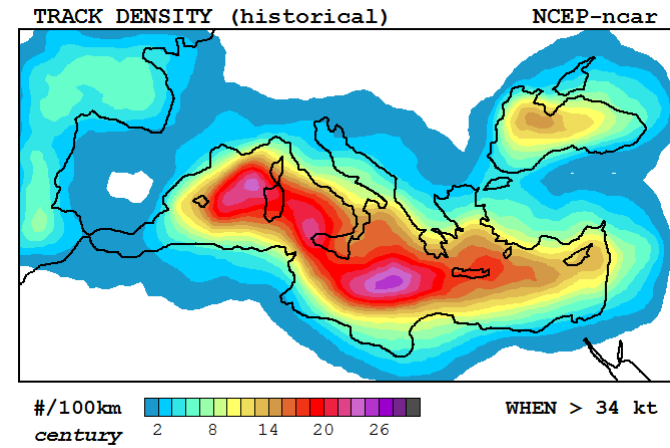
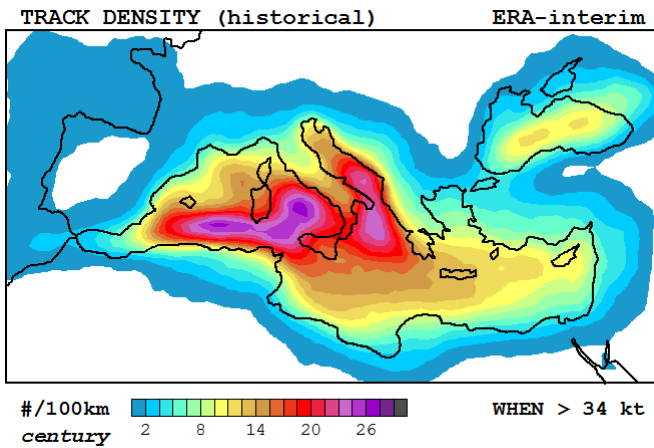
NCEP-ncar

20276 tracks
6379 survivors

200 storms/century

**HISTORICAL
scenario**

**200 storms
(per century)**



<p><u>GCM-01</u> ACCESS1.0 20325 tracks 7188 survivors</p> <p>200 storms/century</p>	<p><u>GCM-02</u> ACCESS1.3 20086 tracks 7281 survivors</p> <p>200 storms/century</p>	<p><u>GCM-06</u> CanESM2 20097 tracks 5268 survivors</p> <p>200 storms/century</p>	<p><u>GCM-07</u> CCSM4 20405 tracks 7012 survivors</p> <p>200 storms/century</p>	<p><u>GCM-11</u> CNRM-CM5 20329 tracks 6535 survivors</p> <p>200 storms/century</p>	<p><u>GCM-12</u> CSIRO-Mk3.6.0 20048 tracks 6034 survivors</p> <p>200 storms/century</p>
<p><u>GCM-03</u> BCC-CSM1.1 20083 tracks 3045 survivors</p> <p>200 storms/century</p>	<p><u>GCM-04</u> BCC-CSM1.1(m) 20142 tracks 5167 survivors</p> <p>200 storms/century</p>	<p><u>GCM-08</u> CMCC-CESM 20106 tracks 4733 survivors</p> <p>200 storms/century</p>	<p><u>GCM-09</u> CMCC-CM 20085 tracks 6368 survivors</p> <p>200 storms/century</p>	<p><u>GCM-13</u> EC-EARTH 20180 tracks 7793 survivors</p> <p>200 storms/century</p>	<p><u>GCM-14</u> FGOALS-g2 20481 tracks 1925 survivors</p> <p>200 storms/century</p>
<p><u>GCM-05</u> BNU-ESM 20071 tracks 2946 survivors</p> <p>200 storms/century</p>	<p>HISTORICAL scenario</p> <p>200 storms (per century)</p>	<p><u>GCM-10</u> CMCC-CMS 20119 tracks 5738 survivors</p> <p>200 storms/century</p>	<p>ALL</p>	<p><u>GCM-15</u> GFDL-CM3 20475 tracks 5307 survivors</p> <p>200 storms/century</p>	
<p><u>GCM-16</u> GFDL-ESM2G 20444 tracks 5309 survivors</p> <p>200 storms/century</p>	<p><u>GCM-17</u> GFDL-ESM2M 20374 tracks 5596 survivors</p> <p>200 storms/century</p>	<p><u>GCM-21</u> IPSL-CM5A-MR 20178 tracks 4919 survivors</p> <p>200 storms/century</p>	<p><u>GCM-22</u> IPSL-CM5B-LR 20592 tracks 5681 survivors</p> <p>200 storms/century</p>	<p><u>GCM-26</u> MPI-ESM-LR 20082 tracks 6015 survivors</p> <p>200 storms/century</p>	<p><u>GCM-27</u> MPI-ESM-MR 20745 tracks 5678 survivors</p> <p>200 storms/century</p>
<p><u>GCM-18</u> HadGEM2-CC 20392 tracks 7860 survivors</p> <p>200 storms/century</p>	<p><u>GCM-19</u> INM-CM4 20018 tracks 5047 survivors</p> <p>200 storms/century</p>	<p><u>GCM-23</u> MIROC5 20651 tracks 6651 survivors</p> <p>200 storms/century</p>	<p><u>GCM-24</u> MIROC-ESM 20268 tracks 5709 survivors</p> <p>200 storms/century</p>	<p><u>GCM-28</u> MRI-CGCM3 20541 tracks 5647 survivors</p> <p>200 storms/century</p>	<p><u>GCM-29</u> MRI-ESM1 21203 tracks 5898 survivors</p> <p>200 storms/century</p>
<p><u>GCM-20</u> IPSL-CM5A-LR 20176 tracks 5064 survivors</p> <p>200 storms/century</p>		<p><u>GCM-25</u> MIROC-ESM-CHEM 20026 tracks 5517 survivors</p> <p>200 storms/century</p>		<p><u>GCM-30</u> NorESM1-M 20022 tracks 6558 survivors</p> <p>200 storms/century</p>	

<p><u>GCM-01</u> ACCESS1.0 22539 tracks 7521 survivors</p> <p>209.27 storms/century</p>	<p><u>GCM-02</u> ACCESS1.3 28304 tracks 8335 survivors</p> <p>228.95 storms/century</p>	<p><u>GCM-06</u> CanESM2 14750 tracks 3843 survivors</p> <p>145.90 storms/century</p>	<p><u>GCM-07</u> CCSM4 20560 tracks 6236 survivors</p> <p>177.87 storms/century</p>	<p><u>GCM-11</u> CNRM-CM5 30505 tracks 8689 survivors</p> <p>265.92 storms/century</p>	<p><u>GCM-12</u> CSIRO-Mk3.6.0 12085 tracks 2382 survivors</p> <p>78.95 storms/century</p>
<p><u>GCM-03</u> BCC-CSM1.1 20439 tracks 2932 survivors</p> <p>192.58 storms/century</p>	<p><u>GCM-04</u> BCC-CSM1.1(m) 13761 tracks 3523 survivors</p> <p>136.37 storms/century</p>	<p><u>GCM-08</u> CMCC-CESM 17277 tracks 3772 survivors</p> <p>159.39 storms/century</p>	<p><u>GCM-09</u> CMCC-CM 22778 tracks 7300 survivors</p> <p>229.27 storms/century</p>	<p><u>GCM-13</u> EC-EARTH 32781 tracks 12359 survivors</p> <p>317.18 storms/century</p>	<p><u>GCM-14</u> FGOALS-g2 29286 tracks 2730 survivors</p> <p>283.64 storms/century</p>

GCM-05
BNU-ESM
27750 tracks
3820 survivors

259.34 storms/century

**RCP85
scenario**

198.52 storms
(per century)

GCM-10
CMCC-CMS
20675 tracks
6194 survivors

215.89 storms/century

ALL

GCM-15
GFDL-CM3
17779 tracks
4171 survivors

157.19 storms/century

<p><u>GCM-16</u> GFDL-ESM2G 20348 tracks 4686 survivors</p> <p>176.53 storms/century</p>	<p><u>GCM-17</u> GFDL-ESM2M 16884 tracks 3996 survivors</p> <p>142.82 storms/century</p>	<p><u>GCM-21</u> IPSL-CM5A-MR 14172 tracks 2382 survivors</p> <p>96.85 storms/century</p>	<p><u>GCM-22</u> IPSL-CM5B-LR 23922 tracks 6328 survivors</p> <p>222.78 storms/century</p>	<p><u>GCM-26</u> MPI-ESM-LR 19684 tracks 6708 survivors</p> <p>223.04 storms/century</p>	<p><u>GCM-27</u> MPI-ESM-MR 21590 tracks 6969 survivors</p> <p>245.47 storms/century</p>
<p><u>GCM-18</u> HadGEM2-CC 24510 tracks 7503 survivors</p> <p>190.92 storms/century</p>	<p><u>GCM-19</u> INM-CM4 12250 tracks 2844 survivors</p> <p>112.70 storms/century</p>	<p><u>GCM-23</u> MIROC5 29654 tracks 9216 survivors</p> <p>277.13 storms/century</p>	<p><u>GCM-24</u> MIROC-ESM 27239 tracks 5499 survivors</p> <p>192.64 storms/century</p>	<p><u>GCM-28</u> MRI-CGCM3 22758 tracks 5993 survivors</p> <p>212.25 storms/century</p>	<p><u>GCM-29</u> MRI-ESM1 23950 tracks 6432 survivors</p> <p>218.11 storms/century</p>

GCM-20
IPSL-CM5A-LR
23722 tracks
5438 survivors

214.77 storms/century

15 models
▼▼▼

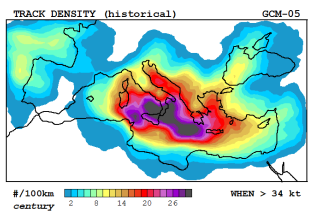
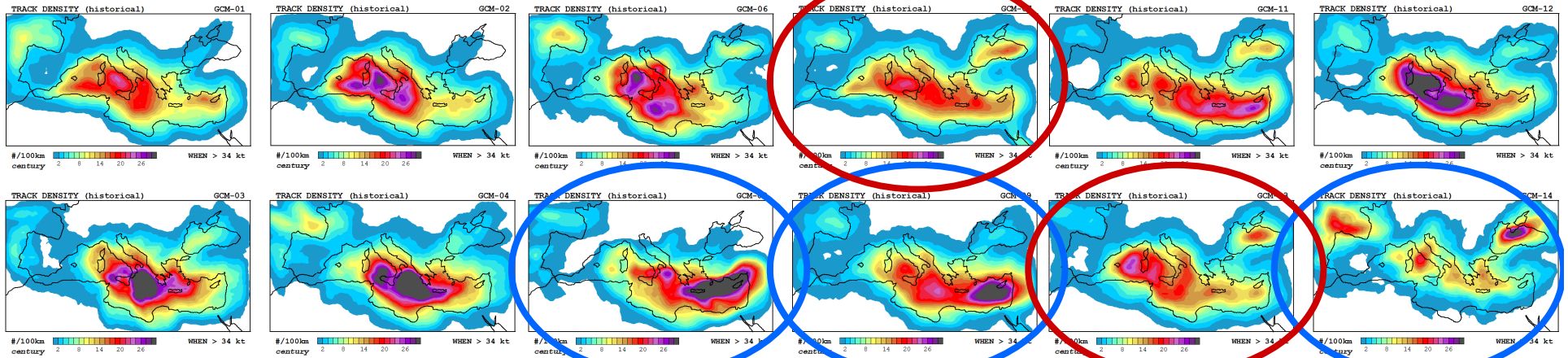
GCM-25
MIROC-ESM-CHEM
26010 tracks
5283 survivors

191.52 storms/century

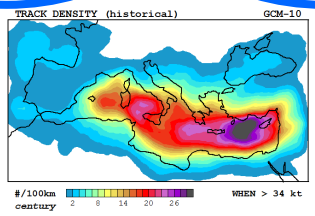
15 models
▲▲▲

GCM-30
NorESM1-M
22427 tracks
5914 survivors

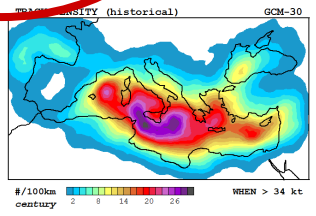
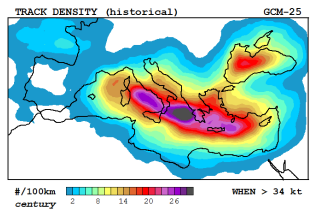
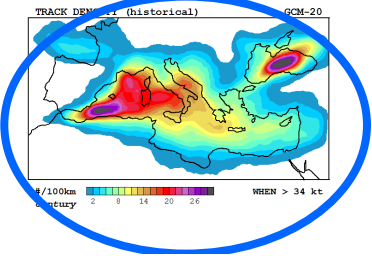
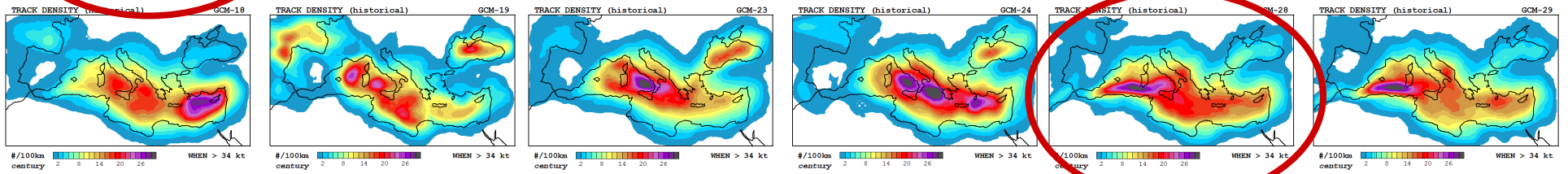
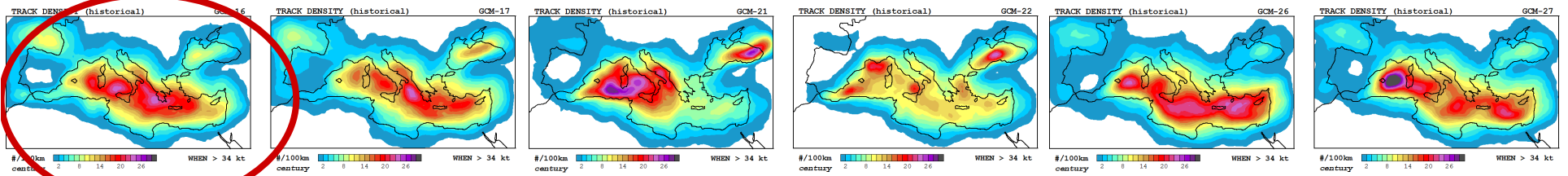
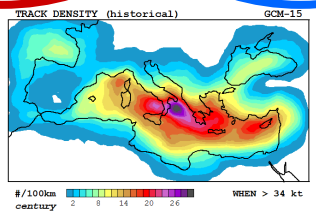
180.36 storms/century

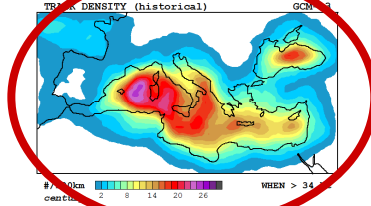
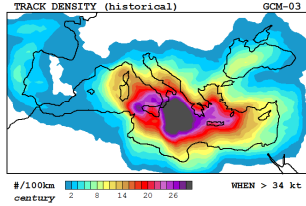
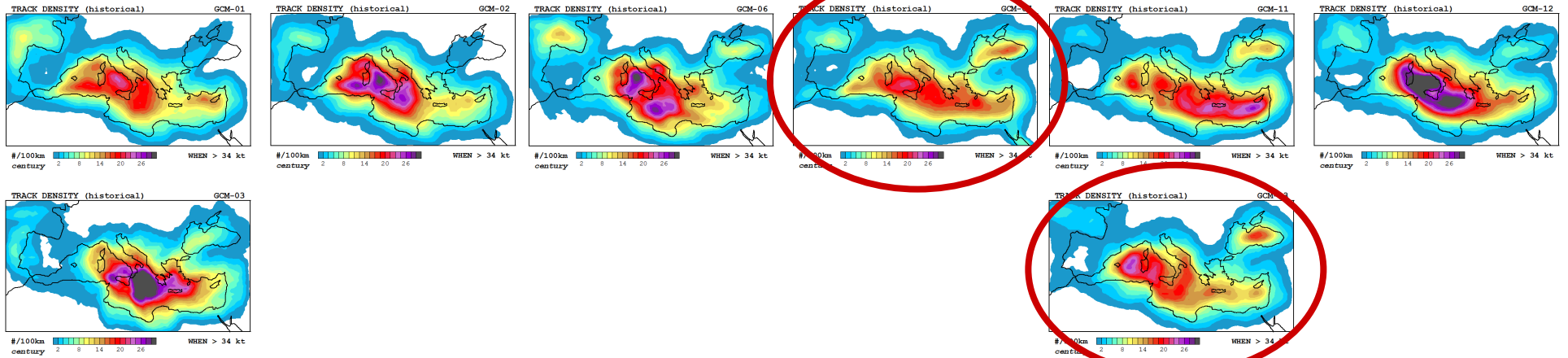


Track
Density
Historical



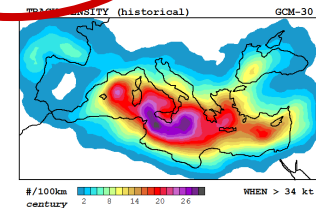
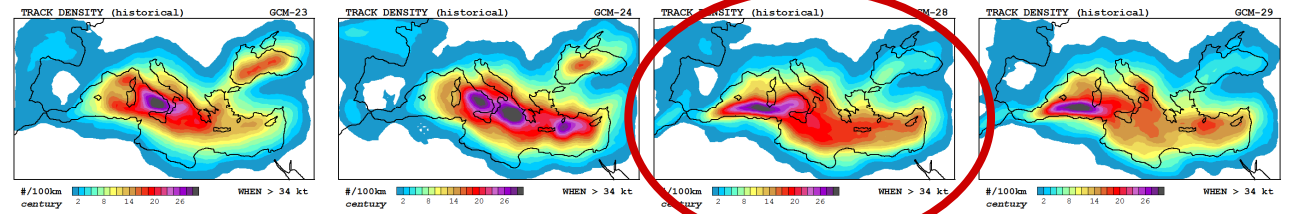
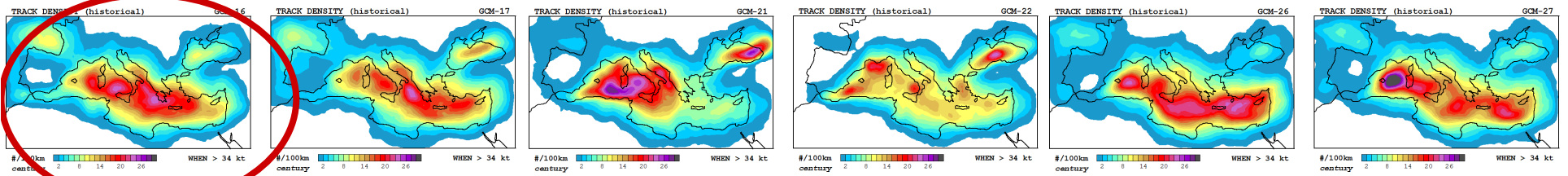
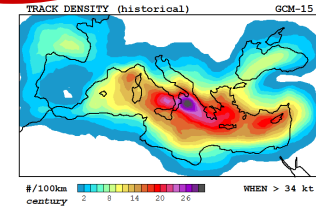
ALL





Track
Density
Historical

Best



<p><u>GCM-01</u> ACCESS1.0 22539 tracks 7521 survivors</p> <p>209.27 storms/century</p>	<p><u>GCM-02</u> ACCESS1.3 28304 tracks 8335 survivors</p> <p>228.95 storms/century</p>	<p><u>GCM-06</u> CanESM2 14750 tracks 3843 survivors</p> <p>145.90 storms/century</p>	<p><u>GCM-07</u> CCSM4 20560 tracks 6236 survivors</p> <p>177.87 storms/century</p>	<p><u>GCM-11</u> CNRM-CM5 30505 tracks 8689 survivors</p> <p>265.92 storms/century</p>	<p><u>GCM-12</u> CSIRO-Mk3.6.0 12085 tracks 2382 survivors</p> <p>78.95 storms/century</p>
<p><u>GCM-03</u> BCC-CSM1.1 20439 tracks 2932 survivors</p> <p>192.58 storms/century</p>				<p><u>GCM-13</u> EC-EARTH 32781 tracks 12359 survivors</p> <p>317.18 storms/century</p>	

**RCP85
scenario**

198.09 storms
(per century)

BEST

<p><u>GCM-15</u> GFDL-CM3 17779 tracks 4171 survivors</p> <p>157.19 storms/century</p>
--

<p><u>GCM-16</u> GFDL-ESM2G 20348 tracks 4686 survivors</p> <p>176.53 storms/century</p>	<p><u>GCM-17</u> GFDL-ESM2M 16884 tracks 3996 survivors</p> <p>142.82 storms/century</p>	<p><u>GCM-21</u> IPSL-CM5A-MR 14172 tracks 2382 survivors</p> <p>96.85 storms/century</p>	<p><u>GCM-22</u> IPSL-CM5B-LR 23922 tracks 6328 survivors</p> <p>222.78 storms/century</p>	<p><u>GCM-26</u> MPI-ESM-LR 19684 tracks 6708 survivors</p> <p>223.04 storms/century</p>	<p><u>GCM-27</u> MPI-ESM-MR 21590 tracks 6969 survivors</p> <p>245.47 storms/century</p>
		<p><u>GCM-23</u> MIROC5 29654 tracks 9216 survivors</p> <p>277.13 storms/century</p>	<p><u>GCM-24</u> MIROC-ESM 27239 tracks 5499 survivors</p> <p>192.64 storms/century</p>	<p><u>GCM-28</u> MRI-CGCM3 22758 tracks 5993 survivors</p> <p>212.25 storms/century</p>	<p><u>GCM-29</u> MRI-ESM1 23950 tracks 6432 survivors</p> <p>218.11 storms/century</p>

10 models

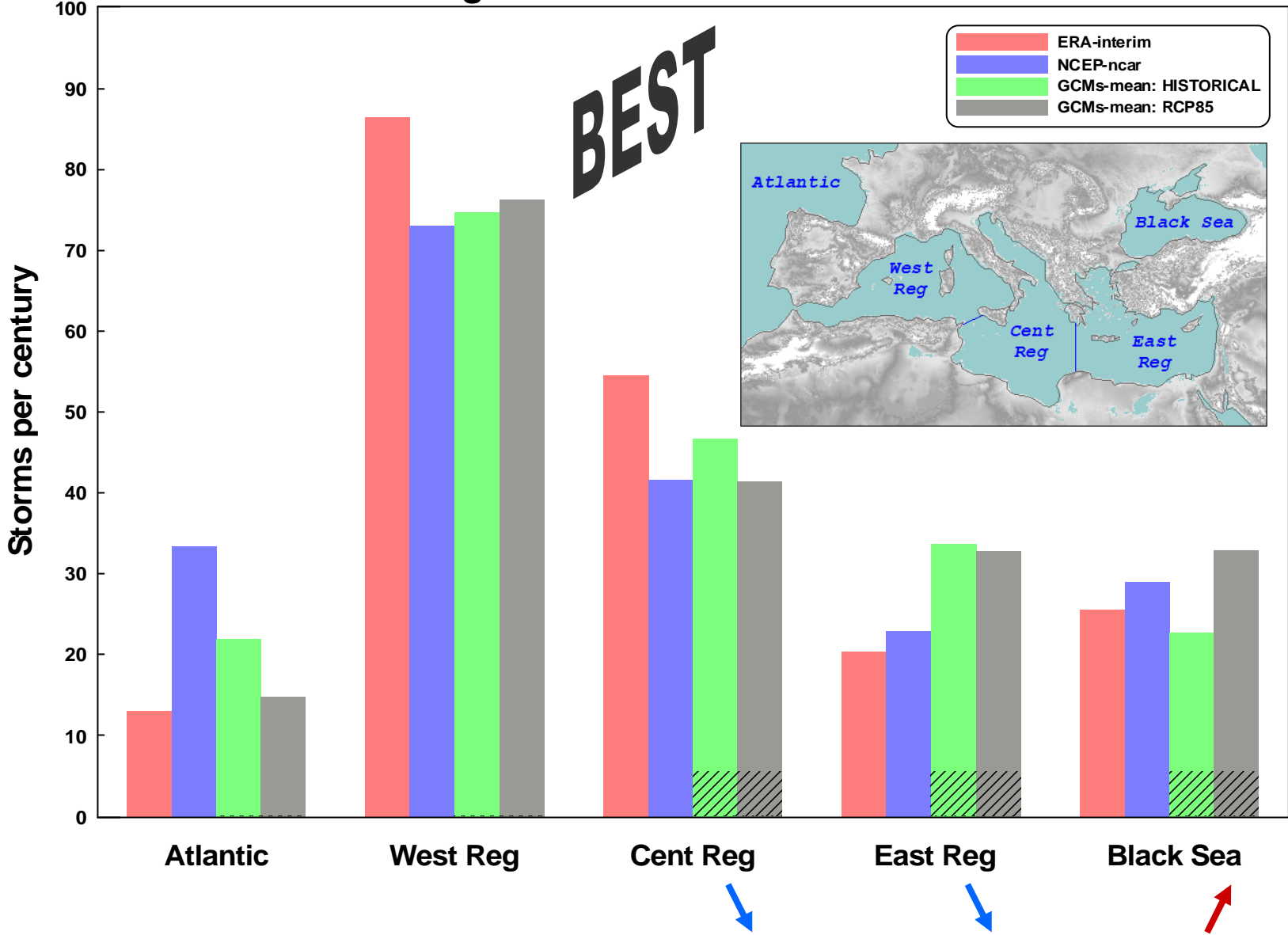


10 models

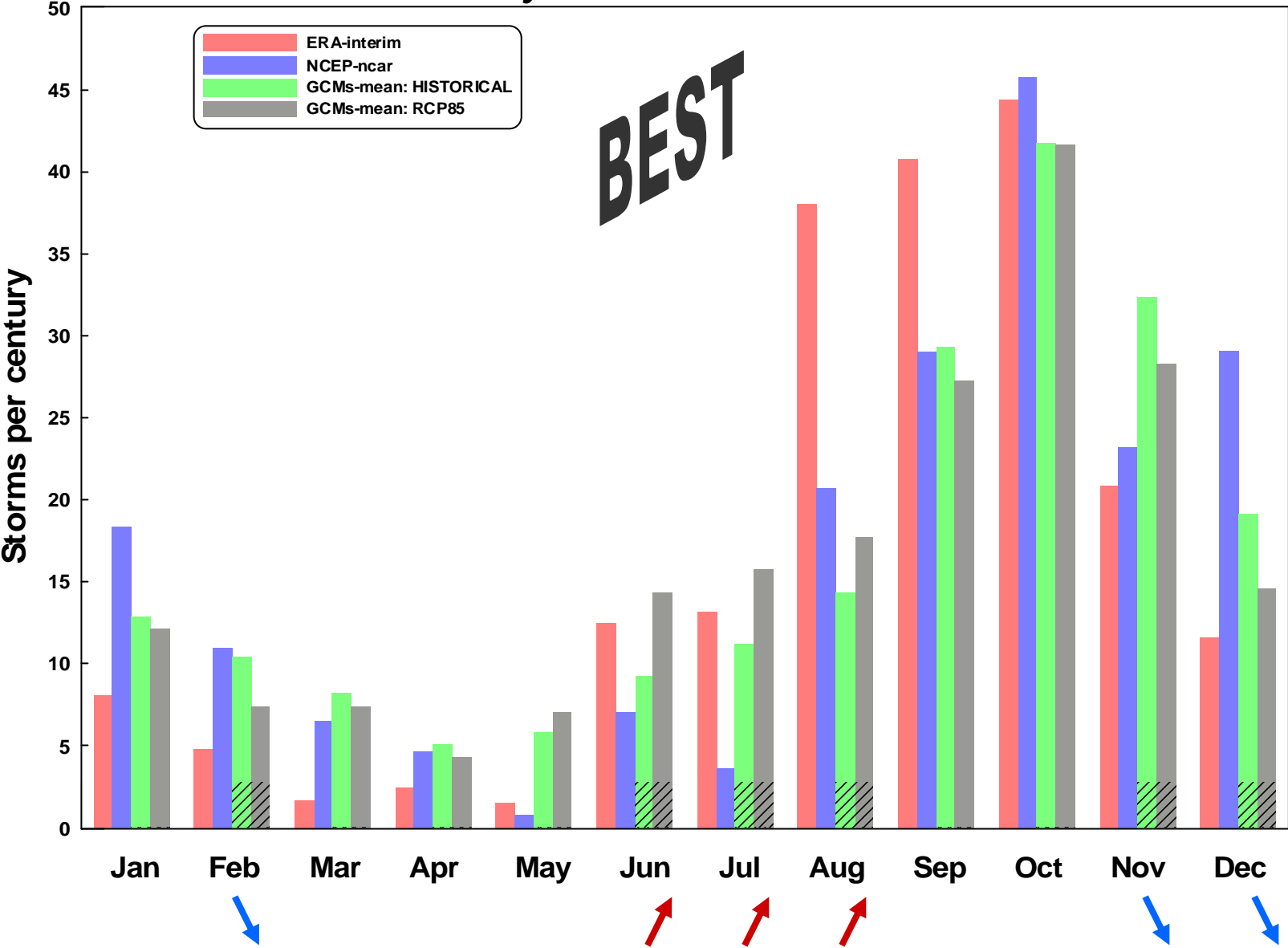


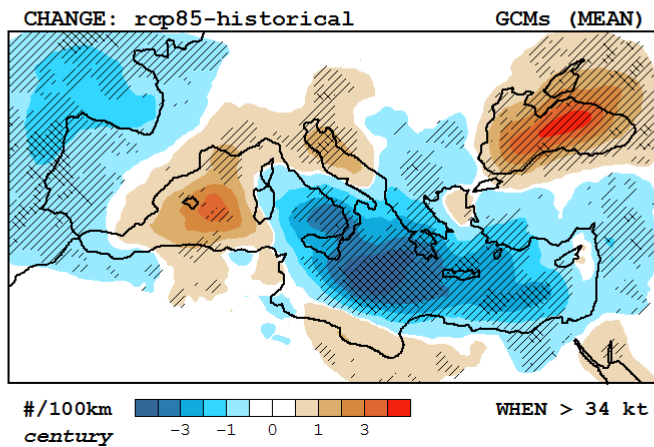
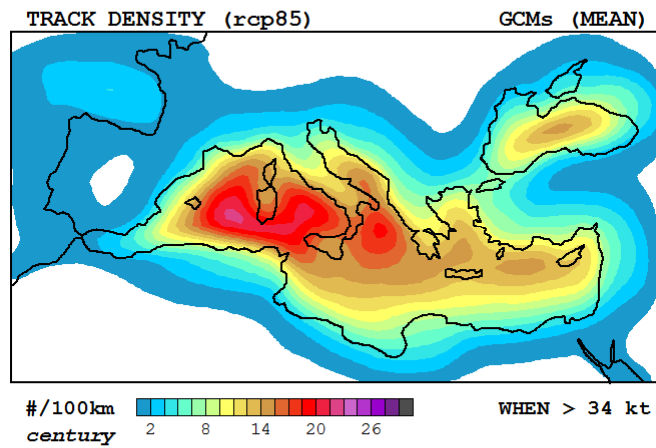
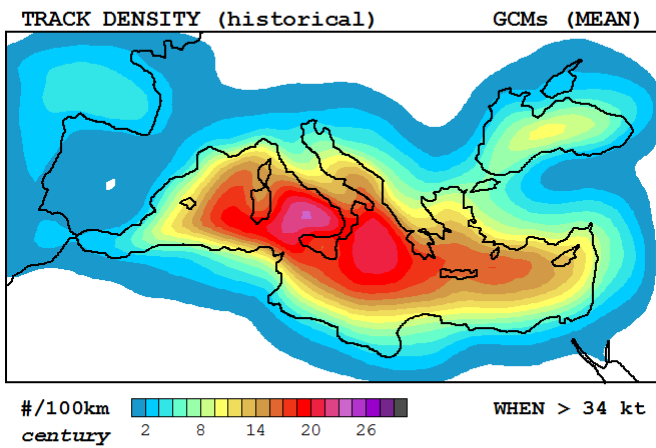
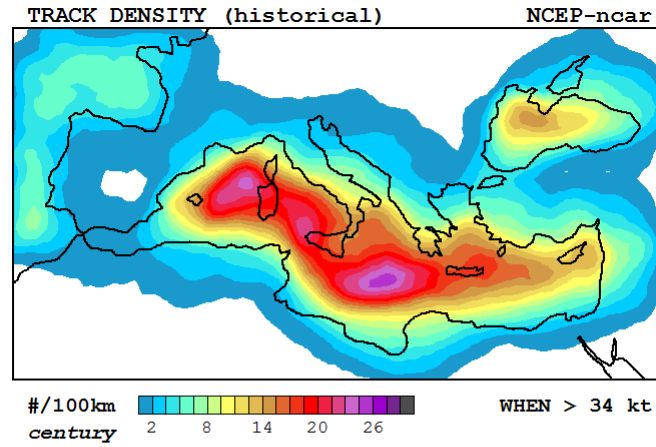
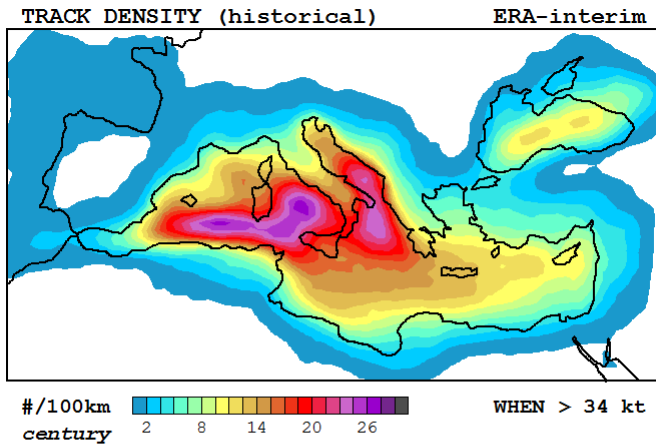
<p><u>GCM-30</u> NorESM1-M 22427 tracks 5914 survivors</p> <p>180.36 storms/century</p>

Regional Distribution - **SUMMARY**



Monthly Distribution - SUMMARY





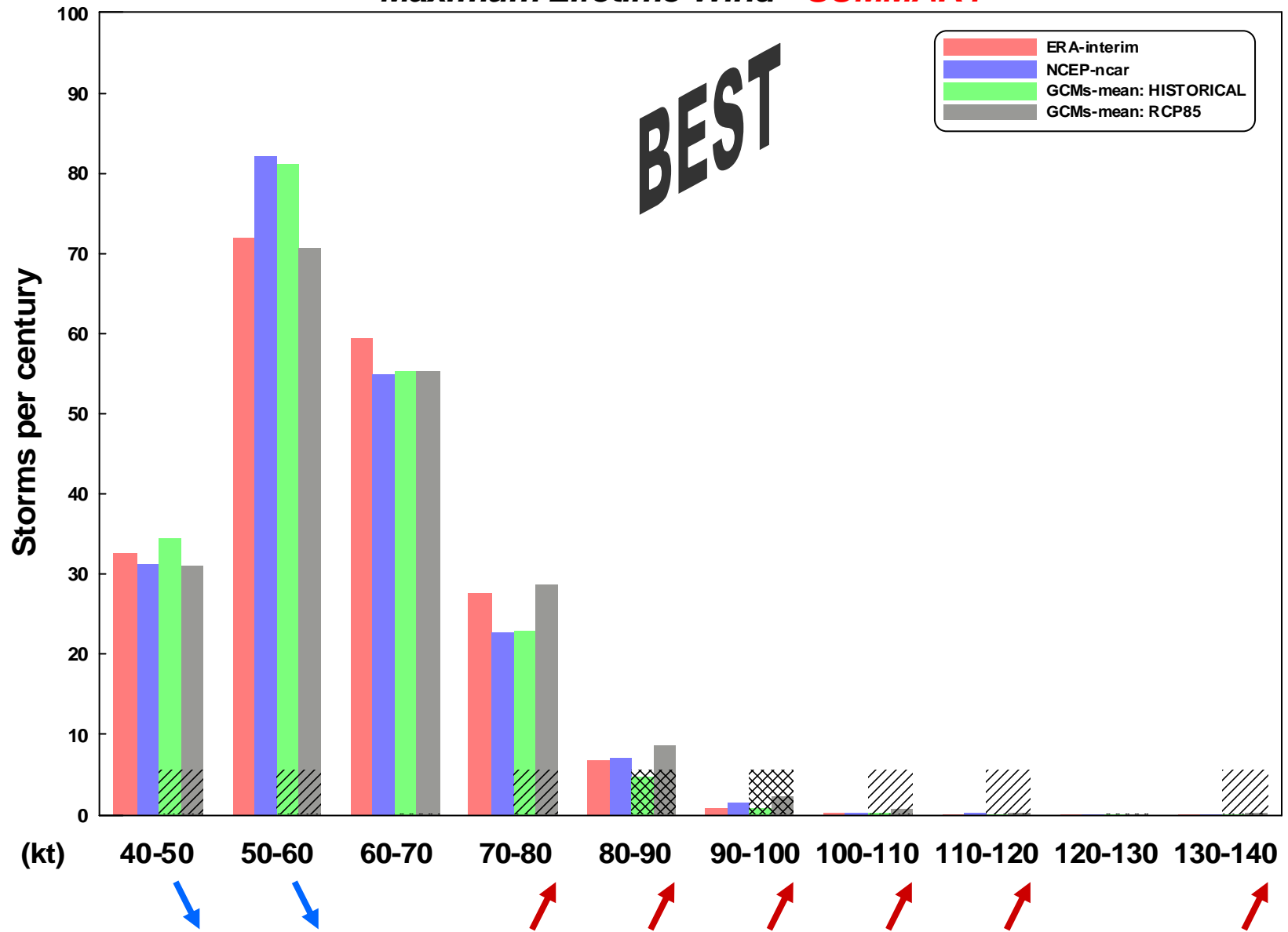
CORR
 REAn01 = 0.948
 REAn02 = 0.942
 MEAN = **0.945**

RMSE
 REAn01 = 1.907
 REAn02 = 1.930
 MEAN = **1.918**

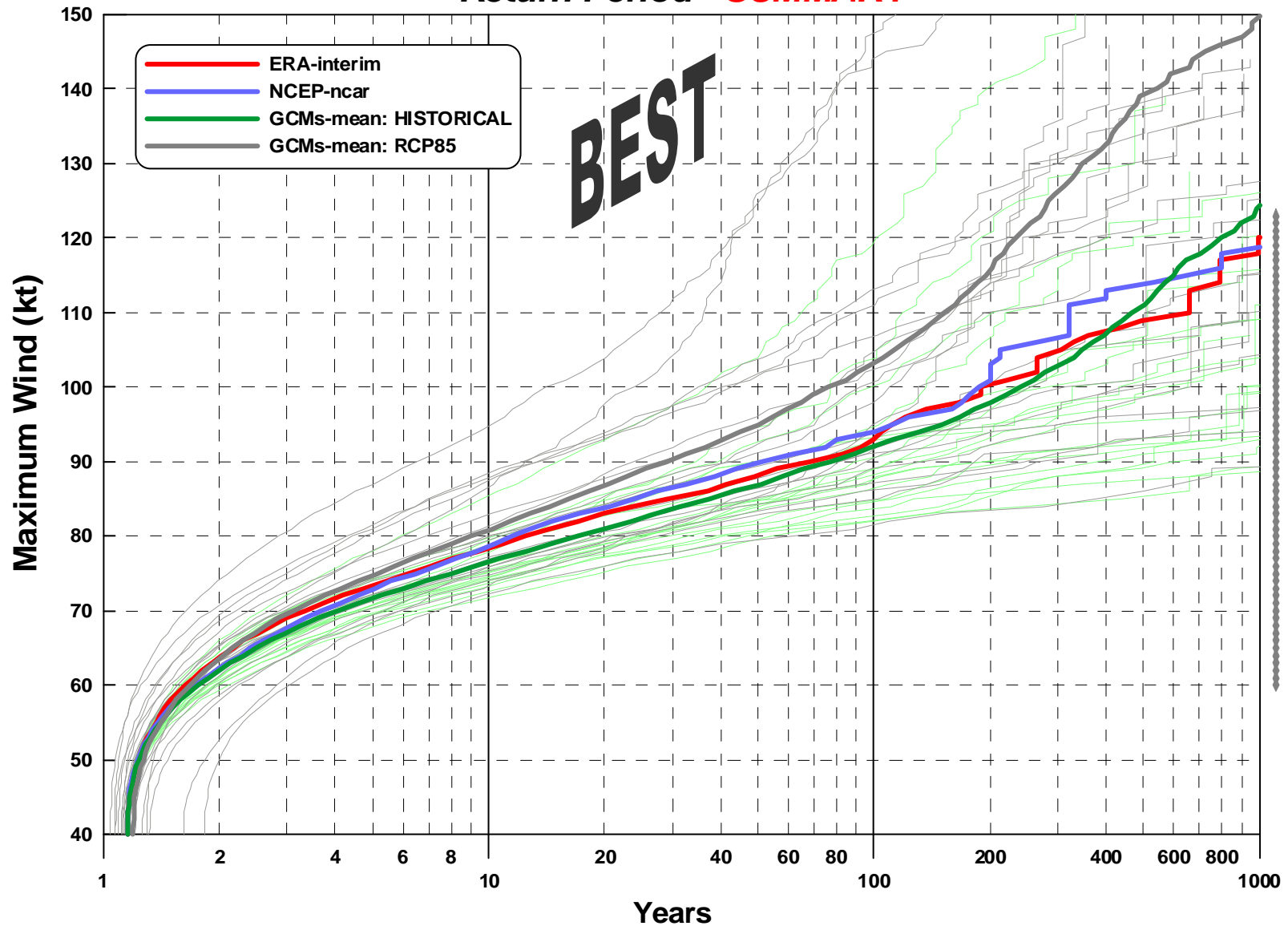
Track
 Density
 Summary

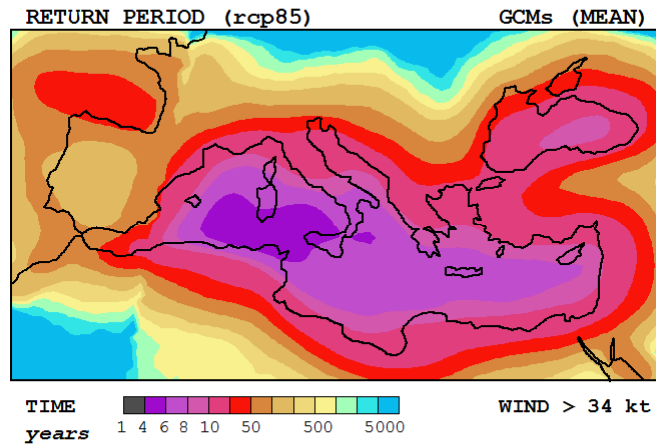
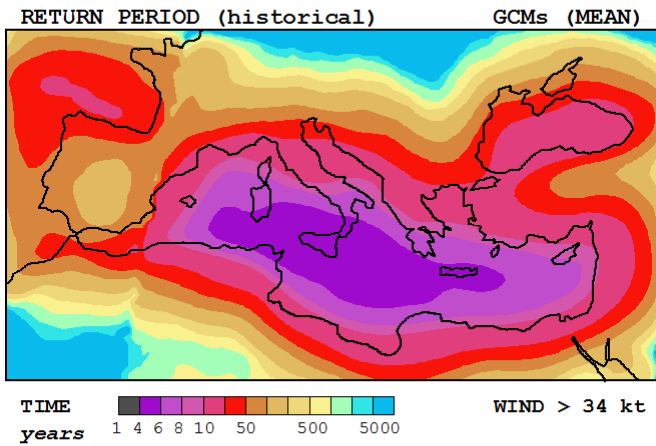
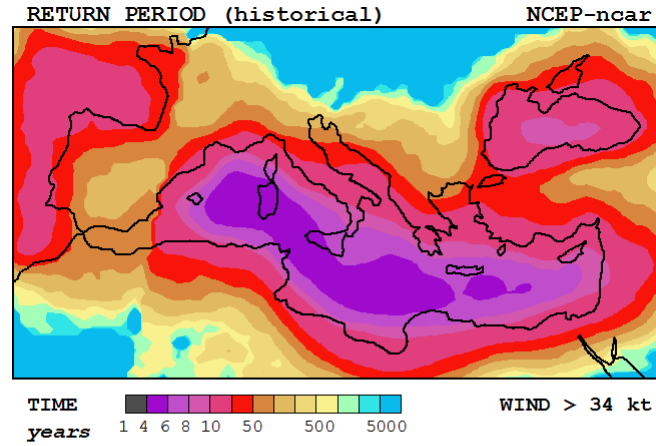
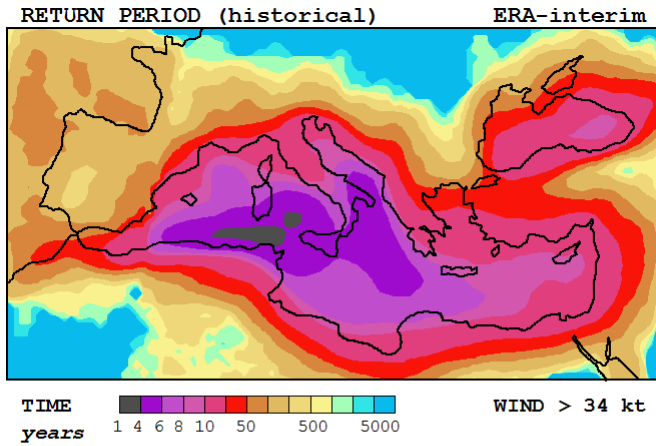
BEST

Maximum Lifetime Wind - **SUMMARY**



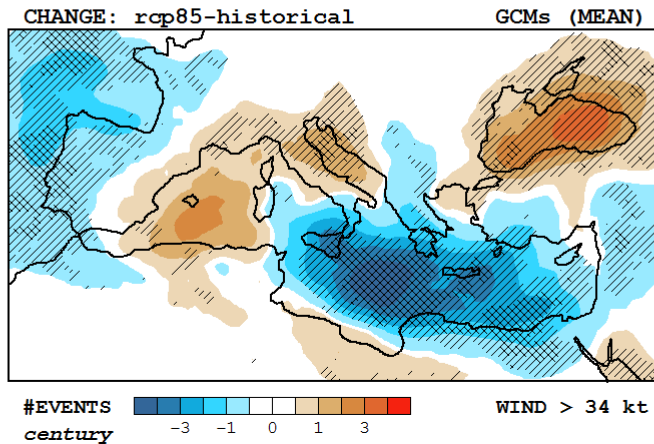
Return Period - **SUMMARY**





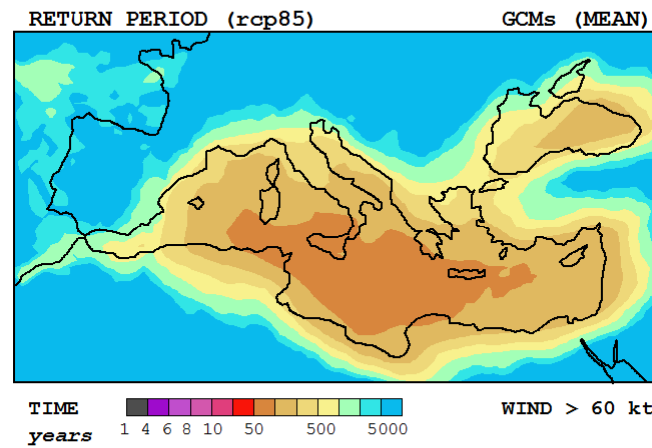
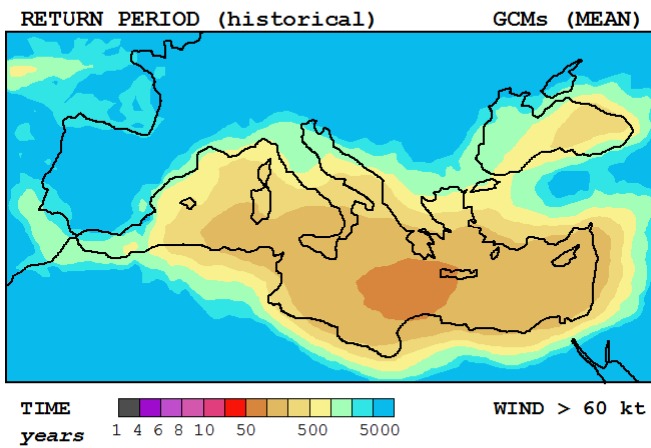
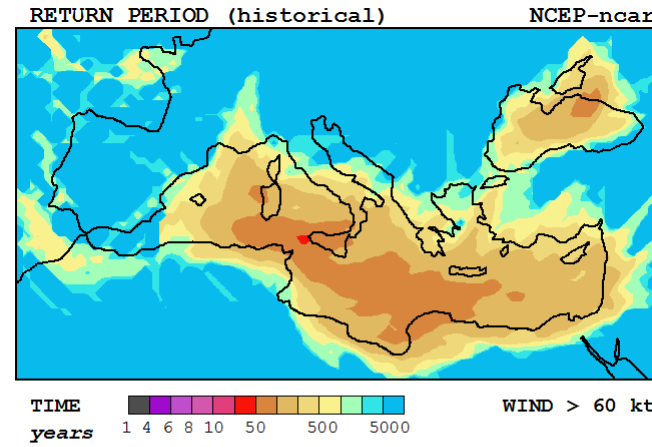
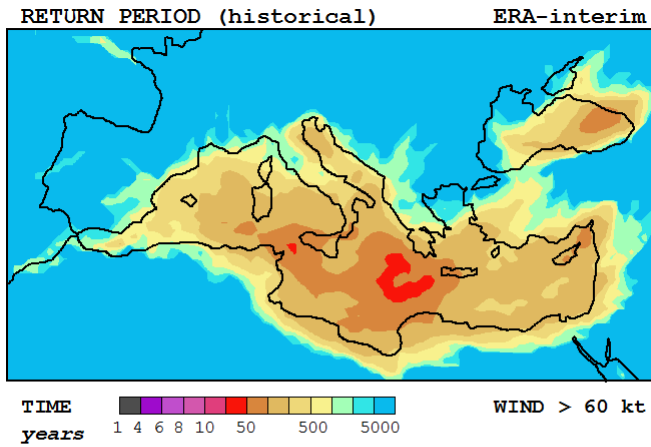
CORR
 REAn01 = 0.768
 REAn02 = 0.742
 MEAN = 0.755

RMSE
 REAn01 = 2.157
 REAn02 = 4.131
 MEAN = 3.144



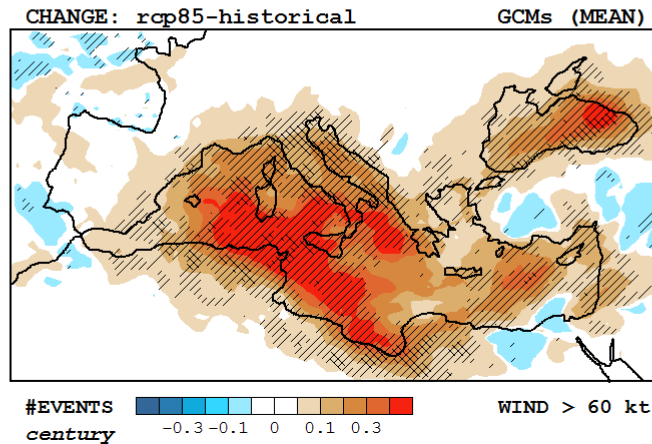
Return
 Period 34 kt
 Summary

BEST



CORR
 REAn01 = 0.604
 REAn02 = 0.649
 MEAN = **0.626**

RMSE
 REAn01 = 4.972
 REAn02 = 8.418
 MEAN = **6.695**



Return
 Period 60 kt
 Summary

BEST

A satellite image of a hurricane over the Atlantic Ocean. The hurricane is a large, swirling cloud system with a distinct eye. A yellow outline of the continent of South America is overlaid on the image, showing the continent's position relative to the hurricane. The text "GRÀCIES PER LA VOSTRA ATENCIÓ !!!" is written in yellow, bold, serif font across the center of the image.

**GRÀCIES PER
LA VOSTRA ATENCIÓ !!!**

POSSIBLES TREBALLS PRÀCTICS

- 1.** El centre de predicció i seguiment de **ciclons tropicals** de major prestigi al món és el **National Hurricane Center** de la NOAA (<http://www.nhc.noaa.gov/>). **Investigar** a partir d'aquesta pàgina web la **mecànica de funcionament del NHC i els diferents productes meteorològics específics que elabora per a la conca de l'Atlàntic i del Pacífic nordoriental**. Al no haver començat encara l'època d'huracans en l'hemisferi nord, es recomana il·lustrar l'informe utilitzant casos d'estudi de l'arxiu.
- 2.** No existeix de moment una base de dades exhaustiva de **medicanes** amb una descripció detallada de la seva **formació i evolució** i molt menys dels **seus efectes** (pluges o vents registrats, danys sobre la població o les infraestructures, etc...). No obstant això, es poden trobar alguns casos ben documentats dispersos en diferents fòrums de la web. **Es demana elaborar un informe el més complet possible que reculli alguns casos notables -i probablement recents- de medicane.**